

รายงานการวิจัยฉบับสมบูรณ์

โครงการวิจัย โฟโตโวลตาอิกดีซีนาโกริด

ผู้วิจัย

อาจารย์สรรรพล คุ่มทรัพย์

อาจารย์ชาญฤทธิ์ ธาราสันติสุข

อาจารย์บุญช่วย เจริญผล

คณะวิศวกรรมศาสตร์ มหาวิทยาลัยเทคโนโลยีราชมงคลกรุงเทพ

สนับสนุนโดย สำนักบริหารโครงการวิจัยในอุดมศึกษา

และพัฒนาวิทยาลัยแห่งชาติ

สำนักงานคณะกรรมการอุดมศึกษา

กิตติกรรมประกาศ

โครงการวิจัยนี้ได้รับทุนสนับสนุนการวิจัยจาก สำนักบริหารโครงการวิจัยในอุดมศึกษา
และพัฒนามหาวิทยาลัยแห่งชาติ สำนักงานคณะกรรมการการอุดมศึกษา

อาจารย์สราวุธ พุ่มกัจจโย



หัวข้อวิจัย : โฟโตโวลตาอิกดีซีเอ็นเออินทรีย์
ผู้วิจัย : อาจารย์สรวรรพผล ชุ่มทรัพย์
ผู้วิจัย : ศาสตราจารย์ชาญฤทธิ์ ภาคารสันติสุข และอาจารย์บุญช่วย เจริญผล
สาขาวิชา : คณะวิศวกรรมศาสตร์ มหาวิทยาลัยเทคโนโลยีราชมงคลกรุงเทพ
ปีงบประมาณ : 2555

บทคัดย่อ

งานวิจัยนี้นำเสนอระบบคอนเวอร์เตอร์สำหรับดีซีเอ็นเออินทรีย์ที่อาศัยการควบคุมแบบดูรูป (Droop) โดยให้กินพลังงานแหล่งจ่ายไฟฟ้ากระแสตรงแบบโปรแกรมนัดที่ให้มีข้อมูลทางไฟฟ้าของแหล่งพลังงานที่ติดตั้งจริง ป้อนให้กับวงจรบุสต์คอนเวอร์เตอร์ที่ใช้การแบ่งกระแสด้วยเทคนิคอินเตอร์ลีฟ (interleaved) จำนวน 4 โมดูล เพื่อที่จะลดกระแสกระแสเพื่อบททางด้านอินพุตและสามารถจ่ายกำลังไฟฟ้าให้กับโหลดที่บูสต์ต่อเนื่องเข้ามาในระบบได้ แต่ระบบจะทำงานในโหมดกระแสไหลต่อเนื่อง การออกแบบควบคุมเป็นตัวควบคุมแบบพีไอ เพื่อลดการกระแสเพื่อบทของกระแสทางด้านอินพุต การควบคุมเพื่อมีเวลาระดับแรงดันเอาต์พุตให้มีที่เองที่ สามารถจ่ายกระแสสูงและการแบ่งจ่ายกระแสของแต่ละวงจรไปยังภาระมีค่าใกล้เคียงกัน มีประสิทธิภาพและมีความน่าเชื่อถือที่สูง จากผลทดสอบพบว่าสามารถยกกระแสระดับแรงดันเอาต์พุตที่ 80 V มีการเฉลี่ยแรงจ่ายกระแสในแต่ละโมดูลได้ใกล้เคียงกัน มีกำลังไฟฟ้าเอาต์พุตสูงสุดที่ 1kW และมีประสิทธิภาพเฉลี่ย 90.33 %



Abstract

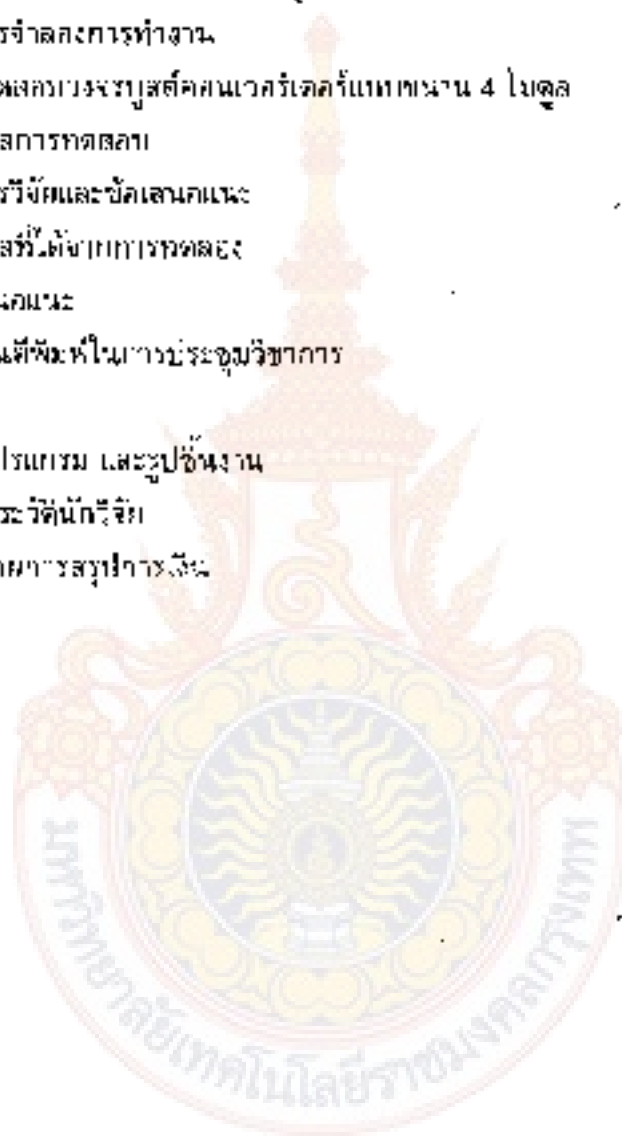
This research report presented converter system of DC Nanogrid, control with decoupled control technique. The input of converter system controls by DC programmable power supply and PV emulator. The parallel boost DC to DC converter in order to reduce the input ripple current and power to the load can be further added to the system. The boost DC to DC converter with 4 parallel modules works in continuous current mode. Control design is a PI controller and comprise of an interleaved control technique for decreasing input current ripple. The performance of 4 modules parallel boost DC to DC converter is increase output voltage 60 V. The maximum power output of 1 kW can control the current to a value that was similar in each module. Results of the tests shown that 4 modules parallel boost DC to DC converter are built to conform to the output voltage regulation. The average of the current in each module was similar. The maximum output power of 1 kW and also average efficiency of the proposed system is 90.33%.



สารบัญเรื่อง

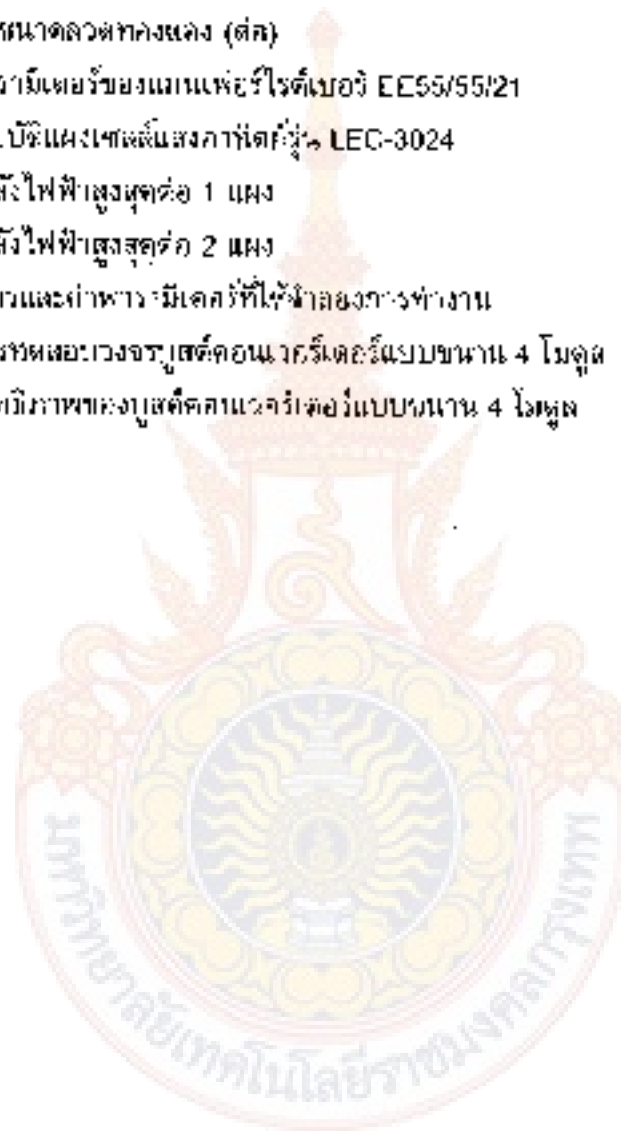
	หน้า
ปกใบ้	2
กิตติกรรมประกาศ	3
บทคัดย่อ	4
สารบัญ	6
สารบัญตาราง	8
สารบัญภาพ	9
บทที่ 1 บทนำ	
1.1 วัตถุประสงค์ของงานวิจัย	14
1.2 ขอบเขตของงานวิจัย	15
1.3 ขั้นตอนการดำเนินงาน	15
1.4 ประโยชน์ที่คาดว่าจะได้รับ	15
บทที่ 2 ทฤษฎี	
2.1 เซลล์แสงอาทิตย์	17
2.2 คุณสมบัติของแผงเซลล์แสงอาทิตย์	18
2.3 การติดตามจุดให้กำลังไฟฟ้าสูงสุด	24
2.4 มัลติดีซีทูดีซีคอนเวอร์เตอร์ (Boost Dc to Dc Converter)	27
2.5 มัลติดีซีทูดีซีคอนเวอร์เตอร์แบบขนาน	38
2.6 เทคนิคการอินเทอร์ลีฟ (Interleaved Technique)	52
2.7 ตัวควบคุมแบบพีไอ (PI Controller)	54
2.8 เทคนิคการควบคุมแบบดรอป (Droop Control technique)	57
บทที่ 3 การออกแบบงานวิจัย	
3.1 หลักการออกแบบชุดติดตามจุดกำลังไฟฟ้าสูงสุด	59
3.2 โครงสร้างหลักของโครงการวิจัย	60
3.3 คุณสมบัติของแผงเซลล์แสงอาทิตย์ที่ใช้ในงานวิจัย	62
3.4 อัลกอริทึมติดตามกำลังไฟฟ้าสูงสุด	63
3.5 ขั้นตอนการเขียนโปรแกรม	65
3.6 การประมวลผลของส่วนโปรแกรมควบคุม	66
3.7 การขนานวงจรและผันด้วยเทคนิคอินเทอร์ลีฟ	73
3.8 การออกแบบวงจรกำลังแบบขนาน 4 โมดูล	74

3.9 การออกแบบระบบจราจรทางคอมพิวเตอร์ระบบเว็บบริโวลต์แบบขนาน 4 ไบลูต	79
บทที่ 4 ผลการวิจัย.	
4.1 เครื่องมือที่ใช้ทดสอบ	92
4.2 ทดสอบการติดตามจุดเชื่อมต่อไฟฟ้าสูงสุดของแผงเซลล์แสงอาทิตย์	96
4.3 การจำลองการทำงานของวงจรบูสต์คอนเวอร์เตอร์แบบขนาน 4 ไบลูต	101
4.4 ผลการจำลองการทำงาน	104
4.5 การทดสอบวงจรบูสต์คอนเวอร์เตอร์แบบขนาน 4 ไบลูต	106
4.6 สรุปผลการทดสอบ	112
บทที่ 5 สรุปผลการวิจัยและข้อเสนอแนะ	
5.1 สรุปผลที่ได้จากการทดลอง	113
5.2 ข้อเสนอแนะ	113
5.3 ผลงานที่พึงพอใจในการประชุมวิชาการ	114
บรรณานุกรม	118
ภาคผนวก ก. โปรแกรม และรูปชิ้นงาน	119
ภาคผนวก ข. ประวัตินักวิจัย	122
ภาคผนวก ค. รายการสรุปอ้างอิง	130



สารบัญตาราง

ตารางที่	หน้า
2.1 การเปรียบเทียบวงจรหม้อเหล็กไฟฟ้าและวงจรไฟฟ้า	40
2.2 ขนาดขดลวด	44
2.3 ข้อมูลขนาดลวดทองแดง	49
2.4 ข้อมูลขนาดลวดทองแดง (ต่อ)	50
3.1 ค่าพารามิเตอร์ของแกนเฟอร์ไรต์เบอร์ EE55/55/21	70
4.1 คุณสมบัติแผงเซลล์แสงอาทิตย์รุ่น LEC-3024	93
4.2 ค่ากำลังไฟฟ้าสูงสุดต่อ 1 แผง	94
4.3 ค่ากำลังไฟฟ้าสูงสุดต่อ 2 แผง	95
4.4 ข่ายกริดและค่าพารามิเตอร์ที่ใช้จำลองการทำงาน	101
4.5 ผลการทดสอบวงจรชุดคอนเวอร์เตอร์แบบขนาน 4 โวลต์	106
4.6 ประสิทธิภาพของชุดคอนเวอร์เตอร์แบบขนาน 4 โวลต์	108



สารบัญรูป

รูปที่	หน้า
2.1	18
2.2	19
2.3	20
2.4	21
2.5	21
2.6	22
2.7	24
2.8	26
2.9	27
2.10	28
2.11	28
2.12	29
2.13	34
2.14	34
2.15	36
2.16	38
2.17	39
2.18	40
2.19	42
2.20	43
2.21	43
2.22	43
2.23	44
2.24	53
2.25	55
2.26	55

สารบัญรูป (ต่อ)

รูปที่	หน้า
2.27 วงจรขอยปแบบความคุมแบบพีไอ	56
2.28 บล็อกไดอะแกรมการควบคุมขึ้นต้นด้วยรีเลย์รูป	58
3.1 VI Characteristic ของเซลล์แสงอาทิตย์	59
3.2 บล็อกไดอะแกรมของสัญญาณที่มีผลตามกำลังไฟฟ้าสูงสุดและส่วนแสดงผล	60
3.3 กราฟ VI Curve แสดงค่ากำลังไฟฟ้าของเซลล์แสงอาทิตย์	62
3.4 บล็อกไดอะแกรมของภาคควบคุม	63
3.5 อุปกรณ์และวงจรวัดแรงดัน	63
3.6 อุปกรณ์และวงจรวัดกระแส	64
3.7 วงจรแยกไดคตทางแสงสำหรับเซ็นเซอร์	65
3.8 ขั้นตอนการทำงานของโปรแกรม	71
3.9 บล็อกไดอะแกรมของบูตส์ตาร์ทที่จุดเริ่มต้นเวลาเริ่มต้นภายใน 4 ไมโคร	73
3.10 วงจรควบคุมแรงดันและกระแสแบบฟีดแบ็ค	79
3.11 วงจรกำเนิดพัลส์สี่เหลี่ยมโดยใช้ไอซี NE555	80
3.12 สัญญาณพัลส์สี่เหลี่ยม	81
3.13 วงจรลดความถี่สัญญาณพัลส์สี่เหลี่ยมที่ 25 KHz	82
3.14 สัญญาณพัลส์สี่เหลี่ยมที่ต่างกัน 180 องศา และความถี่ลดเหลือ 25 KHz	83
3.15 วงจรสร้างสัญญาณระดับที่มีการเชื่อมเฟสกัน 90 องศา ของชุด A	83
3.16 สัญญาณแอมพลิจูดที่ลดลงจากไอซี 74LS123 ของชุด A	84
3.17 วงจรสร้างสัญญาณสามเหลี่ยม	85
3.18 สัญญาณสามเหลี่ยมที่ได้จากทรานซิสเตอร์ 2N2222	86
3.19 วงจรวัดจุดเลตสัญญาณเพื่อปรับลิ้น	86
3.20 วงจรที่เพิ่มแอมพลิจูดโดยใช้ไอซี TLP250	87
3.21 วงจรควบคุมกระแสแบบพีไอ	89
3.22 อุปกรณ์และวงจรตรวจจับแรงดัน	89
3.23 ไมโครคอนโทรลเลอร์เพื่อสร้างสัญญาณควบคุมแบบพีไอ	90
3.24 แผนภูมิสาธิตการทำงานของโปรแกรมควบคุมมอเตอร์ไมโครคอนโทรลเลอร์	91

สารบัญรูปรูป (ต่อ)

รูปที่	หน้า	
4.1	โต๊ะคณะกรรมการทดสอบประเมินสมรรถนะของแสงเซลล์แสงอาทิตย์	93
4.2	กำลังไฟฟ้าสูงสุดต่อ 1.แผง	94
4.3	การหาค่ากำลังไฟฟ้าสูงสุดต่อ 2 แผง	95
4.4	โต๊ะคณะกรรมการเตรียมข้อมูลของเซลล์แสงอาทิตย์ด้วยโปรแกรม Matlab/Simulink	96
4.5	การต่อใช้งานเครื่อง Power Analyzer รุ่น W1500	97
4.6	ค่ากำลังงานไฟฟ้าในขณะที่มีความเข้มแสงที่ต่างกัน โดยต่อกับโหลดความต้านทาน 50Ω 300W โดยใช้แสงเซลล์แสงอาทิตย์ที่ขนาด 30W 2 แผง พร้อมการใช้โปรแกรมที่ 1	98
4.7	ค่ากำลังงานไฟฟ้าในขณะที่มีความเข้มแสงที่ต่างกัน โดยต่อกับโหลดความต้านทาน 50Ω 500W โดยใช้แสงเซลล์แสงอาทิตย์ที่ขนาด 30W 2 แผง ต่อความถี่ที่ใช้โปรแกรมที่ 2	99
4.8	ค่ากำลังงานไฟฟ้าในขณะที่มีความเข้มแสงที่ต่างกัน โดยต่อกับโหลดความต้านทาน ใช้แสงเซลล์แสงอาทิตย์ที่ขนาด 30 W 2 แผงต่อความถี่ที่ใช้โปรแกรมที่ 1	100
4.9	ค่ากำลังงานไฟฟ้าในขณะที่มีความเข้มแสงที่ต่างกันโดยต่อกับโหลดความต้านทานที่ใช้แสงเซลล์แสงอาทิตย์ที่ขนาด 30W 2 แผงต่อความถี่ที่ใช้โปรแกรมที่ 2	100
4.10	แบบจำลองคณิตศาสตร์ของ การควบคุมวงจรมูลต์คอนเวอร์เตอร์แบบขนาน 4 โมดูล	102
4.11	ภาพหน้าจอของอินเทอร์เฟซ	102
4.12	ภาพหน้าจอของวงจรมูลต์คอนเวอร์เตอร์แบบขนาน	103
4.13	ภาพหน้าจอของระบบ	103
4.14	กระด้นอินพุตและกระด้นเอาต์พุตที่หน้าในแต่ละโมดูล	104
4.15	กระด้นเอาต์พุตและกระด้นเอาต์พุต	104
4.16	แรงดันเอาต์พุตและเอาต์พุตของวงจรและกระแสรวมของเซลล์แสงอาทิตย์ที่หน้า	105
4.17	วงจรการทดสอบการส่งกำลังของอินเวอร์เตอร์	106
4.18	กราฟความสัมพันธ์ระหว่าง I_{out} กับ I_m	107
4.19	กราฟประสิทธิภาพของมัลติอินเวอร์เตอร์แบบขนาน 4 โมดูล	109
4.20	กระแสที่ไหลผ่านเอาต์พุตที่หน้าที่มีกระแสเข้าอินพุต 20 A	110
4.21	กระแสที่ไหลผ่านเอาต์พุตที่หน้าที่มีกระแสเข้าอินพุต 40 A	110
4.22	กระแสและแรงดันเอาต์พุตเมื่อเปลี่ยนแปลงกระแสที่กระแสเข้าอินพุต 15A ไปที่ 25A	111

สารบัญญักรูป(ต่อ)

รูปที่

ผแนว: ก. รูปชั้นฐาน

หน้า

118



บทที่ 1

บทนำ

ในการพัฒนาประเทศ พลังงานไฟฟ้าถือเป็นปัจจัยพื้นฐานที่สำคัญมาก จากความกดดันในด้านความผันผวนของราคาเชื้อเพลิงฟอสซิล ความสนใจในปัญหาสิ่งแวดล้อม เช่น การผันแปรของแหล่งที่สารก่อโรคได้ซึ่งมีเนื้อหาเกี่ยวกับการลดการปล่อยก๊าซเรือนกระจกเพื่อป้องกันและบรรเทาปัญหาโลกร้อน และแนวโน้มการเปลี่ยนแปลงรูปแบบการผลิตไฟฟ้าจากการเปิดเสรีทางพลังงาน (Deregulation) ทำให้ความสนใจมีเกี่ยวกับการผลิตพลังงานไฟฟ้าจากแหล่งพลังงานธรรมชาติ หรือพลังงานหมุนเวียน (Renewable Energy Resources) เช่น พลังงานลมหรือพลังงานแสงอาทิตย์ เป็นต้นอย่างไรก็ตาม อุปสรรคการผลิตพลังงานไฟฟ้าจากแหล่งพลังงานธรรมชาติเหล่านี้ โดยทั่วไปแล้วกำลังไฟฟ้าที่ผลิตได้จะมีปริมาณที่ผันผวนเป็นอย่างมาก จึงทำให้เกิดความกังวลเกี่ยวกับผลกระทบในแง่ลบทั้งในด้านของคุณภาพไฟฟ้าและความสะดวกสบายของระบบในกรณีที่มี ภาระงานแหล่งกำเนิดไฟฟ้าเหล่านี้ จำนวนมากเข้ามาต่อกับระบบไฟฟ้า (Grid Connected Distributed Generation) จึงได้มีการนำเสนอแนวทางการผลิตและกระจายไฟฟ้ามากในพื้นที่สำหรับ ระบบไฟฟ้ากำลังขนาดเล็กโดยใช้แหล่งกำเนิดไฟฟ้าขนาดเล็กเช่น เซลล์แสงอาทิตย์ หรือเซลล์เชื้อเพลิง รวมทั้ง การผลิตไฟฟ้าจากแหล่งพลังงานหมุนเวียน หรือรวมเรียกว่าแหล่งกำเนิดไฟฟ้า ณ จุดใช้งาน (Distributed Energy Resource, DER) เพื่อปรับปรุงความเชื่อถือได้ของระบบไฟฟ้าและตอบสนองการเปลี่ยนแปลงที่ตามมาจากการเจริญเติบโตด้านพลังงานไฟฟ้า เรียกว่าแนวคิดนาโนกริด หรือ NanoGrid Concept โดยถูกนำเสนอ ภายใต้โครงการ CERTS (Consortium for Electric Reliability Technology Solutions) ในสหรัฐอเมริกา ในปี 2002 ภายใต้แนวคิดนี้ทั้งแหล่งกำเนิดไฟฟ้าขนาดเล็กและโหลดภายในพื้นที่จะถูกมารวมเป็นระบบอิสระขนาดเล็กจากระบบหนึ่ง ซึ่งทั้งกำลังไฟฟ้าและความร้อน แหล่งกำเนิดไฟฟ้าขนาดเล็กบางส่วนโดยทั่วไปนี้จะจัดจากระบบที่มาจากอุปกรณ์อิเล็กทรอนิกส์กำลังเพื่อความสะดวกในการใช้งานและการควบคุม ในสภาวะที่เกิดความผิดปกติขึ้นในระบบไฟฟ้ากำลังหลัก นาโนกริดจะสามารถปลดตัวเองออกจากระบบไฟฟ้ากำลังหลัก และทำงานในระบบไอส์แลนด์ (ผลิตและส่งกำลังไฟฟ้าภายในพื้นที่) ได้อัตโนมัติ และสามารถเชื่อมต่อกลับเข้าไปกับระบบไฟฟ้ากำลังหลักได้เมื่อความผิดปกติในระบบไฟฟ้ากำลังหลักได้จบการแก้ไขไปแล้วโดยแนวคิดนี้ นาโนกริดจะถูกมองเป็นระบบควบคุมหน่วยหนึ่งของระบบไฟฟ้ากำลังหลัก และจะไม่สร้างปัญหาเช่นการกระเพื่อมของแรงดันไฟฟ้า การแกว่งไกวของความถี่ไฟฟ้า เป็นต้นให้กับระบบไฟฟ้ากำลังหลัก เนื่องจากนาโนกริดไม่ได้มีหลายเพื่อรักษาเอาไฟฟ้าเข้ากับระบบไฟฟ้ากำลังหลัก หากแต่มุ่งเน้นการผลิตและจำหน่ายไฟฟ้าในพื้นที่ของตัวเอง การ

เพิ่มขึ้นของนาโนวัตต์ รวมถึง DER จะไม่ก่อให้เกิดปัญหาต่อระบบไฟฟ้ากำลังหลัก ในขณะเดียวกันก็ช่วยเสริมความมั่นคงของระบบส่งจ่ายไฟฟ้า รวมทั้งสามารถเชื่อมโยงเข้ากับระบบไฟฟ้าและคุณภาพไฟฟ้าในเชิงพื้นที่ของนาโนวัตต์ความถี่ของดาวเทียมความถี่ของดาวเทียมส่งของประเทศไทยจะได้รับการดูแลและดูแลที่สอดคล้องกับสิ่งแวดล้อมทางเทคโนโลยีไฟฟ้าที่นอกเหนือจากการใช้พลังงานทดแทนอื่นๆ และประสิทธิภาพการใช้พลังงานโดยรวมทั้งเชิงพื้นที่ นอกจากนี้เนื่องจาก DER มีขนาดเล็กการวางแผนและติดตั้งจึงใช้เวลาและค่าใช้จ่ายน้อยกว่าระบบการผลิตขนาดใหญ่ จึงมีส่วนช่วยกระจายความเสี่ยงของการลงทุนด้านการผลิตไฟฟ้าได้มากขึ้นหนึ่งจากที่กล่าวมา อาจสามารถสรุปความสำคัญของแนวคิดนาโนวัตต์ได้ดังนี้

1. การรักษาคุณภาพกำลังไฟฟ้าและความน่าเชื่อถือได้ของระบบไฟฟ้า
2. การลดระยะเวลาและค่าใช้จ่ายในการติดตั้ง
3. การลดค่าใช้จ่ายของการพลังงานหรือค่าเชื้อเพลิง
4. การลดผลกระทบต่อสิ่งแวดล้อม
5. การรักษาความมั่นคงของพลังงาน
6. สำรองแหล่งจ่ายไฟในกรณีภัยพิบัติธรรมชาติ เช่น แผ่นดินไหวหรือน้ำท่วมเกิด ระยะเวลาส่งจ่ายไฟจากการไฟฟ้าบกพร่อง

หลักการทำงานของระบบดีชีนนาโนวัตต์เมื่อเปรียบเทียบกับเอชเอ็นนาโนวัตต์คือ [3], [4]

1. ไม่เกิดการลัดวงจรหรือไฟไหม้ในบริเวณส่งไฟฟ้า
2. สามารถควบคุมการไหลของกำลังไฟฟ้าได้อย่างสมบูรณ์
3. ไม่เกิดปัญหาการชิ่งโวลท์ในขั้วหม้อแปลงในระบบไฟฟ้ากระแสสลับ
4. ลดการสูญเสียพลังงานในระบบได้เนื่องอุปกรณ์อิเล็กทรอนิกส์กำลังมีความสูญเสียเล็กน้อย

กว่าหม้อแปลงไฟฟ้า

5. สามารถถ่ายโอนกำลังไฟฟ้ากับอุปกรณ์เกี่ยวกับพลังงานเช่น แบตเตอรี่หรือลิเธียมไอออนปาดิเตอร์ได้

1.1 วัตถุประสงค์ของงานวิจัย

1.1.1 ศึกษาคุณลักษณะของระบบแหล่งผลิตพลังงานขนาด 1kW เพื่อหาแบบจำลองทางคณิตศาสตร์ระบบแปลงกำลังไฟฟ้าด้วยโปรแกรม Matlab/Simulink

1.1.2 ศึกษาและออกแบบดีซีฟูลล์บริดจ์คอนเวอร์เตอร์แบบกึ่งตัวนำแบบสองขั้วแรงดันไฟฟ้ากระแสตรงจากเซลล์แสงอาทิตย์

1.1.3 ศึกษาและออกแบบดีซีฟูลล์บริดจ์คอนเวอร์เตอร์แบบสองขั้วแรงดันไฟฟ้ากระแสตรงร่วมกับแบตเตอรี่สำหรับประจุและคายประจุ

1.1.4 สร้างระบบควบคุมกำลังไฟฟ้า ในกรณีระหว่างแหล่งจ่ายจาก เซลล์แสงอาทิตย์และ แบตเตอรี่ด้วยวิธี Droop control

1.1.5 ศึกษาการใช้งานอินเวอร์เตอร์แบบหนึ่งเฟสสำหรับแปลงผันไฟฟ้ากระแสตรงเป็น ไฟฟ้ากระแสสลับสำหรับใช้ต่อเข้ากับระบบและการควบคุมกำลังไฟฟ้า

1.2 ขอบเขตของงานวิจัย

1.2.1 สร้างและจำลองการทำงานระบบแปลงผันเซลล์แสงอาทิตย์ขนาด 1kW ในระบบไฟฟ้า กระแสตรงด้วยโปรแกรม Matlab/Simulink

1.2.2 ออกแบบและสร้างวงจรบอร์ดที่ควบคุมเวกเตอร์ร่วมกับการควบคุมแรงดันไฟฟ้า กระแสตรง

1.2.3 ออกแบบและสร้างบอร์ดชุดบอร์ดที่ควบคุมเวกเตอร์แบบสองทิศทางเพื่อแปลงผัน แรงดันไฟฟ้ากระแสตรงจากแบตเตอรี่

1.2.4 ออกแบบและวัดหาอินเวอร์เตอร์หนึ่งเฟส 220 V 50 Hz ความถี่สวิตช์ 10 kHz สำหรับแปลงผันไฟฟ้ากระแสตรงเป็นไฟฟ้ากระแสสลับ

1.2.5 สร้างระบบควบคุมกระแสและแรงดันของคอนเวอร์เตอร์ในกรณีชัตตัมในกริดด้วยวิธี interleaved control

1.2.6 ทดสอบระบบของคอนเวอร์เตอร์ในสภาวะสมมติและไดนามิก

1.3 ขัณฑ์ของการดำเนินงาน

1.3.1 ค้นคว้าข้อมูลของกรควบคุมในระบบนาโนกริด

1.3.2 สร้างแบบจำลองทางคณิตศาสตร์ของเซลล์แสงอาทิตย์และคอนเวอร์เตอร์

1.3.3 ออกแบบและสร้างบอร์ดที่บอร์ดคอนเวอร์เตอร์จำนวน 4 บอร์ด

1.3.4 ออกแบบและทดสอบระบบควบคุม วงปิด

1.3.5 ทดสอบคอนเวอร์เตอร์ในสภาวะสมมติและไดนามิก

1.3.6 วิเคราะห์ผลการทดลองและเปรียบเทียบเก็บข้อมูลของกรทำงาน

1.3.7 จัดทำรูปเล่ม รายงานการวิจัย

1.4 ประโยชน์ที่คาดว่าจะได้รับ

1.4.1 ได้เครื่องต้นแบบคอนเวอร์เตอร์ชนิดไฟฟ้าจากเซลล์แสงอาทิตย์เป็นองค์ความรู้พื้นฐาน ในการวิจัยด้านพลังงานทดแทน

1.4.2 ได้แบบจำลองทางคณิตศาสตร์ของระบบควบคุมคอนเวอร์เตอร์ในในระบบนาโนกริดซึ่ง สามารถที่เพิ่ม พักกันและกำลังไฟฟ้าให้สูงขึ้นได้ตามต้องการ

1.4.3 สถาบันอาจนำใช้งานเว็บไซต์ของมูลนิธิฯ ทางด้านการผลิตไฟฟ้ามาใหม่หรือจากพลังงานทดแทนได้

1.4.4 ได้ประยุกต์ใช้ความรู้ทางด้านอิเล็กทรอนิกส์กำลังและระบบควบคุมร่วมกับแหล่งจ่ายพลังงานทดแทน



บทที่ 2

ทฤษฎี

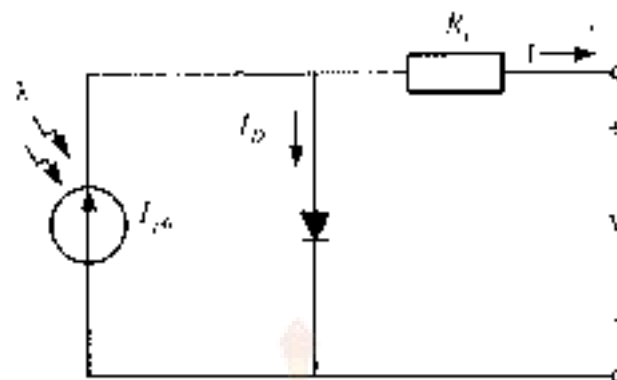
ในการลดขนาดและสร้างระบบโฟโตโวลตาอิกที่ดีขึ้น ในอดีตด้วยเทคนิคที่ขณะแควร์เตอร์โดยอาศัยการควบคุมกระแสแบบอินเทอร์ลีฟ (interleaved technique) เพื่อเป็นการเพิ่มกำลังไฟฟ้าและลดความเครียดที่อุปกรณ์กำลัง มีผลจากการใช้งานของแควร์เตอร์ ในส่วนควบคุมการติดตามกำลังไฟฟ้าสูงสุดได้ทดลองอัลกอริทึมแบบระบบและสังเคราะห์ และแบบของเข้าส่วนเพิ่มซึ่งจำเป็นต่อองค์ประกอบและการและทฤษฎีที่เกี่ยวข้องนี้

2.1 เซลล์แสงอาทิตย์

เซลล์แสงอาทิตย์เป็นวัสดุชนิดสารกึ่งตัวนำที่ดูดซับแสงอาทิตย์และแปลงเป็นพลังงานไฟฟ้า เซลล์ส่วนใหญ่เป็นเซลล์จำพวกซิลิคอน ซึ่งเป็นส่วนประกอบของรอยต่อพี-เอ็น โดยถูกสร้างเป็นแผ่นบางๆหรือเป็นชั้นของอุปกรณ์สารกึ่งตัวนำ มีพฤติกรรมเป็นสนามไฟฟ้าโดยมีาระจุบจากรูปร่างได้แนว และจะระจุลบอยู่ทางด้านหน้าแผง (ด้านรับแสงอาทิตย์) เมื่อพลังงานแสงอาทิตย์(ประจุโฟตอน) กระบอบแผงเซลล์แสงอาทิตย์ โฟตอนจะชนอะตอมภายในเซมิคอนดักเตอร์ ซึ่งทำให้เกิดการแตกตัวออกไป โดยอิเล็กตรอนวิ่งชนอะตอมที่อยู่ถัดไปเป็นวัฏจักร จะเกิดการถ่ายเทพลังงานเกิดขึ้น การที่อิเล็กตรอนวิ่งจากซ้ายไปขวานั้น ถ้ามีวงจรรูปแบบวงจรสมมูลทางไฟฟ้า อิเล็กตรอนแทนด้วยค่ากระแสโฟโต I_{ph} (photo current) โดยวงที่มีตุ่มแก๊สและช่องกระแสแรงต้านยาวที่ผูกของเซลล์แสงอาทิตย์จะมีตุ่มแก๊สและเส้นแรงแม่เหล็กไปไหนมาไหนอย่างก้าวไต่ไต่

2.1.1 แผงจ่ายของเซลล์แสงอาทิตย์

ในสภาวะที่ไม่มีแสง เซลล์แสงอาทิตย์จะไม่สามารถจ่ายพลังงานออกมาได้ ซึ่งที่จริงแล้วมันเป็นไดโอด โดยไม่จ่ายทั้งแรงดันและกระแส ยกเว้นไว้ที่พิกัดกับเซลล์แสงอาทิตย์นี้ ต่อเข้ากับแหล่งจ่ายภายนอก เซลล์แสงอาทิตย์จะผลิต I_d ออกมา เรียกกระแสนี้ว่า กระแสไดโอด (diode current หรือ dark current) โดยรูปแบบวงจรสมมูลของเซลล์แสงอาทิตย์แสดงได้ดังรูปที่ 2.1



รูปที่ 2.1 วงจรสมมูลของแผงเซลล์แสงอาทิตย์

ในระบภาพพลังงานเซลล์แสงอาทิตย์ เมื่อเซลล์แสงอาทิตย์ถูกนำมาเชื่อมเข้าด้วยกันเป็นแผงเซลล์แสงอาทิตย์ โดยการที่กัมต่อเซลล์ในลักษณะอนุกรมกัน การพิจารณาถึงวงจรสมมูลของแผงดังกล่าว นำไปสู่สมการสำหรับแผงเซลล์แสงอาทิตย์ด้วยการเชื่อมต่อในลักษณะดังกล่าว โดยที่แบบจำลองที่กล่าวมาประกอบไปด้วยแหล่งจ่ายกระแส I_{ph} ไดโอดและความต้านทานอนุกรม R_L ซึ่งแทนค่าความต้านทานภายในของเซลล์แต่ละเซลล์ โดยกระแส I คือผลต่างระหว่างกระแสโฟโต้ I_{ph} และกระแสของไดโอด I_D ดังนี้

$$I = I_{ph} - I_D = I_{ph} - I_s (e^{qV/nkT} - 1) \quad (2.1)$$

เมื่อ n คือแฟกเตอร์ทางคณิตศาสตร์ I_s คือค่าคงที่โบล์ทซ์มานซ์ T คืออุณหภูมิสัมบูรณ์ของเซลล์ e คือประจุไฟฟ้า และ k คือแรงดันเทอร์โมอิเล็กตรอนโดย I_s คือกระแสที่มั่วด้วยอัตราฉบับหนึ่งขึ้นอยู่กับอุณหภูมิภายนอกจากแผงเซลล์แสงอาทิตย์ มีการเชื่อมต่อกันแบบอนุกรมแล้วยังสามารถทำการเชื่อมเซลล์ในลักษณะขนานกันได้ เพื่อให้ได้ค่าแรงดันและกระแสไฟฟ้าที่เหมาะสมที่ต้องการ

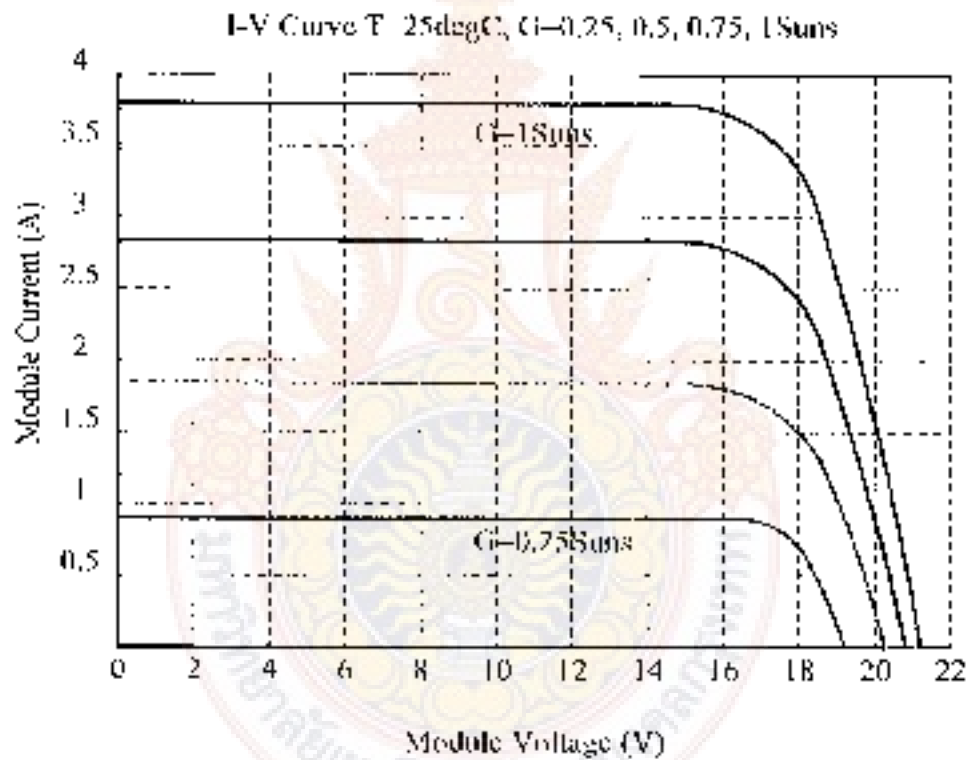
2.2 คุณสมบัติของแผงเซลล์แสงอาทิตย์

แผงเซลล์แสงอาทิตย์ถูกนำมาใช้ในการหาพลังงานเพื่อให้ได้กำลังไฟฟ้าสูงสุดจากแผงเซลล์แสงอาทิตย์ จุดตัดตามจุดกำลังไฟฟ้าสูงสุดจะถูกนำมาควบคุมการเปลี่ยนแปลงคุณสมบัติของกระแส-แรงดัน และ กำลังไฟฟ้า-แรงดันของแผงเซลล์แสงอาทิตย์ โดยเป้าหมายของจุดตัดตามจุดกำลังไฟฟ้าสูงสุดก็เพื่อให้แน่ใจว่าระบบจะทำงานใกล้เคียงกับจุดให้กำลังไฟฟ้าสูงสุดเมื่อถูกภายใต้การเปลี่ยนแปลงของสภาวะแวดล้อม สามารถให้ประสิทธิภาพที่

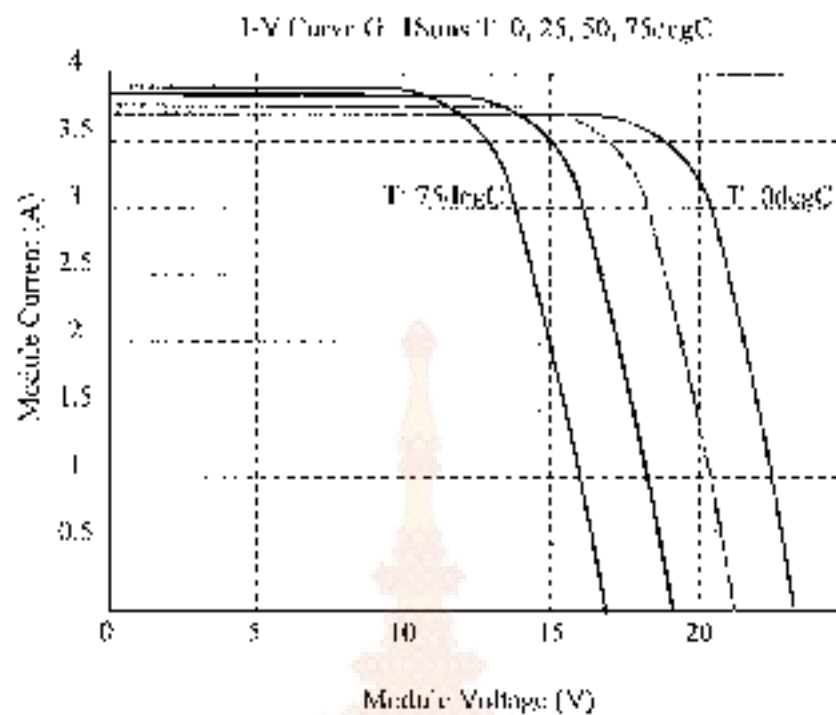
สูง รักษาประสิทธิภาพในช่วงเวลาดังกล่าวในระดับดีเยี่ยม ซึ่งเปลี่ยนแปลง และให้ค่า เกรดที่สอดคล้องกัน
 ได้ตามที่ตั้งเป้า

2.2.1 จุดเด่นพิเศษของกระบวนการและแผง

ในการศึกษาจุดเด่นพิเศษและผลกระทบของแรงดันจากแสงของเซลล์แสงอาทิตย์ จะทำการ วิเคราะห์จากสมการข้างต้น โดยการเลือกค่าคุณสมบัติและความเข้มแสงแทนลงในสมการและ พล็อตกราฟกระแส-แรงดัน จะเห็นว่ากระแส-แรงดัน I ของแผงจะมีอิทธิพลอย่างมาก โดยการ เปลี่ยนแปลงของค่าความเข้มแสงขณะที่แรงดันเอาต์พุต V ยังคงประมาณเพงงที่ และถ้าพิจารณาการ เปลี่ยนแปลงของอุณหภูมิ ซึ่งจะเห็นได้จากแรงดันที่มีการเปลี่ยนแปลงในช่วงกว้าง ในขณะที่กระแส แอมป์ไม่มีการเปลี่ยนแปลงด้วย เหตุนี้เป็ผลทำให้ วิศวกรศึกษา พอลงแสงเซลล์แสงอาทิตย์ที่ต่าง



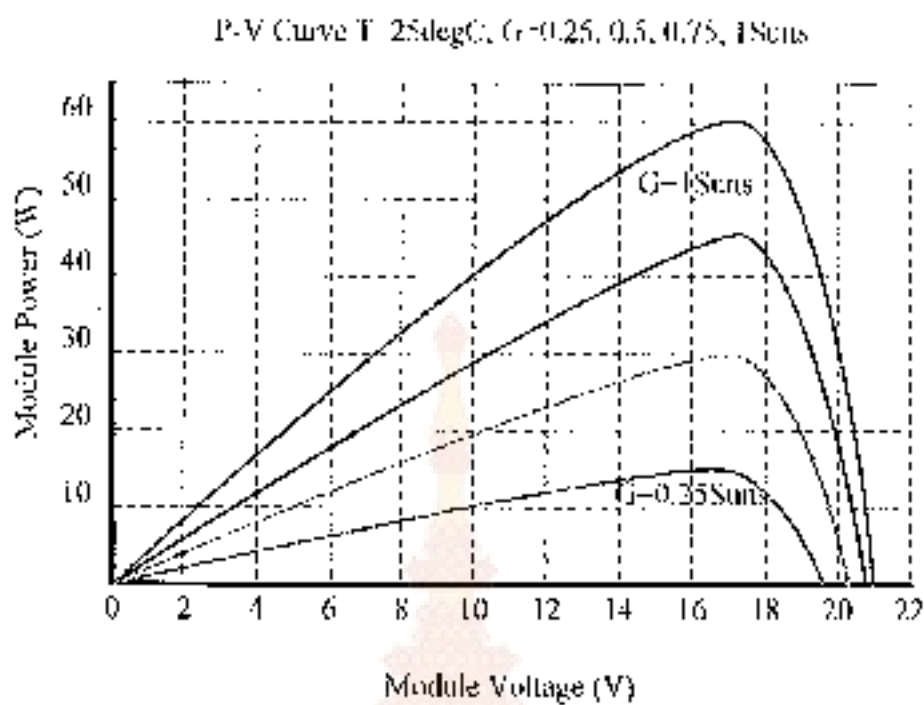
รูปที่ 2.2 เส้นโค้งกระแส-แรงดัน ($I - V$) ที่แปรผันตามระดับความเข้มแสง



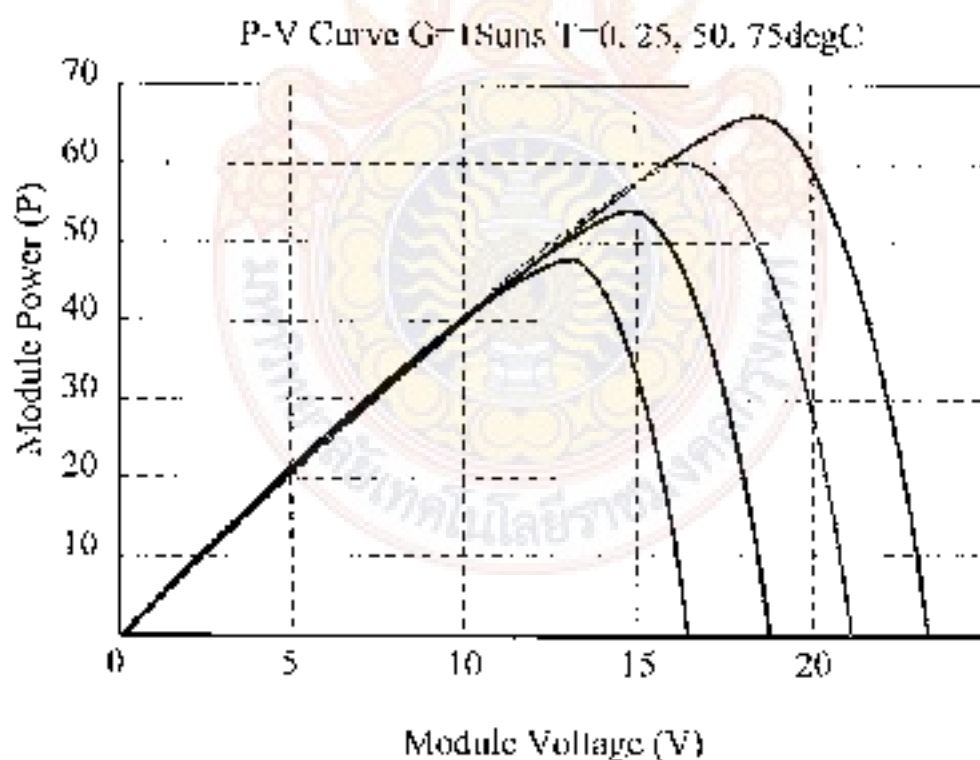
รูปที่ 2.3 เส้นโวลตาจ-แอมแปร์ (I-V) ที่แปรผันตามระดับอุณหภูมิ

2.2.2 คุณลักษณะของกำลังไฟฟ้า-แรงดัน

คุณลักษณะของกำลังไฟฟ้า-แรงดันของแผงเซลล์แสงอาทิตย์ ได้มาจากคุณลักษณะของกระแสและแรงดัน ส่วนความสัมพันธ์ของกำลังไฟฟ้าเอาต์พุต $P = V \times I$ ของแผงเซลล์แสงอาทิตย์มีค่าลดลงอย่างเร่งรีบ สำหรับการลดลงของความเข้มแสง และ กำลังไฟฟ้าเอาต์พุตจะลดลงโดยการเพิ่มอุณหภูมิของแสง ซึ่งสามารถอธิบายได้โดยขึ้นอยู่กับอุณหภูมิที่กำหนดของแรงดันเปิดวงจร



รูปที่ 2.4 เส้นสัมพันธ์กำลังไฟฟ้า-แรงดัน (P-V) ที่แปรผันตามระดับความเข้มแสง

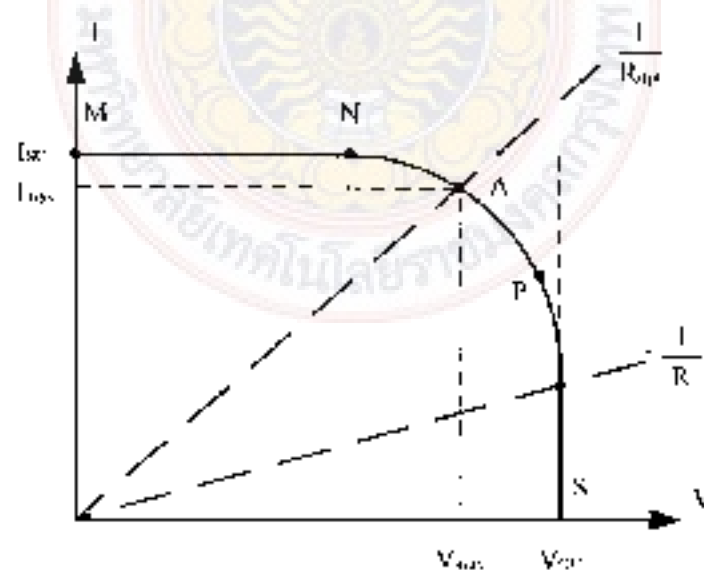


รูปที่ 2.5 เส้นโค้งกำลังไฟฟ้า-แรงดัน (P-V) ที่แปรผันตามระดับอุณหภูมิ

จะเห็นว่ากำลังไฟฟ้าเสถียรที่สุดของแรงแรงเซลล์แสงอาทิตย์จะไม่ใช่ขึ้นกับอุณหภูมิและความเข้มแสงเพียงอย่างเดียว แต่มันจะมีผลอย่าง มากกับแรงดันที่จุดปฏิบัติงาน จุดของกำลังไฟฟ้าสูงสุดของแผงที่ MPPT ดังรูปที่ 2.3 ซึ่งเป็นจุดปฏิบัติงานที่สังเกตุสำหรับแผงเซลล์แสงอาทิตย์ที่เพิ่งให้ได้ประสิทธิภาพสูงสุด ด้วยเหตุผลนี้จึงส่งผลให้ควมดันใน C หรือ $\frac{dP}{dV} = 0$ แต่หาแรงดันต่ำกว่าหรือสูงกว่าแรงดันที่จุดให้กำลังไฟฟ้าสูงสุด ก็ส่งผลให้ $\frac{dP}{dV} > 0$ หรือ $\frac{dP}{dV} < 0$ ตามลำดับโดยที่แรงดันตกที่แท้จริงมาจากการเพิ่มของกระแสลิมิตด้วยอุณหภูมิของไดโอด ซึ่งจะไม่ใช่ทำให้จุดให้กำลังไฟฟ้าสูงสุด และจากรูปที่ 2.4 และ รูปที่ 2.5 ผลของค่า สำหรับแรงดันที่จุดปฏิบัติงานที่ดีที่สุดจะเปลี่ยนแปลงไปในสภาวะแวดล้อมตลอดเวลา

2.2.3 ผลของโหลต่อจุดปฏิบัติงาน

จากรูปที่ 2.6 แสดงคุณลักษณะกระแส-แรงดันของเซลล์แสงอาทิตย์ ณ ความเข้มแสง G_0 และอุณหภูมิ T_0 ของบรรยากาศค่าหนึ่งจะเห็นว่าถ้าต่อโหลความความต้านทานปริมาตรได้ R ที่ขั้วของเซลล์แล้ว จุดปฏิบัติงานจะถูกกำหนดโดยจุดตัดกันของเส้นโค้งจุดเล็ก I และกระแส-แรงดันกับเส้นตรงคุณลักษณะของโหลที่มีความชัน $\frac{I}{R} = \frac{1}{R}$ ซึ่งชี้ให้เห็นว่ากำลังไฟฟ้าที่จ่ายไปยังโหลจะขึ้นตรงกับค่าความต้านทาน นั่นคือถ้าโหล R มีค่าต่างๆ เซลล์จะทำงานในช่วง MN ของเส้นโค้งซึ่งเป็นช่วงที่เซลล์ทำหน้าที่เป็นแหล่งจ่ายกระแสของที่มีค่าเท่ากับกระแสลัดวงจร ในทางกลับกันถ้าโหล R มีค่าสูงๆ เซลล์จะทำงานในช่วง PS ของเส้นโค้งซึ่งเป็นช่วงที่เซลล์ทำหน้าที่เป็นแหล่งรับกระแสตรงที่มีค่าเท่ากับแรงดันเปิดวงจร



รูปที่ 2.6 คุณลักษณะกระแส-แรงดันของเซลล์แสงอาทิตย์

เมื่อพิจารณาสมการของกระแสจากสมการ(2.1) และกราฟของกระแสและแรงดัน

แรงดันเปิดวงจร สามารถหาค่ากระแสเปิดวงจรค่าพารามิเตอร์ต่าง ๆ ดังนี้

- กระแสลัดวงจร (Short circuit current) $I_{sc} = I_{ph}$ มีค่ามากที่สุดเมื่อเซลล์เข้ากระแสออกมาภายใต้กระแสของการลัดวงจร $V = 0$
- แรงดันเปิดวงจร (Open circuit voltage) สอดคล้องกับแรงดันต่อขั้วเมื่อโหลด เมื่อกระแสโฟโตโวลต์เป็นโวลต์ ($I_{sc} = I_{ph}$) ส่งผลให้เซลล์ผลิตกระแสออกมาเท่ากับศูนย์ $I = 0$ ซึ่งเป็นผลมาจากแรงดันของกึ่งตัวนำตรงกัน แรงดันเปิดวงจรบนสองขั้วของเซลล์จะทางคณิตศาสตร์ดังนี้

$$V_{oc} = -\frac{mkT}{e} \ln\left(\frac{I_{ph}}{I_0}\right) = V_t \ln\left(\frac{I_{ph}}{I_0}\right) \quad (2.2)$$

เมื่อ $V_t = \frac{mkT}{e}$ คือ แรงดันที่เปลี่ยนแปลงตามค่าของอุณหภูมิ (Thermal voltage)

- จุดให้กำลังไฟฟ้าสูงสุด เมื่อพิจารณาจากกราฟของแรงดันและกระแส I ที่จุด $A(V_{max}, I_{max})$ ซึ่งจะมีสมการความสัมพันธ์ คือ

$$I_{max} = I_{sc} \times V_{max} \quad (2.3)$$

- ค่าประสิทธิภาพสูงสุด (Maximum efficiency) เป็นค่าอัตราส่วนระหว่างกำลังไฟฟ้าสูงสุดกับกำลังที่ได้จากแสงอาทิตย์

$$\eta = \frac{P_{max}}{P_{in}} = \frac{V_{max} I_{max}}{A G_a} \quad (2.4)$$

เมื่อค่า G_a คือ ค่าความเข้มของแสงโดยรอบ (ambient radiation) (วัดด้วยจาวารอมเมตร) และ A คือพื้นที่รับแสงของเซลล์ (ตารางเมตร)

- Fill factor (FF) คือ ค่าอัตราส่วนระหว่างค่ากำลังไฟฟ้าสูงสุดที่เซลล์สามารถจ่ายให้กับโหลดกับ ค่ากระแสลัดวงจรคูณกับค่าแรงดันเปิดวงจร

$$FF = \frac{P_{max}}{V_{oc} I_{sc}} = \frac{V_{max} I_{max}}{V_{oc} I_{sc}} \quad (2.5)$$

ค่า Fill factor เป็นค่าที่แน่นอนซึ่งกำหนดคุณลักษณะของกราฟความสัมพันธ์กระแสแรงดัน ซึ่งเซลล์ที่ดีจะมีค่า Fill factor ประมาณ 0.7 แต่ถ้ามีค่าต่ำกว่านี้ย่อมหมายความว่าเซลล์แสงอาทิตย์ มีค่าประสิทธิภาพ

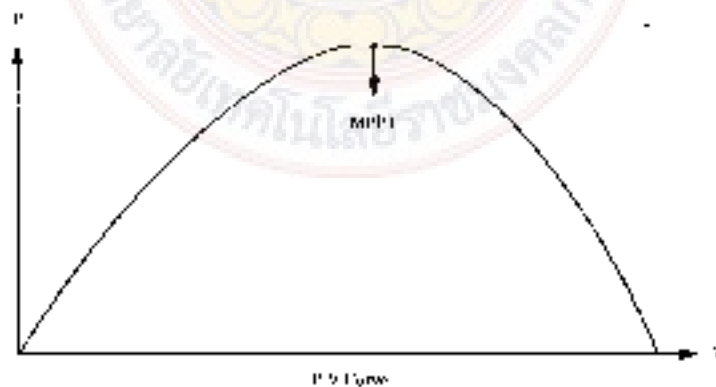
2.3 การติดตามจุดให้กำลังไฟฟ้าสูงสุด

2.3.1 ขุดความหยาบการหาค่ากำลังไฟฟ้าสูงสุด

โดยปกติแล้วแผงเซลล์แสงอาทิตย์จ่ายพลังงานไฟฟ้าออกมาได้ขึ้นอยู่กับวันแสง 2 ชนิดก็คือ ความเข้มแสงและอุณหภูมิ แต่ทราบได้อย่างไรว่าค่า กำลังไฟฟ้าที่ผลิตได้เป็นค่า กำลังไฟฟ้าสูงสุดในสภาวะของแสงเข้มแสงและอุณหภูมินี้ๆ ตอนประกอบที่สำคัญในระบบ เซลล์แสงอาทิตย์ที่เป็นองค์ประกอบในการหาค่ากำลังไฟฟ้าสูงสุดนั้นก็มีส่วนหนึ่งก็คือ ส่วนผลิตค่ากำลังไฟฟ้าสูงสุด ซึ่งในงานวิจัยนี้ได้นำทฤษฎีการติดตามการหาค่ากำลังไฟฟ้าสูงสุดมาใช้พิจารณา โดยในทฤษฎีนี้สามารถแบ่งวิธีการหาค่ากำลังไฟฟ้าสูงสุดได้หลายวิธี แต่โดยส่วนใหญ่แล้วที่นิยมนำมาพิจารณามี 2 วิธี คือ

2.3.1.1 ทฤษฎีการรบกวนและการสังเกตการณ์ (Perturbation and Observation Method - P&O)

ทฤษฎีการรบกวนและการสังเกตการณ์ มีโครงสร้างที่ง่ายและหาวิธีต่างๆ น้อยๆ ซึ่งมีการทำงานโดยการรบกวนระบบโดยการเพิ่มหรือการลดแรงดันที่จุดการทำงานของแผงและสังเกตการณ์ผลกระทบต่อกำลังไฟฟ้าภายใต้ทุกสภาวะ ดังกล่าวทำการเปรียบเทียบกับระบบการรบกวนที่ผ่านมา ถ้าการรบกวนนั้นนำไปสู่การเพิ่ม (หรือการลด) กำลังไฟฟ้าของแผง การรบกวนที่ตามมาก็คือ ทำไปในทิศทางเดียวกันหรือตรงข้ามกัน ในวิธีนี้ขุดติดตามจุดกำลังไฟฟ้าสูงสุดจะทำการค้นหาสภาวะที่มีกำลังไฟฟ้าสูงสุดอย่างต่อเนื่อง



รูปที่ 2.7 จุดให้กำลังไฟฟ้าสูงสุดจากเส้นโค้งกำลังไฟฟ้า-แรงดัน (P-V)

2.3.1.2 ทฤษฎีความนำส่วนเพิ่ม (Incremental Conductance Method

- IncCond)

วิธีนี้จะใช้วิธีหาผลต่างของความนำส่วนเพิ่ม เป็นหลักการหาค่าสูงสุดให้กำลังไฟฟ้าสูงสุดซึ่งมีประสิทธิภาพมากกว่าวิธีการรวมกระแสและการหาค่าเฉลี่ยและไม่ขึ้นกับอุปกรณ์หรือวิธีการทางกายภาพ แรงดันและกระแสเซลล์สุริยะที่จ่ายจะถูกควบคุมให้คงที่ ความคุมชุดคือความจุต่อกำลังไฟฟ้าสูงสุดจะอาศัยการคำนวณต่อ ความนำและความนำส่วนเพิ่มและทำการตัดสินใจ (ที่จะเพิ่มหรือลดค่าอัตราส่วนเดือที่อาทิตย์) โดยทำงานกับเซนเซอร์ในการวัดแรงดันและกระแสที่จุดปฏิบัติงานของแผง

อัลกอริทึมของความนำส่วนเพิ่ม :

- กำลังไฟฟ้าอาทิตย์จากแผงเซลล์แสงอาทิตย์คือ

$$P = V \times I \quad (2.6)$$

- เมื่อประยุกต์สมการกำลังไฟฟ้าอาทิตย์ต่อกับกฎลูกโซ่ จะได้

$$\begin{aligned} \frac{dP}{dV} &= \frac{d(VI)}{dV} \\ &= I \frac{dV}{dV} + V \frac{dI}{dV} \\ &= I + V \frac{dI}{dV} \end{aligned}$$

จะได้

$$\left(\frac{I}{V}\right) \frac{dP}{dV} = \left(\frac{I}{V}\right) + \frac{dI}{dV} \quad (2.7)$$

- กำหนดให้ความนำของแผงเซลล์แสงอาทิตย์คือ

$$G_i = \frac{I}{V} \quad (2.8)$$

- และความนำส่วนเพิ่มคือ

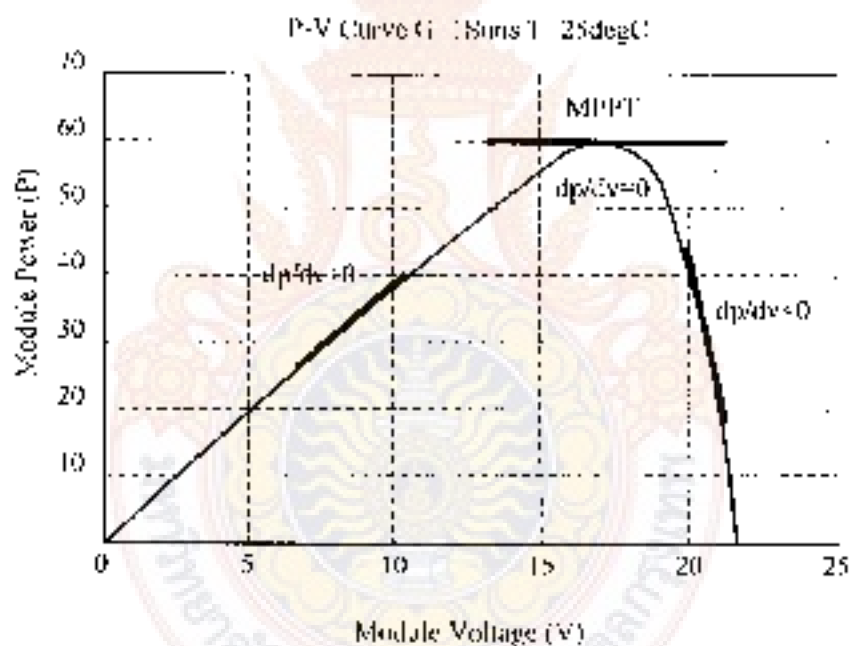
$$\Delta G_i = \frac{dI}{dV} \quad (2.9)$$

โดยปกติแผงโฟลโตvoltaic จากแผงเซลล์แสงอาทิตย์จะมีค่าเป็นบวก จากสมการที่ (2.9) แสดงว่าแรงดัน (V) จุดปฏิบัติงานจะอยู่ที่ค่าแรงดันที่จุดให้กำลังไฟฟ้าสูงสุด ถ้าความน่าเชื่อถือมากกว่าความนำส่วนเพิ่ม ดังนั้นหน้าที่หลักของอัลกอริทึมคือต้องตรวจสอบการค้นหาค่าจุดปฏิบัติงานของแรงดัน (V) ความน่าเชื่อถือเกี่ยวกับความนำส่วนเพิ่ม โดยหลักการจึงกล่าวตามภาพแสดงได้ดังนี้

$$\frac{dP}{dV} > 0; \text{ ถ้า } G > \Delta G$$

$$\frac{dP}{dV} = 0; \text{ ถ้า } G = \Delta G$$

$$\frac{dP}{dV} < 0; \text{ ถ้า } G < \Delta G$$



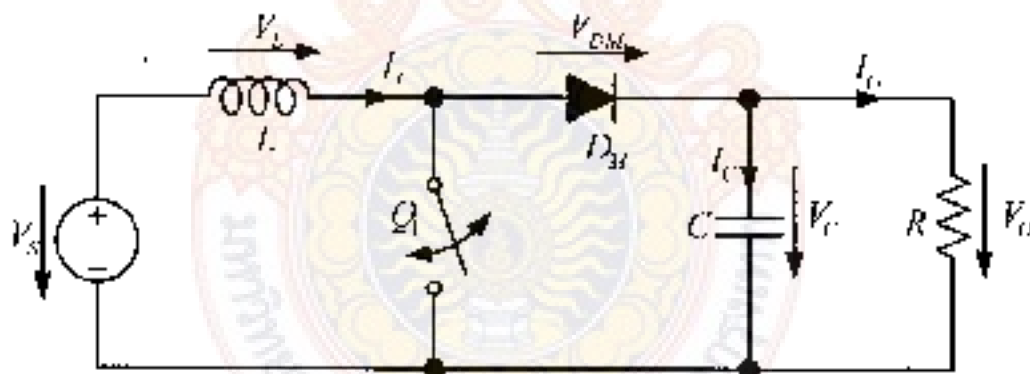
รูปที่ 2.8 จุดปฏิบัติงานที่แรงดันให้กำลังไฟฟ้าสูงสุด และจุดปฏิบัติงานที่ค่ากว่าและสูงกว่าแรงดันที่จุดให้กำลังไฟฟ้าสูงสุด จากเส้นโค้งกำลังไฟฟ้า-แรงดัน (P-V)

ซึ่งอัลกอริทึมนี้ถูกใช้ในการติดตามจุดกำลังไฟฟ้าสูงสุดของแผงเซลล์แสงอาทิตย์ที่จุดปฏิบัติงานที่สูงที่สุด การซาร์จของกระบวนและการแปรผันของกระแสและ แรงดันจะเกิดขึ้นเสมอ จากอัลกอริทึมที่มีการแสดงทางคณิตศาสตร์ที่ถูกต้องข้างนี้ ถ้า $\frac{dP}{dV} = 0$ เพราะฉะนั้น $G = \Delta G$

ซึ่งหมายความว่ามีการสูญเสียที่งานที่จุดให้กำลังไฟฟ้าสูงสุด ไม่มีการกระทำใดที่จะทำให้ค่าตัวที่ "ไหลกลับ" ซึ่งให้ผลในแง่ของสมรรถนะตามตัวอักษร หรือที่ง่าย ๆ หนึ่ง $G > \Delta G$ ค่าใช้จ่ายส่วนเพิ่มขึ้น ารหน่วยหรือลดลง ๑ หน่วย มี $G < \Delta G$ ดังนั้นในงานวิจัยนี้จึงนำเสนอทฤษฎีการติดตามจุดให้กำลังไฟฟ้าสูงสุดโดยใช้ทฤษฎีการนำส่วนเพิ่ม ด้วยเหตุผลที่ว่าส่วนในเขตต่อไปก็ส่วนเชิงทฤษฎี และหลักการที่งานของวงจรแปลงผัน ซึ่งก็คือวงจรแปลงผันไฟตรงแบบบูสต์เพื่อใช้ในการยกกระแสแรงดันแล้วจุดให้สามารถติดตามจุดให้กำลังไฟฟ้าสูงสุด

2.4 บูสต์ดีซีทูดีซีคอนเวอร์เตอร์ (Boost DC to DC Converter)

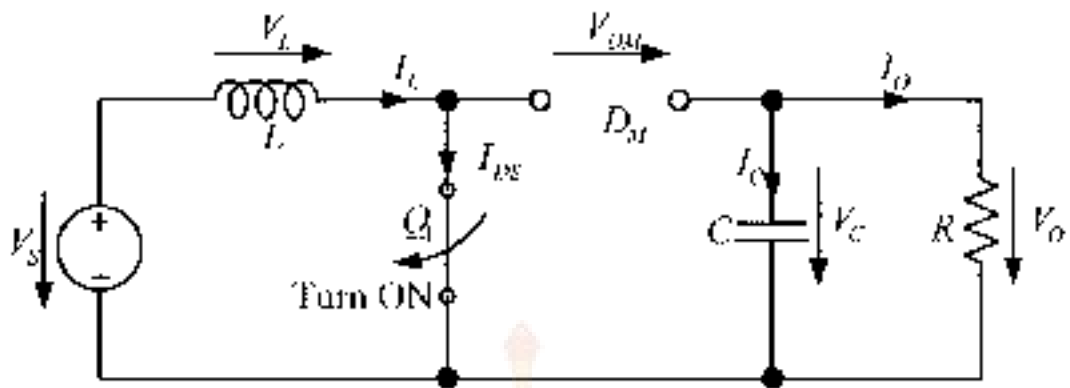
บูสต์ดีซีทูดีซีคอนเวอร์เตอร์เป็นสวิตชิงอิเล็กทรอนิกส์หนึ่งที่ทำงานได้ โดยใช้อุปกรณ์กึ่งตัวนำและอุปกรณ์ความถี่สูงต่างๆจะทำหน้าที่เปลี่ยนระดับแรงดันแรงดันเข้าให้สูงกว่าระดับแรงดันขาออก โดยอาศัยคุณสมบัติของตัวเหนี่ยวนำความถี่สูง ในการเก็บและคายพลังงาน ทำให้ระดับแรงดันเอาต์พุตสูงกว่าระดับแรงดันอินพุตหรือจะเรียกว่า "สเต็ปอัพคอนเวอร์เตอร์" (Step-up Converter) ซึ่งจะประกอบไปด้วย 2 ส่วนหลัก ๆ ด้วยกัน คือ ส่วนของวงจรกำลัง ประสิทธิภาพด้วยตัวเหนี่ยวนำความถี่สูง ตัวเก็บประจุตัวนำเอาต์พุต ไดโอดกำลัง ยุคแรกทำหน้าที่สวิตช์ วงจรยกแรงดัน และอีกส่วนคือวงจรควบคุม การทำงานของคอนเวอร์เตอร์เพื่อรักษาระดับแรงดันเอาต์พุตให้คงที่ การวิเคราะห์วงจรคอนเวอร์เตอร์ใหม่ลดกระแสไฟฟ้าไหลมากต่อเนื่อง



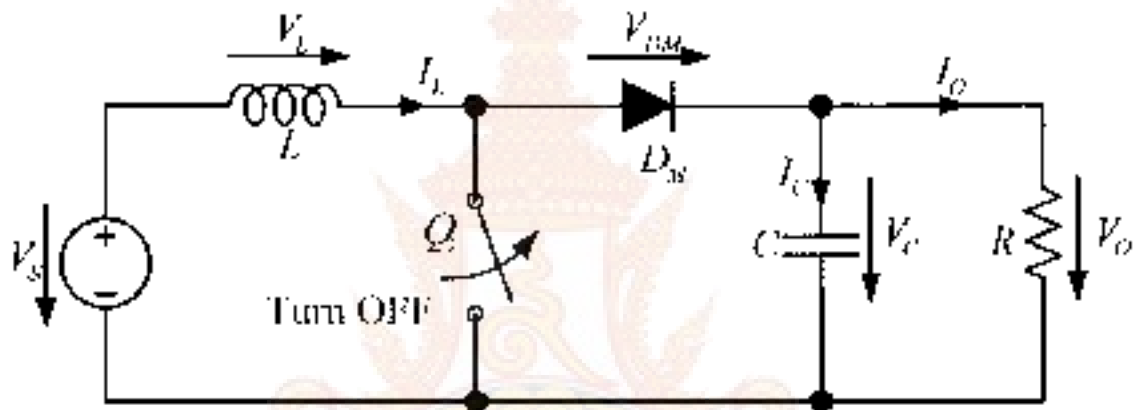
รูปที่ 2.9 วงจรสมมูลของวงจรบูสต์ดีซีทูดีซีคอนเวอร์เตอร์

2.4.1 หลักการทำงานของวงจรบูสต์คอนเวอร์เตอร์

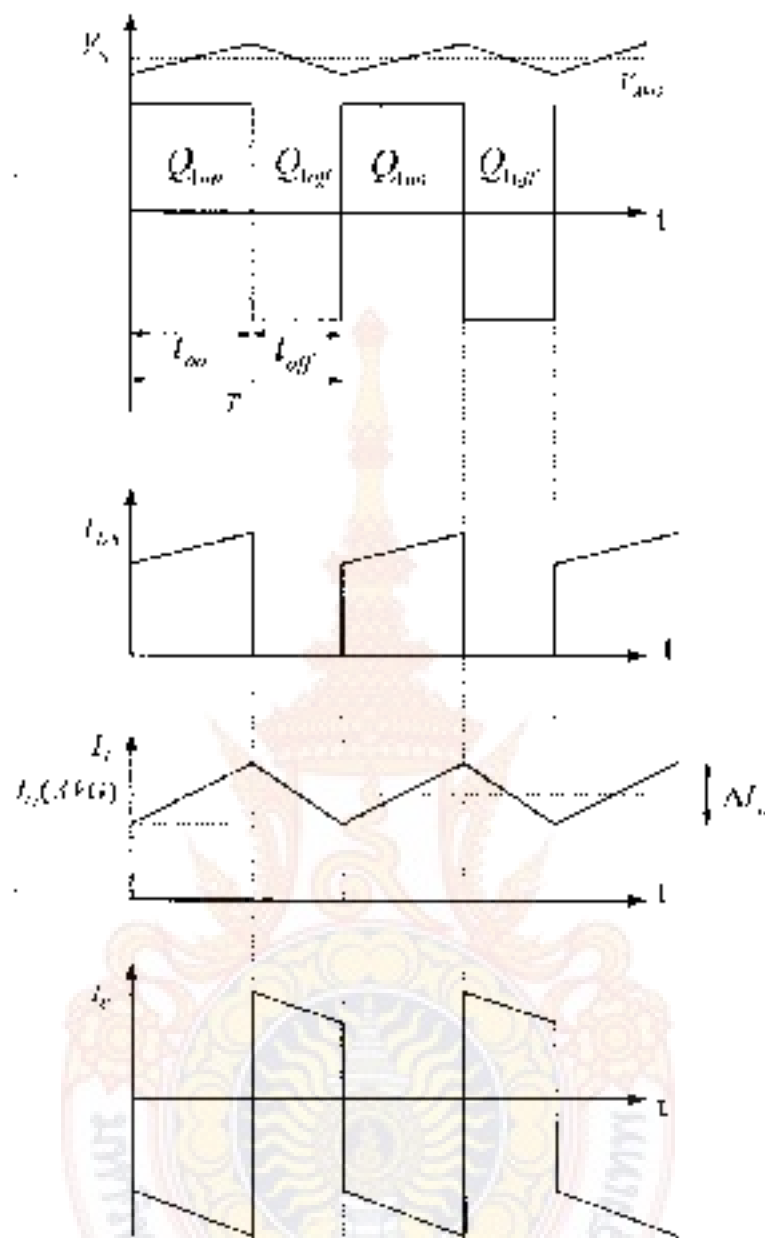
หลักการการทำงานของวงจรบูสต์คอนเวอร์เตอร์เพื่อให้ได้แรงดันไฟฟ้าด้านออกสูงกว่าตัวกลางจะเริ่มต้นจากข้อจำกัดที่ว่า แรงดันไฟฟ้าเฉลี่ยตลอดตัวเหนี่ยวนำในระยะเวลาจะเท่ากันศูนย์ และสามารถหากระแสไฟฟ้าที่ไหลผ่านตัวเหนี่ยวนำได้โดยวิเคราะห์การทำงานของตัวเหนี่ยวนำและโหมต ทั้งนี้การทำงานของตัวเหนี่ยวนำในช่วงเวลาของตัวเหนี่ยวนำ



รูปที่ 2.10 วงจรการทำงานขณะของวงจร buck converter ที่เปิดสวิตช์



รูปที่ 2.11 วงจรการทำงานขณะของวงจร buck converter ที่ปิดสวิตช์



รูปที่ 2.12 สัญญาณแรงดันกระแสของวงจรอินเวอร์ตีสี่ขั้วครึ่งคลื่นเวกเตอร์

2.4.1.1 วิเคราะห์เมื่อยังสวิตช์ปิด

โดยที่ t ($0 < t \leq t_{on}$) มอดเฟส Q_1 ทำงานสวิตช์เปิด ($v = 0$) กระแสอินพุทไหลผ่าน มอดเฟส Q_2 และตัวเหนี่ยวนำทำให้กระแสของตัวเหนี่ยวนำเพิ่มขึ้นจาก I_1 ที่ $t=0$ เป็นเวลา t_1 ที่ $t=t_1$ โดยที่โหลด R_L จะถูกใช้ สลับแล้วตัวเก็บประจุจะรีเซ็ตค่าประจุให้กลับไหลกลับในช่วงเวลา $(0 < t \leq t_{off})$ ค่าแรงดันอินพุทมีค่าเท่ากับแรงดันต้นเครื่องด้วยเงื่อนไขมาดังสม.การที่ (2.10)

$$V_s - V_o = L \frac{I_2 - I_1}{t_{on}} = \frac{L\Delta I}{t_{on}} \quad (2.10)$$

สามารถที่จะหาค่าเวลาในช่วงที่เพาเวอร์มอสเฟต Turn ON ได้จากสมการที่ (2.11)

$$t_{on} = \frac{L\Delta I}{V_s} \quad (2.11)$$

พลังงานที่สะสมในตัวเหนี่ยวนำสามารถหาได้จากสมการที่ (2.12)

$$E = \frac{1}{2} L (\Delta I)^2 = \frac{1}{2} L V_s^2 t_{on}^2 \quad (2.12)$$

2.4.1.2 วิเคราะห์เมื่อสวิตช์เปิด

โหมด 2 ($0 < t < t_{on}$) มอสเฟต (M) ทำการสวิตช์เปิด ($t = t_1$) แรงดันเหนี่ยวนำที่ตกคร่อมค่าของตัวเหนี่ยวนำซึ่งต่ออนุกรมอยู่กับแรงดันอินพุต ทำให้เกาต์พูนมีค่ามากขึ้นจนทำให้ D_{on} ทำงานกระแสอินพุตไหลผ่านตัวเหนี่ยวนำ ประกอบด้วยกระแสอินพุต (I_1) และกระแสของตัวเหนี่ยวนำ (I_2) ซึ่งกระแสของตัวเหนี่ยวนำทำให้เกิดการเคลื่อนที่ของประจุในตัวเหนี่ยวนำ กระทั่งมอสเฟต (M) ทำการนำเอาไดโอด D_{on} ง่ายให้กับโหลดและชาร์จประจุให้แก่ตัวเก็บประจุเป็นผลให้ I_2 ตกอยู่ในช่วงเวลา t_2

$$V_s - V_o = L \frac{I_2 - I_1}{t_{on}} \quad (2.13)$$

$$V_o = V_s - L \frac{\Delta I}{t_{on}} \quad (2.14)$$

สามารถที่จะหาค่าเวลาในช่วงที่เพาเวอร์มอสเฟต Turn OFF ได้จากสมการที่

$$t_{off} = L \frac{\Delta I}{V_o - V_s} \quad (2.15)$$

การเปลี่ยนแปลงของกระแสไหลในตัวเหนี่ยวนำระหว่างเกตต์ (กระแสหยุดนิ่งยอด (Peak to - Peak) ที่กระแสเพิ่มขึ้นเมื่อพิจารณาประสิทธิภาพของที่โดยให้ช่วงเวลา t_{on} และ t_{off} จากสมการที่ (2.11) และ (2.15) มีค่าเท่ากับ ค่าพหุคูณกระแสสลับเพื่อจะได้ดังนี้

$$\Delta I = \frac{V_s t_{on}}{L} - \frac{(V_o - V_s) t_{off}}{L} \quad (2.16)$$

แทนค่า $t_{on} = DT$ และ $t_{off} = (1 - D)T$ ในสมการที่ (2.16)

$$V_s DT = (V_o - V_s)(1 - D)T - V_o(1 - D)T + V_s(1 - D)T \quad (2.17)$$

จากสมการที่ (2.17) เมื่อยกค่าให้ลู่ในรูปอย่างง่ายได้

$$V_s DT = V_o(1 - D)T - V_s T + V_s DT \quad (2.18)$$

$$V_o = V_s(1 - D) \quad (2.19)$$

ดังนั้นแรงดันเอาต์พุตเฉลี่ยจากวงจรบัสต์คอนเวอร์เตอร์จะได้ดังสมการที่ (2.20)

$$V_o = \frac{V_s}{1 - D} \quad (2.20)$$

สมการที่ (2.20) แสดงถึงแรงดันเอาต์พุต ถ้าสวิตช์เปิดตลอดเวลาและ D มีค่าเป็นศูนย์แรงดันเอาต์พุตจะมีค่าเหมือนกับแรงดันอินพุต ขณะที่ตัวไดโอดเพิ่มเข้ามาในส่วนในสมการที่ (2.20) จะมีขนาดเล็กลงและเอาต์พุตจะมีค่าแรงดันมากกว่าอินพุต แรงดันเอาต์พุตจะมีค่าเปลี่ยนแปลงตามแรงดันอินพุตและค่าตัวไดโอดคือ $\frac{1}{1 - D}$ ขณะที่ตัวไดโอดเพิ่มเข้ามาอีก 1 แรงดันเอาต์พุตจะมีค่าเข้าใกล้อนันต์ (infinitely) หากพิจารณาเอาต์พุตที่สัมพันธ์กับอินพุตเท่ากับตัวเอาต์พุตจะได้ว่า

$$V_o I_o = V_s I_s \quad (2.21)$$

แทนค่าแรงดันเอาต์พุตจากสมการที่ (2.20)

$$V_s I_s = \frac{V_s I_o}{1 - D} \quad (2.22)$$

ดังนั้นกระแสเกินพุดเฉลี่ย จะได้

$$I_y = \frac{I_o}{1-D} \quad (2.23)$$

บรรจุกำลังจะทำงานในรูปของคาบเวลา ในหนึ่งคาบเวลาจะประกอบไปด้วยช่วงเวลา t_{on} และ t_{off} ดังนั้นค่าของคาบเวลาจะได้

$$T = \frac{1}{f} = t_{on} + t_{off} = \frac{L\Delta I}{V_s} = \frac{L\Delta I}{V_o - V_s} + \frac{f(L\Delta I)V_o}{V_s(V_o - V_s)} \quad (2.24)$$

เมื่อกำหนดสมการที่ (2.24) ใหม่จะได้ค่ากระแสและกระแสเกินของตัวเหนี่ยวนำดังสมการที่ (2.25)

$$\Delta I = \frac{V_s(V_o - V_s)T}{LK_s} = \frac{V_s [V_s / (1-D) - V_o]}{fL K_s} \quad (2.25)$$

และจะได้ค่าตัวเหนี่ยวนำที่ใช้ในวงจรพุดตัวที่จุดที่ถ่วงเวลาตัวเหนี่ยวนำดังสมการที่ (2.26)

$$L = \frac{V_s D}{f \Delta I} \quad (2.26)$$

2.4.1.3 แรงแดันกระเพื่อมที่เอาต์พุต (Output Voltage Ripple)

การทำงานของวงจรพุดตัวถ่วงเวลาตัวเหนี่ยวนำนี้จะต้องได้แรงดันเอาต์พุตที่สูงกว่าแรงดันอินพุต ก็ไม่เป็นเช่นนั้นแสดงว่าตัวเหนี่ยวนำไม่คายพลังงานเสริมแรงคืนอินพุต เมื่อสวิตช์ Turn ON แรงดันเอาต์พุตจะลดลงจากการคายประจุของตัวเก็บประจุที่ขงสวิตช์เพียงอย่างเดียว เพราะฉะนั้นขนาดของตัวเก็บประจุจะขึ้นอยู่กับขนาดของแรงดันเอาต์พุตและโหมดการทำงาน ดังนั้นจึงจำเป็นที่จะให้ขนาดของตัวเก็บประจุมีขนาดใหญ่เพียงพอที่จะให้ขนาดของแรงดันกระเพื่อมทางด้านเอาต์พุตมีขนาดลดลง

ตัวเก็บประจุจะคายพลังงานให้เอาต์พุตในช่วงเวลาที่สวิตช์ Turn on และพาส์เก็บประจุได้จากการชาร์จเอาต์พุตในช่วงเวลาพักแล้ว

$$\Delta V_o = V_c - V_c(0) = \frac{1}{C} \int I_c dt = \frac{I_{off} t}{C} \quad (2.27)$$

หากพิจารณาจากช่วงเวลา t_w ในคอนเวกเตอร์จะมีความถี่ในการสวิตช์เมื่อพิจารณาให้อยู่ในกรอบของเฮิร์ตซ์ซึ่งจะได้จากสมการที่ (2.29) และพิจารณาความถี่ด้วยจะได้

$$V_o = \frac{V_s}{1-D} - \frac{V_s T}{DT} = \frac{V_s}{T-t_w} \quad (2.28)$$

$$T \cdot t_w = \frac{V_s T}{V_o} \quad (2.29)$$

$$t_w = T \cdot \frac{V_s T}{V_o} = \frac{V_o - V_s}{f V_o} \quad (2.30)$$

แทนค่า t_w ในสมการที่ (2.30) ลงในสมการที่ (2.28) จะได้

$$\Delta V_o = \frac{L_o(V_o - V_s)}{V_o R} = \frac{L_o(V_o - V_s)}{f C V_s (1-D)} \quad (2.31)$$

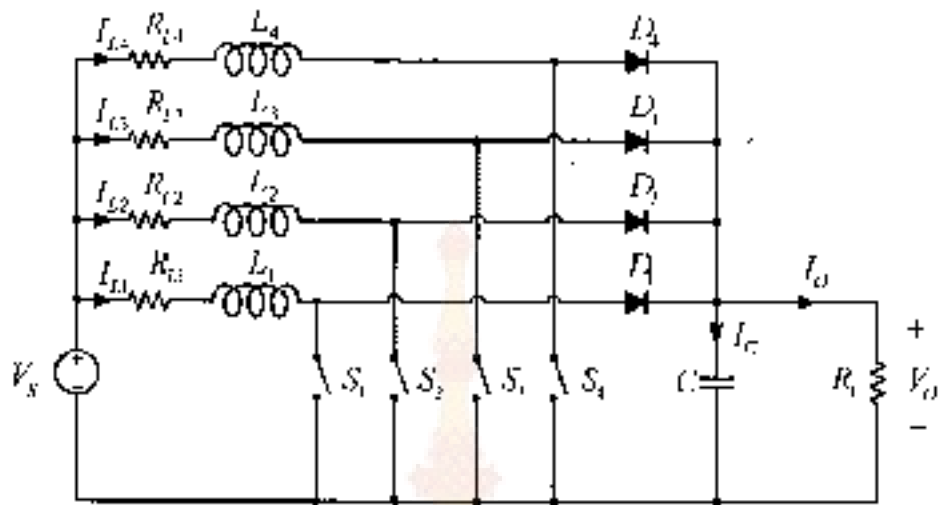
จากสมการที่ (2.31) เขียนให้อยู่ในรูปอย่างง่ายจะได้

$$\Delta V_o = \frac{[L_o(V_o - V_s) / (1-D)]}{f C V_s (1-D)} = \frac{t_w D}{f C} \quad (2.32)$$

ดังนั้นตัวเก็บประจุทางด้านแคโทดของขั้วต่ออินเวอร์เตอร์จะหาได้จากสมการต่อไปนี้

$$C = \frac{L_o D}{f \Delta V_o} \quad (2.33)$$

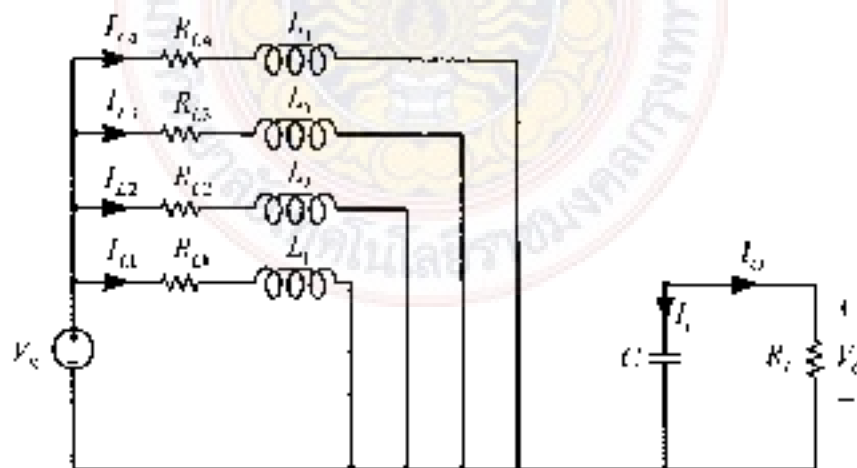
2.4.2 วงจรบูสต์ดีซีที่บูสต์ขึ้นก่อนแวลวอเตอร์แบบขนาน



รูปที่ 2.13 วงจรบูสต์ดีซีที่บูสต์ขึ้นก่อนแวลวอเตอร์แบบขนาน

จากรูปที่ 2.13 จากการพิจารณาวงจรบูสต์ดีซีดังกล่าวจะเห็นความสัมพันธ์แรงดันและกระแส โดยให้หลักการพิจารณาเหมือนกับวงจรบูสต์แบบธรรมดา ในการขนานวงจรบูสต์คอนแวลวอเตอร์สามารถที่จะขนานได้มากกว่า 2 โมดูลที่ 100% ดังนั้นกระแสที่ไหลในตัวเหนี่ยวนำหาได้จากสมการกระแสของวงจรบูสต์คอนแวลวอเตอร์ เดลิ ในงานวิจัยนี้จะมีจำนวนเพียง 4 โมดูลซึ่งสามารถเขียนเป็นสมการได้ดังนี้

2.4.2.1 วงจรสมมูลและสวิตช์ที่ ๑



รูปที่ 2.14 วงจรสมมูลและสวิตช์ที่ ๑

$$V_s = V_{R1} + V_{L1} \quad (2.34)$$

$$V_{R1} = i_{L1} R_{L1} \quad (2.35)$$

$$V_{L1} = L_1 \frac{di_{L1}}{dt} \quad (2.36)$$

$$V_s - (i_{L1} R_{L1}) = L_1 \frac{di_{L1}}{dt} \quad (2.37)$$

$$L_1 \frac{di_{L1}}{dt} = V_s - R_{L1} i_{L1} \quad (2.38)$$

$$\frac{di_{L1}}{dt} = \frac{1}{L_1} (V_s - R_{L1} i_{L1}) \quad (2.39)$$

สมการกระแสที่ไหลผ่าน i_{L1} หาได้จาก

$$i_{L1} = \frac{1}{L_1} \int (V_s - R_{L1} i_{L1}) dt \quad (2.40)$$

กระแสที่ไหลผ่าน i_{L1} และ i_{L2} ก็สามารถวิเคราะห์ได้โดยใช้วิธีเดียวกันจะได้

$$i_{L2} = \frac{1}{L_2} \int (V_s - R_{L2} i_{L2}) dt \quad (2.41)$$

$$i_{L3} = \frac{1}{L_3} \int (V_s - R_{L3} i_{L3}) dt \quad (2.42)$$

สามารถวิเคราะห์หาค่าของแรงดันได้ดังนี้คือ

$$V_C = V_o \quad (2.43)$$

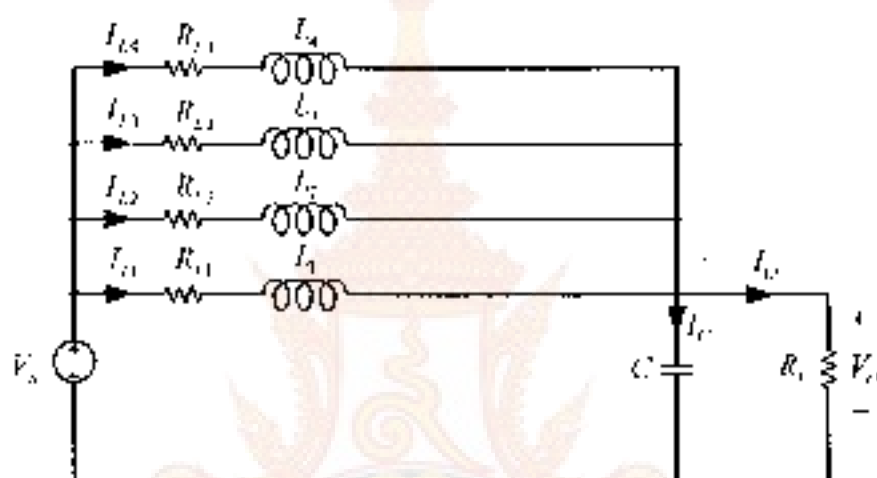
$$V_C = C \frac{dV_o}{dt} \quad (2.44)$$

$$C \frac{dV_C}{dt} = I_C \quad (2.45)$$

แรงดันทรานเซียมที่สุทธาได้จากสมการดังนี้

$$V_C = \frac{1}{C} \int (I_{L1} + I_{L2} + I_{L3}) dt \quad (2.46)$$

2.4.2.2 วงจรสมมูลขณะสวิตช์เปิด



รูปที่ 2.15 วงจรสมมูลขณะสวิตช์เปิด

เมื่อสวิตช์เปิด กระแสไฟฟ้าในตัวเหนี่ยวนำแต่ละตัวจะเปลี่ยนแปลงทันทีทันใดไม่ได้โดยทันทีจะถูก L_i ไลโซไว้ข้างหนึ่งให้กระแสไหลผ่านทันทีที่กระแสไฟฟ้าไหลลงในตัวเหนี่ยวนำแต่ละตัวอย่างค่อยเป็นค่อยไป ดังรูปที่ 2.15 สมมติแรงดันไฟฟ้าที่ด้านเอาต์พุตมีค่าคงที่ จากกฎของเคอร์ชอฟฟ์จะได้สมการของแรงดันไฟฟ้าที่ตกคร่อมตัวเหนี่ยวนำดังนี้

$$V_s = V_{L1} + V_C + V_o \quad (2.47)$$

$$V_{L1} = I_{L1} R_o \quad (2.48)$$

$$V_{L1} = L_1 \frac{di_{L1}}{dt} \quad (2.49)$$

$$V_S = (I_M R_M) + L \frac{di_M}{dt} + V_O \quad (2.50)$$

$$L \frac{di_M}{dt} = V_S - (I_M R_M) + V_O \quad (2.51)$$

$$\frac{di_M}{dt} = \frac{1}{L} (V_S - (I_M R_M) + V_O) \quad (2.52)$$

ดังนั้นกระแสไหลผ่าน i_M หาได้จากสมการ

$$i_M = \frac{1}{L} \int (V_S - (I_M R_M) + V_O) \quad (2.53)$$

ส่วนกระแสที่ไหลใน i_O และ i_{Lk} ก็สามารถหาได้ถ้าผู้ใช้กำหนดคุณสมบัติของแรงดันสามารถขึ้นตรงที่ได้จากการพิจารณาการเก็บกันของกระแสไหลเข้ากับกระแสไหลออก สามารถเขียนเป็นสมการได้ดังนี้

$$I_M + I_{Lk} + I_{Ox} = I_i - I_o \quad (2.54)$$

$$I_i = (I_M + I_{Lk} + I_{Ox}) + I_o \quad (2.55)$$

$$I_o = C \frac{dV_o}{dt} \quad (2.56)$$

ดังนั้นผลรวมของกระแสที่ไหลผ่านตัวเก็บประจุแต่ละตัวสามารถหาได้จากสมการ

$$V_o = \frac{1}{C} \int ((I_M + I_{Lk} + I_{Ox}) + I_o) dt \quad (2.57)$$

2.5 วงจรมูลตํ่าขั้วคู่ที่ติดกันเวกเตอร์เดอรัมยกขาน

การออกแบบวงจรกำลังของวงจรมูลตํ่าขั้วคู่ที่ติดกันเวกเตอร์เดอรัมยกขานจำเป็นต้องพิจารณาถึงทิศทางขั้วคู่ที่ติดกันไว้

2.5.1 ตัวเหนี่ยวนำ (Inductor)

ตัวเหนี่ยวนำเป็นอุปกรณ์ที่ใช้ทำงานโดยอาศัยคุณสมบัติทางแม่เหล็กไฟฟ้า การที่จะเข้าใจถึงการออกแบบขั้วคู่ในตัวเหนี่ยวนำจะต้องทำความเข้าใจเกี่ยวกับ ทฤษฎีทางแม่เหล็กไฟฟ้า โดยตัวเหนี่ยวนำมีหน้าที่สำคัญมากในการเก็บพลังงาน และคาย พลังงานในวงจรมูลตํ่าขั้วคู่ที่ติดกันเวกเตอร์เดอรัมยกขาน

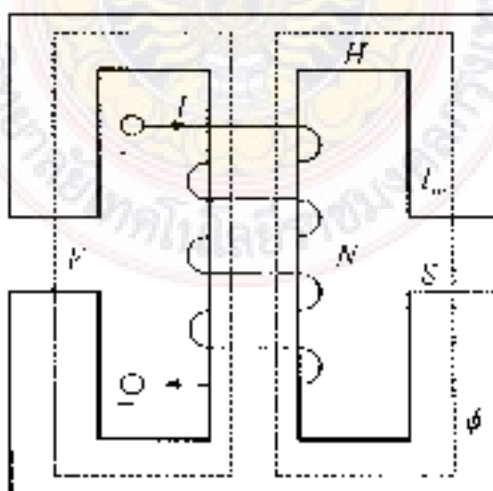
2.5.1.1 แม่เหล็กไฟฟ้าพื้นฐาน

ในทฤษฎีของแม่เหล็กไฟฟ้า กฎพื้นฐานทางแม่เหล็กไฟฟ้า พิจารณาจากกระแสของกระแสไฟฟ้าเข้าไปในเขตลวดโดยมีจำนวน N ลวดที่เกี่ยวข้องกับสนามแม่เหล็ก เวกเตอร์ตัวแรกได้แก่ ความเข้มของสนามแม่เหล็ก (Field Intensity Vector) ให้ใช้สัญลักษณ์ H มีหน่วยเป็น Ampere-turns/m ตามกฎของแอมแปร์ที่กล่าวมาแล้ว

$$H_{\text{total}} = NI \quad (2.58)$$

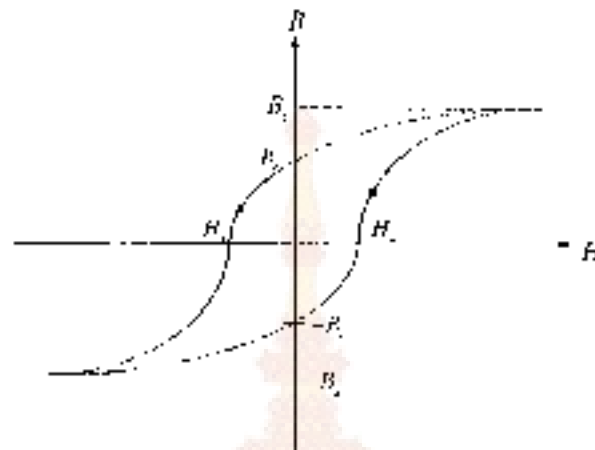
สนามเวกเตอร์อีกตัวหนึ่ง ได้แก่ ความหนาแน่นของสนามแม่เหล็ก (Flux Density) ให้ใช้สัญลักษณ์ B มีหน่วยเป็นเทสลา (Tesla) จากกฎของฟาราเดย์

$$V = -N \frac{d(BS)}{dt} = N \frac{d\Phi}{dt} = \frac{dZ}{dt} \quad (2.59)$$



รูปที่ 2.16 วงจรแม่เหล็กพื้นฐาน

กฎพื้นฐานของสารแม่เหล็กที่ให้อ่างแม่เหล็กจะให้ความสัมพันธ์ระหว่าง ความเข้มของสารแม่เหล็ก H กับความหนาแน่นเส้นแรงแม่เหล็ก B โดยทั่วไป $B = f(H)$ เป็นฟังก์ชันไม่เป็นเชิงเส้นและมีฮิสเทอรีซิสลูป ดังแสดงในรูปที่ 2.17



รูปที่ 2.17 ฮิสเทอรีซิสลูป

- เมื่อ H_2 คือ ความหนาแน่นเส้นแรงแม่เหล็กอิ่มตัว
 B_2 คือ ความหนาแน่นเส้นแรงแม่เหล็กอิ่มตัว
 H_1 คือ ความเข้มสนามแม่เหล็กค้าง

ความสัมพันธ์ระหว่าง B และ H คือของที่เป็นเชิงเส้น $B = \mu H = \mu_0 \mu_r H$

- โดยที่ μ คือ สภาพความซึมได้ (H/m)
 μ_0 คือ สภาพความซึมได้ของสูญญากาศ
 μ_r คือ สภาพความซึมได้ของอากาศ มีค่าเท่ากับ

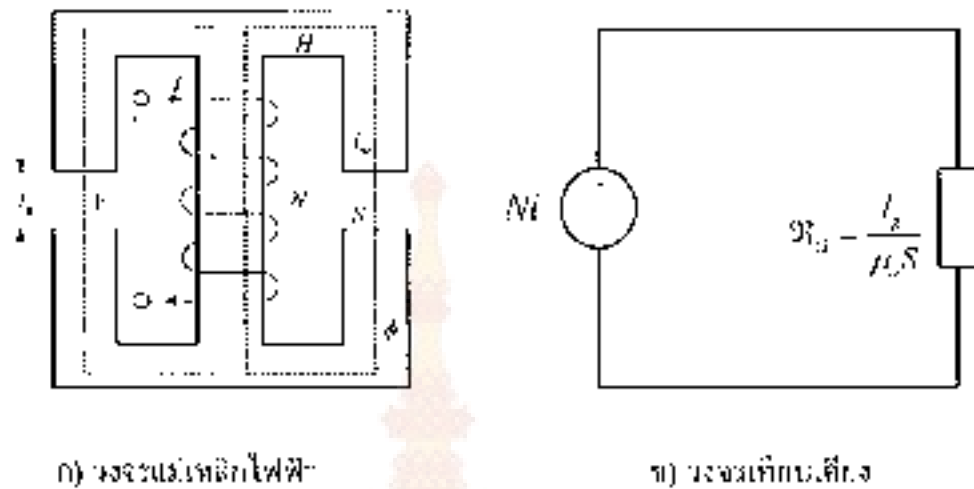
$$4\pi \times 10^{-7} \text{ H/m}$$

เมื่อจ่ายกระแสไหลผ่านสายลวดจำนวน N รอบ จะทำให้เกิดแรงเคลื่อนแม่เหล็กขึ้นแล้ว (Magnetomotive force, mmf)

$$mmf = NI \quad (2.51)$$

$$H = \frac{mmf}{l_m} = \frac{NI}{l_m} \quad (2.52)$$

สามารถเขียนวงจรแม่เหล็กไฟฟ้า (Magnetic Circuit) เทียบกับวงจรไฟฟ้า (Electric Circuit) และค่าเทียบเคียงดังรูปที่ 2.18 และตารางที่ 2.1 ตามลำดับ



ก) วงจรแม่เหล็กไฟฟ้า

ข) วงจรเทียบเคียง

รูปที่ 2.18 วงจรแม่เหล็กไฟฟ้าและวงจรเทียบเคียง

ตารางที่ 2.1 การเปรียบเทียบวงจรแม่เหล็กไฟฟ้าและวงจรไฟฟ้า

วงจรแม่เหล็กไฟฟ้า (Magnetic Circuit)	วงจรไฟฟ้า (Electric Circuit)
Current (I)	Flux (ϕ)
EMF (\mathcal{E})	mmf (\mathcal{F})
Resistance (R)	Reluctance (\mathcal{R})
Conductance (G)	Permeance (\mathcal{P})

ค่า Reluctance (\mathcal{R}) ของวงจรแม่เหล็กไฟฟ้าหาได้จาก

$$\mathcal{R} = \frac{l}{\mu S} \quad (2.60)$$

และค่ากลับของ \mathcal{R}

$$\mathcal{P} = \frac{1}{\mathcal{R}} = \frac{\mu S}{l} \quad (2.61)$$

ค่าความเหนี่ยวนำล มีหน่วยค่าได้

$$l \cdot \frac{\lambda}{l} = \frac{N\phi}{l} = \frac{N^2}{R} = N^2 P = \frac{N^2 \mu S}{l} \quad (2.62)$$

วงจรแม่เหล็กไฟฟ้าเมื่อมี Air Gap

$$\phi = \frac{NI}{\mathfrak{R}_c + \mathfrak{R}_m} = (P_c + P_m)NI \quad (2.63)$$

$$N\phi = (P_c + P_m)N^2 I \quad (2.64)$$

\mathfrak{R}_m คือ Reluctance ของแกนเหล็ก

ในทางปฏิบัติที่ $\mathfrak{R}_m \ll \mathfrak{R}_c$ ดังนั้นจะหาค่าความเหนี่ยวนำ (Inductance) ได้จาก

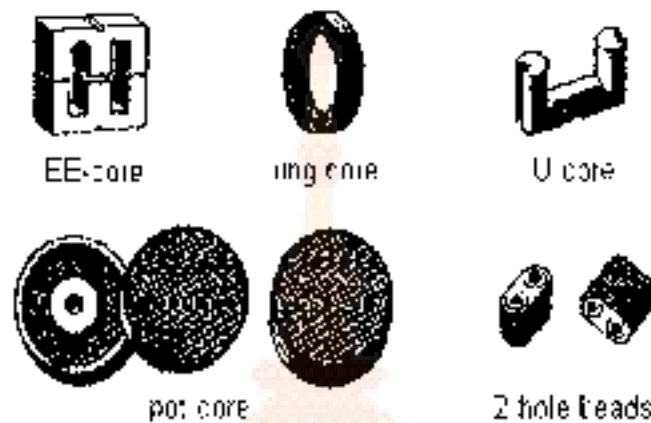
$$L = N^2 P_c = \frac{N^2 \mu_c S}{l_r} \quad (2.6b)$$

2.5.1.2 แกนเฟอร์ไรต์ (Ferrite Core)

เฟอร์ไรต์เป็นวัสดุประเภทเฟอร์โรแมกเนติก (Ferromagnetic Material) การเหนี่ยวนำแม่เหล็กบนแกนเฟอร์ไรต์ จะมีผลทำให้เกิดการเหนี่ยวนำเส้นแรงแม่เหล็กสูงกว่า การเหนี่ยวนำที่เกิดที่แกนอากาศมาก แกนเฟอร์ไรต์มีค่าสัมประสิทธิ์นำแรงแม่เหล็กค่อนข้างสูง ประมาณในช่วง 3,000 - 6,000 เกาส์ และมีค่าการสูญเสียในตัวแกนเฟอร์ไรต์ต่ำที่สุด เฟอร์ไรต์ทำมา ใช้ทำแกนของตัวเหนี่ยวนำสวิตชิงซึ่งจึงนิยมใช้แกนเฟอร์ไรต์มากที่สุด เฟอร์ไรต์ทำมา ใช้ทำแกนของตัวเหนี่ยวนำสวิตชิงจะมีรูปร่างแตกต่างกันออกไปขึ้นอยู่กับการใช้งานและมาตรฐานในการออกแบบ

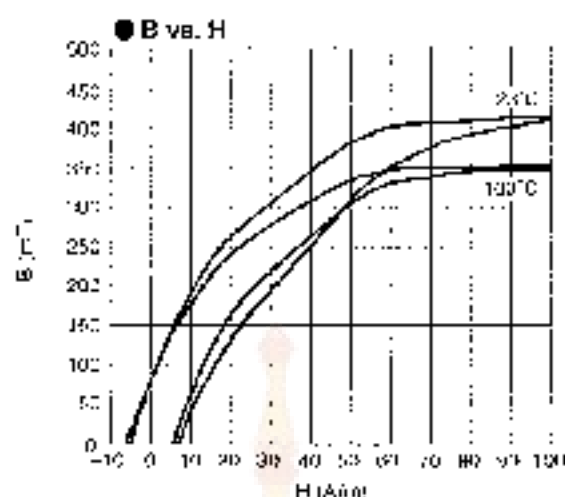
สารแม่เหล็กที่ใช้ทำแกนแม่เหล็ก มักจะเป็นผลผลึกของเหล็กหรือ เฟอร์ไรต์สารที่นิยมใช้ที่ความถี่ต่ำ (< 1MHz) ได้แก่ เหล็กผสมซิลิกอนเจือบาง (Si < 1%) ซึ่งมีความหนาแน่น เส้นแรงแม่เหล็กที่ค่าสูงแต่จะมีค่าสูญเสียมาก มีส่วนผสมซิลิกอนมีปริมาณน้อยมักจะเป็นชนิด Grain Oriented การสูญเสียจะขึ้นกับขนาดราคาที่จะแพงขึ้น นอกจากจะผสมซิลิกอนแล้วก็มีสารแม่เหล็กที่ผสมสารอื่น ๆ เช่น โคบอลต์ นิกเกิล โพลีเมอร์ เป็นต้น ซึ่งทำแกนได้ถึงความถี่ประมาณ 20kHz แต่ถ้าหากหาแพงกว่าเหล็กผสมซิลิกอนมาก เฟอร์ไรต์โพเซรามิกจะครอบคลุมได้ด้วย ออกไซด์ของเหล็ก สังกะสี แลแมงกานีส หรือนิกเกิล เฟอร์ไรต์ชนิด MnZn มีความหนาแน่น เส้นแรงแม่เหล็กสูงกว่าชนิด NiZn แต่สามารถถึงความถี่ประมาณ 1MHz ซึ่งต่ำกว่าชนิด NiZn ซึ่งทำแกนได้ถึง 1MHz เฟอร์ไรต์มีหลากหลายชนิดตามแต่ละสูตร

ผสมและมีเลขรหัสต่าง ๆ เช่น GH20 7H10 และ 3C6 เป็นต้น แทนเพอร์ไวไรต์สำหรับแหล่งจ่ายไฟสวิตชิ่งโดยทั่วไปจะดูตามลักษณะยาวที่ขาคัด และรูขุมทองต่าง ๆ ตามเลขรหัสดังกล่าว เช่น แทนแบบ EI FF FFR หรือแทนแบบ POT เป็นต้น ปกติผู้ผลิตจะกำกับแกนเฟอร์ไรต์โดยออกมาในลักษณะประกอบคู่ เพื่อความสะดวกในการประกอบเข้ากับบอเป็น



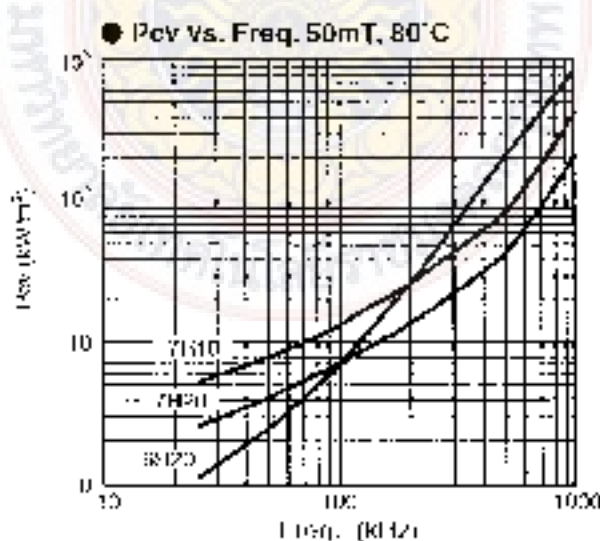
รูปที่ 2.19 ลักษณะของแกนเฟอร์ไรต์แบบ ต่าง ๆ

ลักษณะสมบัติของวัสดุสารที่ใช้ทำแกนเฟอร์ไรต์ชนิดของเนื้อสารแกนเฟอร์ไรต์ที่แตกต่างกันจะให้ คุณสมบัติทางแม่เหล็กของแกนเฟอร์ไรต์ที่แตกต่างกันด้วย ถึงแม้จะมีขนาดเท่ากันทุกประการก็ตาม ในแผ่นข้อมูล เนื้อสารที่นำมา กับแกนเฟอร์ไรต์นั้น จะต้องข้รายละเอียด คุณสมบัติของเนื้อสารแสดงไว้เสมอ ข้อมูลที่สำคัญควรจะทำความเข้าใจและศึกษาไว้ก็คือ เส้นโค้งฮิสเตอรีซิส (Hysteresis Curve) และค่าการสูญเสียของแกนเฟอร์ไรต์ (Core Loss) เส้นโค้งฮิสเตอรีซิสจะแสดงความสัมพันธ์ระหว่างค่าความหนาแน่นเส้นแรงแม่เหล็ก (B) ที่เกิดขึ้นในแกนเฟอร์ไรต์กับความเข้มของสนามแม่เหล็ก (H) ที่เกิดจากการเหนี่ยวนำของขดลวดที่พันบนแกนเฟอร์ไรต์ รูป ที่ 2.20 จะแสดงเส้นโค้งฮิสเตอรีซิสของแกนเฟอร์ไรต์จากกูจะเห็นได้ว่าค่าความหนาแน่นเส้นแรงแม่เหล็กจะมีความมากขึ้น เมื่อความเข้มของสนามแม่เหล็กมีค่าเพิ่มขึ้นจนถึงจุดหนึ่งซึ่งค่าความหนาแน่นเส้นแรงแม่เหล็ก มีค่าเพิ่มขึ้นน้อยมาก แม้ว่าจะมีการเพิ่มขึ้นของแม่เหล็กของสนามแม่เหล็กแล้วก็ตาม จากจุดดังกล่าวจะเรียกว่าแกนเริ่มมีลักษณะตัวของหลักแม่เหล็ก โดยปกติผู้ผลิตจะแสดงกราฟค่าคงตัวโค้งฮิสเตอรีซิสเพียงครั้งเดียว เนื่องจาก อีกครั้งหนึ่งของเส้นโค้งฮิสเตอรีซิสจะมีลักษณะเหมือนกันทุกประการ เพียงแต่จะมีลักษณะกลับทิศทางกันเท่านั้น จากรูปที่ 2.19 ขาวสีงานร องแกนเฟอร์ไรต์ในส่วนเหนือ วงจรควักกำหนดค่าของ ความแม่เหล็กแม่เหล็กที่เกิดขึ้นในแกนขณะทำงานมีค่าไม่เกินครึ่งหนึ่งของค่าความหนาแน่นเส้นแรงแม่เหล็ก สูงสุดก่อนเดิมตัวของแกนเฟอร์ไรต์เพื่อลดภาวะปลดปล่อย



รูปที่ 2.20 เวกเตอร์ฮิสเทอรีซิสของแกนเฟอร์ไรต์

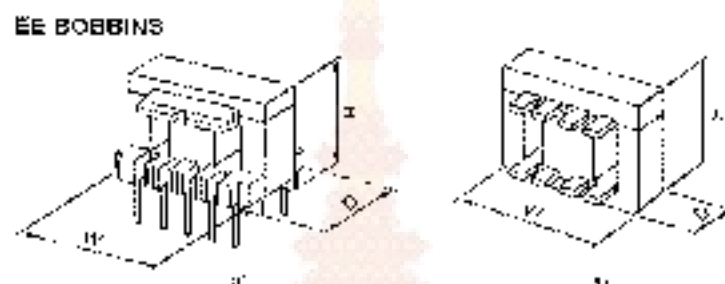
ค่าการสูญเสียในแกนเฟอร์ไรต์ (Core Loss) การสูญเสียที่เกิดขึ้นในแกนเฟอร์ไรต์จะทำให้แกนเฟอร์ไรต์ร้อน ซึ่งมีสาเหตุหลัก 2 ประการ คือ การสูญเสียที่เกิดจากลักษณะ ฮิสเทอรีซิสของแกน (Hysteresis Loss) และการสูญเสียจากการเกิดกระแสแฉะไหลวนในแกนเฟอร์ไรต์ (Eddy Current Loss) ที่ความถี่ 100kHz การสูญเสียจากการเกิดกระแสไหลวนในแกนจะมีความถี่สูงสำหรับแกนที่มีขนาดใหญ่ไม่มากนัก ดังนั้นการสูญเสียที่เกิดจากความร้อนในลักษณะนี้จะสามารถแก้ไขได้จากการสูญเสียทางฮิสเทอรีซิสของแกนเพียงอย่างเดียว ตัวอย่างกราฟแสดงค่าการสูญเสียที่เกิดขึ้นในแกนเฟอร์ไรต์แสดงไว้ในรูปที่ 2.21 ยกเว้นค่าการสูญเสียจะถูกระบุไว้เป็นกิโลวัตต์ต่อหนึ่งลูกบาศก์เมตร (kW/m^3) และมีค่าขึ้นกับค่าความหนาแน่นของกระแสแม่เหล็ก ความถี่ในการใช้งานรวมถึงอุณหภูมิขณะใช้งานของแกนเฟอร์ไรต์



รูปที่ 2.21 ค่าการสูญเสียในแกนเฟอร์ไรต์ของเม็ดสารชนิด 6H120 7H20 และ 7H10

2.5.1.3 ขอบบิ้น (Bobbin)

ขอบบิ้นหรือแกนกรองพัน ปกติทำจากพลาสติก ชนิดทนความร้อนได้สูง และไม่ติดไฟ ขอบบิ้นจะช่วยให้การพันขดลวด บนแกนเฟอร์ไรต์สะดวกขึ้น และมีข้อดีอีกปัญหาการลัดวงจรระหว่างขดลวดและแกนเฟอร์ไรต์ ขอบบิ้นจะมีขนาดมาตรฐานตามมาตรฐานของแกนเฟอร์ไรต์ตัวคูณลักษณะและขนาดของขดลวดกันดูได้จากรูปที่ 2.22 และตารางที่ 2.2 ขอบบิ้นส่วนใหญ่จะถูกออกแบบให้ใช้กับขดลวดทองแดง เพื่อความสะดวกในการพันขดลวดและการใช้กรีสติดกับแผ่น PCB



รูปที่ 2.22 ลักษณะขอบบิ้นของแกนเฟอร์ไรต์

ตารางที่ 2.2 ขนาดขอบบิ้น

Part No.	No. of poles/turn	Dimensions (mm)		
		W	H	D
DE-8-118CPH	0	6.9	9	8
DE-10-119CPS	3	10.4	10.2	11.2
UL-13-1110CPS	10	13.2	13.7	12.1
UL-16-115CP	6	16.3	13.1	14.6
UL-16-1110CFN	10	16.3	13.1	16.6
HE-16-118CPH	8	16.5	14.8	13.8
DL-16-1110CPS	10	16.3	14.1	16.3
DE-18-113CP	6	26.3	18.7	16.2
HE-18-118CPH	8	20.3	16.2	19.8
BH-22-118CP	8	22.3	17.1	20.1
SF-30-1110CF	10	30.4	25.1	28.8
HI-30-1112CF	12	30.4	25.1	28.8
SH-40-1112CF	12	40.5	30.2	35.8
HF-40-1112CFH	12	40.5	30.2	35.7
GE-60-1112CF	12	60.7	36.2	43.6
HF-50 (57x105-11) 2x1/4	12	52	37	46.7
RF-60-1112CF	12	60.8	45.2	45.3
RF-62.3x62.6-11 2x1/4	12	62	48	46.2

* Material: FR phenol, UL Grade 94V-0, Pipemaker Steelwire (508mm pitch)

2.5.1.4 สายทองแดงลวดนำไฟฟ้า (Copper Wire)

การหาค่าผลเสวยของตัวเหนี่ยวนำลวดซึ่งปกคลุมจะใช้ผลของแรงต้านไฟฟ้าพื้นผิวแปรผกผันกัน เพื่อให้ได้จำนวนลวดตามต้องการ ขนาดของลวดลวดทองแดงที่จะใช้พื้นผิวขึ้นอยู่กับกระแสไฟฟ้าไหลผ่านลวดลวด ความถี่ และผลข้างเคียงอื่น ๆ

2.5.1.5 เทปฉนวน (Insulation Tape)

เทปฉนวนใช้หุ้มลวดหรือเป็นตัวรอง ระหว่างวงชั้นของขดลวดในหัวเหนี่ยวนำลวดซึ่ง และมีความสำคัญในการป้องกันความเสียหายของขดลวด และทำให้ขดลวดมีความแข็งแรง บิดงอที่ใช้มี เทปฉนวนบางเป็นพาราไมลาร์ (Mylar) หรือโพลีเอสเตอร์ (Polyester) ที่มีความหนาอยู่ในช่วง 0.05-0.1 มิลลิเมตร การเลือกใช้จะขึ้นอยู่กับการออกแบบและความปลอดภัยที่ลดลงมาจากตัวเหนี่ยวนำลวดซึ่งเป็นหลัก

2.5.2 การออกแบบตัวเหนี่ยวนำ (Inductor)

2.5.2.1 ข้อจำกัดในการออกแบบตัวเหนี่ยวนำลวดซึ่ง

1. ขนาดและรูปทรงรวมทั้งการเลือกของกระแสและแรงดัน
2. กำแพงขดลวดเล็ก ประสิทธิภาพหรืออุณหภูมิที่เพิ่มขึ้น
3. คุณสมบัติทางไฟฟ้าและเชิงกลอื่น ๆ

2.5.2.2 ข้อจำกัดในการออกแบบตัวเหนี่ยวนำลวดซึ่ง

1. ความหนาแน่นสนามแม่เหล็กที่มีค่าของแกนเหล็ก
2. กำลังงานสูญเสียในสภาพของแกนหรือแกนเหล็ก
3. คุณสมบัติอื่น ๆ เช่น Permeability (μ) เป็นต้น

โดยมีสมการของการออกแบบดังนี้

$$K_{ind} = \frac{\phi_{max}}{S} = \frac{A_{max}}{SN} = \frac{LI_{rms}}{SW} \quad (2.66)$$

จากที่จำกัดการลดลงของแรง โดยคำนึงถึงความสูญเสียเล็ก (Copper loss P_{cu})

$$P_{cu} = I_{rms}^2 R \quad (2.67)$$

โดยที่ค่า R หาได้จาก

$$R = \rho \frac{l}{A_c} \quad (2.68)$$

2.5.5 การเลือกห้วงที่ กำหนดขนาดแกนเหล็กโดยใช้วิธีการคำนวณแบบ A_p (Area Approach)

วิธีนี้ใช้สำหรับออกแบบที่ให้อำนาจ T_{max} ซึ่งอาศัยความหนาแน่นของกระแสของลวดตัวนำ ($J = 100 - 1000 A/cm^2$) โดยคำนวณหาขนาดของแกนเหล็กดังนี้

$$N = \frac{I_{msc}}{B_{max} S} \quad (2.69)$$

$$kW = \frac{NI_{msc}}{J} = NA_p \quad (2.70)$$

แทนค่า N จะได้

$$A_p = \frac{I_{msc} I_{msc}}{B_{max} JS} \quad (2.71)$$

เพราะฉะนั้นจะได้ว่า

$$A_p = WS = \frac{I_{msc} I_{msc}}{B_{max} Jk} \quad (2.72)$$

โดยวิธีการออกแบบดังนี้

1. จากข้อกำหนดและวิธีจำกัด จำนวนห้วงค่า A_p จากสมการที่ (2.72)
2. เลือกขนาดของแกนให้มีขนาดมากกว่า A_p ที่ได้จากการคำนวณในข้อที่ 1
3. คำนวณห้วงรอบของขดลวดตัวเหนี่ยวนำ (N) จากสมการที่ (2.71)
4. คำนวณหาขนาดของลวดตัวนำ A_w จากสมการที่ (2.71)
5. เลือกเบอร์ลวดทองแดงให้มี A_w ใหญ่กว่า A_w ที่คำนวณได้จากข้อที่ 4 ซึ่งทำได้โดย การเลือกเบอร์ลวดที่รัศมีน้อยกว่าค่าความถี่ความถี่ความถี่สูงที่สุดที่ใช้งานนำมาพิจารณาก็มี A_w ตามที่เลือกไว้

$$\xi(m) = \frac{12\rho}{\sqrt{JkW}} \quad (2.73)$$

เมื่อ $\xi(m)$ คือ ค่าความถี่กั้วทองแดง

$$\rho \quad \text{มีค่าเท่ากับ } \frac{1}{56 \times 10^6} \Omega$$

μ มีค่าเท่ากับ $\mu_0 \mu_r$

1. ค่าแรงแม่เหล็ก F_m
2. ปริมาณ J ไหมจนได้ค่า P_m ที่เหมาะสม
3. ค่าแรงแม่เหล็กของช่องอากาศ (Air gap: l_g) และทำการปรับข้อมมูลทางของ
ได้ค่า ϵ ตามที่ต้องการ

2.5.3.1 ขั้นตอนการออกแบบตัวเหนี่ยวนำ ด้วยกำหนด L, I และ $\% \Delta I$

ขั้นตอนที่ 1

กำหนดความหนาแน่นของขดลวด (J) ในช่วง $2.5 - 10 \text{ A/mm}^2$ ซึ่งขึ้นอยู่กับลักษณะ
ของการระบายความร้อน กำหนดค่า k อยู่ในช่วง $0.3 - 0.6$ ขึ้นอยู่กับค่าคงที่ของแรงของ
ขดลวดที่หุ้มฉนวนและพื้นที่ของขดลวด

หาค่า ΔI โดยที่ $\Delta I = 2(I_{max} - I)$

หาค่า ΔB โดยที่ $\Delta B = \Delta I \times \Delta H_{max}$ (สำหรับแกนเฟอร์ไรต์ $\Delta H_{max} = 0.3V$)

หาค่า B_{max} โดยที่ $B_{max} = \Delta H_{max} = \frac{\Delta B}{2}$

ขั้นตอนที่ 2

คำนวณค่า A_p จากสมการที่ (2.72)

$$A_p = \frac{L_{occ} I_{occ}}{B_{occ} J k}$$

โดยที่ L มีหน่วยเป็น Henry, I มีหน่วยเป็น Ampere, B มีหน่วยเป็น Tesla, J มี
หน่วยเป็น A/mm^2 และ A_p มีหน่วยเป็น cm^2 หรือ mm^2 (จากขนาดของแกน)

ขั้นตอนที่ 3

เลือกขนาดของแกนเหล็กที่มี A_p ใกล้เคียงกับค่า A_p ที่ได้จากการคำนวณในขั้นตอนที่ 2

ขั้นตอนที่ 4

คำนวณจำนวนรอบขดลวดจากสมการที่ (2.69)

$$N = \frac{L_{occ}}{B_{occ} S}$$

เลือก S จำนวนวงเป็น nd

ขั้นตอนที่ 5

คำนวณหาพื้นที่หน้าตัดของขดลวด

$$A_c = \frac{l_{ms}}{d} \quad (2.74)$$

คำนวณหาเส้นผ่านศูนย์กลางของขดลวด

$$d = \sqrt{\frac{4A_c}{\pi}} \quad (2.75)$$

เลือกใช้ขดลวดที่มีเส้นผ่านศูนย์กลางใกล้เคียงกับค่า d ที่คำนวณได้

ขั้นตอนที่ 6

ทดสอบว่าสมการพหุนามของ W สหวัตได้ จากสมการที่ (2.69)

$$W = (N \times \text{พื้นที่หน้าตัดขดลวดที่ใช้จริง}) / k \quad (2.76)$$

ขั้นตอนที่ 7

คำนวณหาค่าความกว้างของ Air Gap (l_g)

$$l_g = \frac{\mu_0 N^2 S}{2l} \quad (2.77)$$

เมื่อหน้าขดลวดเสริมส่วทำกรวัดค่า l ที่ได้ว่าตรงตามต้องการหรือไม่ถ้าไม่ได้ตามต้องการให้ปรับขนาดความกว้างของ Air Gap จนกระทั่งได้ค่า l ตามต้องการ

ตารางที่ 2.3 ข้อมูลขนาดลวดทองแดง

หมายเลข AWG	เส้นผ่าน ศูนย์กลาง (mm)	ความ ต้านทาน (75") Ω/km	น้ำหนัก kg/km	จำนวนรอบต่อ cm
0	8.25	0.392	457	
1	7.35	0.494	577	
2	6.54	0.624	299	
3	5.83	0.786	237	
4	5.19	0.991	188	
5	4.62	1.25	149	
6	4.12	1.58	118	
7	3.67	1.98	93.8	
8	3.26	2.51	74.4	
9	2.91	3.16	59.0	
10	2.59	3.98	46.8	14
11	2.31	5.03	37.1	17
12	2.05	6.34	29.4	22
13	1.83	7.89	23.3	27
14	1.63	10.1	18.5	34
15	1.45	12.7	14.7	40
16	1.29	16.0	11.0	51

ตารางที่ 2.3 ข้อมูลขนาดของทองแดง (ต่อ)

หมายเลข AWG	เส้นผ่าน ศูนย์กลาง (mm)	ความ ต้านทาน (75°) Ω/km	น้ำหนัก kg/km	จำนวนรอบต่อ cm
17	1.15	20.2	9.23	63
18	1.02	25.5	7.32	79
19	0.912	32.1	5.8	98
20	0.812	40.5	4.6	123
21	0.732	51.1	3.65	153
22	0.644	64.4	2.9	192
23	0.573	81.2	2.39	237
24	0.511	102	1.82	293
25	0.455	128	1.44	364
26	0.406	163	1.15	454
27	0.361	206	1.1	576
28	0.321	259	1.39	710
29	0.286	327	1.75	871
30	0.255	421	2.21	1090

2.5.4 มอสเฟตกำลัง (Power MOSFET)

มอสเฟตกำลังสามารถทำงานได้ดีที่ความถี่สูงตั้งแต่ 30 MHz ไปจนถึงประมาณ 200 - 400 kHz เวลาในการเปิดและสลับที่เร็วเพียงเสี้ยววินาที และการพัฒนาในปัจจุบันมีแนวโน้มจะทำให้มอสเฟตกำลังทำงานได้ที่ความถี่สูงขึ้นไปอีก ซึ่งจะเป็นผลดีในการลดขนาดของคอนเวอร์เตอร์ ในส่วนวงจรขับขานมอสเฟตกำลังนี้สามารถนำไปใช้งานได้โดยทั่วไปเฉพาะเวอริมอสเฟตได้จาก IRLP250 โดยตรง โครงสร้างของมอสเฟตกำลังจะเป็นไปใล้ทั้งในลักษณะ N Channel และ P-Channel ภายใต้มอสเฟตประกอบด้วย 3 ขา คือ ขาเกต (Gate) ขาดรैन (Drain) และขาซอร์ส (Source)

กำลังงานสูญเสียที่เกิดขึ้นในมอสเฟตกำลังขณะทำงาน จะเป็นไปใ้ได้ 2 ลักษณะ คือ กำลังงานสูญเสียขณะเปิดและสถานะและกำลังงานสูญเสียขณะนำกระแส มอสเฟตกำลังจะมีช่วงเวลาที่เริ่มนำกระแสและช่วงเวลาที่เริ่มหยุดนำกระแสที่สั้นมาก เพราะตามโครงสร้างของมอสเฟตกำลังจะไม่มีการสะสมประจุเกิดขึ้น อย่างไรก็ตามมอสเฟตกำลังจะมีความต้านทานขณะนำกระแสค่อนข้างสูงการสูญเสียกำลังขณะนำกระแสจึงสูงกว่าโมโซลาร์พาวเวอร์ทรานซิสเตอร์ถึงแม้ว่าช่วงเวลาที่เริ่มนำกระแสและหยุดนำกระแสของมอสเฟตกำลัง จะ

ส่วนข้างขึ้นแต่ใจ L ที่วิ่งของสเฟลา กำลังมักใช้รวมที่ความถี่สูง การคิดค่ากำลังงานสูญเสียขณะทำงานจำเป็นต้องนำค่ากำลังงานสูญเสียขณะเบรได้ยกสถานะมาคิดด้วย และเนื่องจาก ช่วงเวลาเริ่มหยุดนำกระแส (Turn off Time) ก็ใช้ช่วงเวลาเริ่มนำกระแส (Turn on Time) ของมอสเฟตกำลังมีค่าใกล้เคียงกันจึงต้องนำมาคิดทั้งสองช่วงเวลา ดังนั้นกำลังงานสูญเสียของมอสเฟตในช่วงขณะทำงาน P_{on} จะมีค่าเท่ากับ

$$P_{on} = P_{turnon} + P_{con} + P_{i} \quad (2.78)$$

$$P_{turnon} = \frac{0.5 I_{pk(on)} V_{ds} t_r}{T} \quad (2.79)$$

$$P_{con} = \frac{0.5 I_{pk(on)} V_{ds} t_f}{T} \quad (2.80)$$

$$P_{i} = I_{rms}^2 \times R_{th(j-c)} \quad (2.81)$$

2.5.5 ชนิดและารเลือกใช้ไดโอด

เนื่องจากคอนเวอร์เตอร์จะมีคาบมมมีในการทำงานขจรวงจรรีั้งแค่ 20 kHz ขึ้นไปไดโอดที่ช้ในคอนเวอร์เตอร์จึงจำเป็นต้องมีคุณสมบัติดังนี้

- มีแรงดันขณะนำกระแสต่ำ
- มีช่วงเวลาในการคืนตัว (Reverse Recovery Time: t_{rr}) ที่สั้น
- ทนกำลังไฟฟ้ (ได้สูง)

จ้บ เหตุนี้ใช้สีกอนไดโอดที่ช้ในวงจรเร็ค ดีไฟร์ที่วโงจึงไม่สามารถนำมาใช้ กับวงจรคอนเวอร์เตอร์ได้ เนื่องจากมีช่วงเวลาคืนตัวที่มาก ค่าแรงสูญเสียในรูปความร้อนจะเกิดขึ้นสูงและมีประสิทธิภาพที่ต่ำโดยไดโอดที่ช้ในวงจรคอนเวอร์เตอร์จะเลือกช้ใน 3 ชนิดดังต่อไปนี้

1. ฟาสต์ - รีคัฟเวอรีไดโอด (Fast Recovery Diode)
2. สูดเร็วฟาสต์ - รีคัฟเวอรีไดโอด (Ultra Fast Recovery Diode)
3. ชอคคัไดโอด (Schottky Diode)

ฟาสต์ - รีคัฟเวอรีไดโอดมีช่วงเวลาคืนตัวประมาณ 200 - 750 นาโนวินาที ซึ่งสั้นกว่าที่เลือกนไดโอดแบบมีสักรากนแรงดันไบปลั๊กกลับได้สูงถึง 1000V ส่วนยัสเร็วฟาสต์ - รีคัฟเวอรีไดโอด มีช่วงเวลาคืนตัวประมาณ 25 - 100 นาโนวินาที มีอัตราทนแรงดันไบปลั๊กกลับได้สูงถึง 1000V แรงล้นลดคร่อมขณะกันำกระแสของไดโอดทั้งสองชนิดมีค่าอยู่ในช่วงเดียวกันคือประมาณ 0.6 ถึง 1.5 V

2.5.6 การเลือกตัวเก็บประจุในวงจรกำลังของวงจรบูสต์ดีซีที่ผู้ศึกษาออกแบบ

ในวงจรกำลังของวงจรบูสต์ดีซีที่ผู้ศึกษาออกแบบ ตัวเก็บประจุกำลังมีหน้าที่เก็บพลังงานในรูปของประจุไฟฟ้า และทำการจ่ายแรงดันกลับให้กับเอาต์พุตหรือตามประจุให้กลับเมื่อสวิตช์ถูกเปิดช่วงเวลา Turn ON และเก็บประจุเมื่อถูกในช่วงเวลา Turn OFF จะต้องเลือกตัวเก็บประจุที่สามารถทนแรงดันได้เท่ากับแรงดันที่ตรงตามเอาต์พุตหากเลือกตัวเก็บประจุที่มีขนาดใหญ่มากจะช่วยในกระบวนการลดแรงดันกระแสไหลทางด้านเอาต์พุตลดลง

ตัวเก็บประจุในวงจรกำลังหากพิจารณาในโหมดกระแสตรงเนื่องจากของวงจรบูสต์ดีซีที่ผู้ศึกษาออกแบบโดยที่ค่าของตัวเก็บประจุพิจารณาได้จากสมการที่ (2.82) แรงดันกระแสไหลทางด้านเอาต์พุต (ΔV_o) และ กระแสเอาต์พุต (I_o) ที่ใช้งาน ค่าตัวดีไซเนอ์สูงสุดที่ใช้ใช้งาน ความถี่ในการสวิตช์ของคอนเวอเตอร์ (f) ดังสมการจะให้ค่าขนาดหน้าค่าตัวเก็บประจุที่จะใช้ดังนี้

$$C = \frac{I_{(max)} D_{(max)}}{f \Delta V_o} \quad (2.82)$$

ค่าความต้านทานสมมูลภายในของตัวเก็บประจุ (Equivalent Series Resistance ESR) หาได้จาก

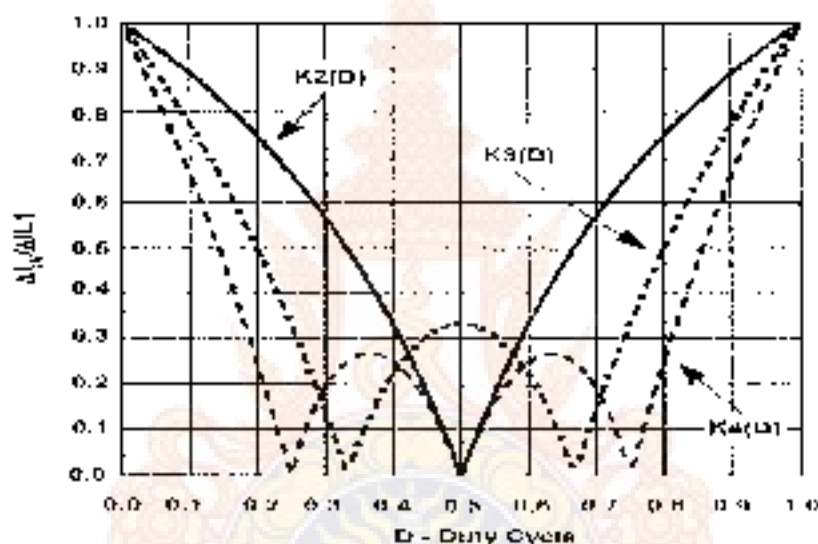
$$ESR = \frac{\Delta V_o}{\left[\frac{I_{(max)}}{1 - D_{(max)}} + \frac{\Delta I_o}{2} \right]} \quad (2.83)$$

2.6 เทคนิคการอินเตอร์ลีฟ (Interleaved Technique)

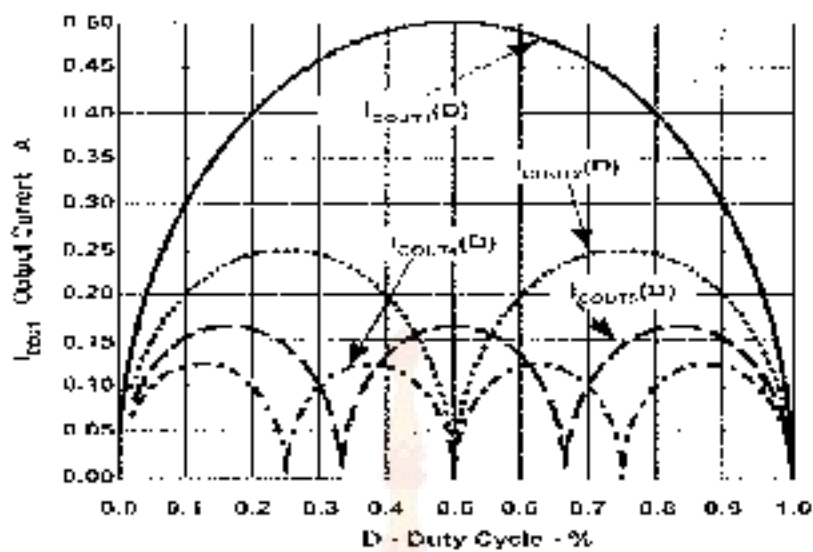
เทคนิคการอินเตอร์ลีฟ (2) สามารถทำได้โดยการนำเอาสัญญาณที่นำสวิตช์ของวงจรบูสต์คอนเวอเตอร์เซิร์ฟเวอร์ 3 เฟส วงจรมาต่อขนาน แล้วก็กำหนดเฟสของสัญญาณที่นำสวิตช์ให้เหลื่อมเวลาการทำงานกันออกไปเพื่อให้งจรสลับการทำงานซึ่งกันและกันโดยจะแบ่งมุมการทำงานของแต่ละสัญญาณเข้า นำสวิตช์ให้สลับกันพอดีในแต่ละหนึ่งรอบเวลาการทำงาน (360°) ซึ่งจะทำให้มีสวิตช์ที่จำนวนวงจร (3) เฟส นำมาอินเตอร์ลีฟกันและมีความถี่ของการสวิตช์เท่ากัน และหลักการทำงานนี้จะทำให้แอมพลิจูดของกระแสลดลง และเป็นการทำงานที่ประสิทธิภาพของตัวเก็บประจุกระแส ค่าแรงดันของวงจร โดยไม่ทำให้เกิดความสูญเสียที่สวิตช์หรืออุปกรณ์ การนำวงจรบูสต์คอนเวอเตอร์มาขนานกัน โดยใช้เทคนิคการอินเตอร์ลีฟ เพื่อเพิ่มความสามารถในการจ่ายกำลังไฟฟ้าให้มากขึ้น และลดการสลับกระแสแรงในขั้วสายเหนี่ยวนำทั้งสองทำให้สามารถลดขนาดขั้วเหนี่ยวนำลงได้

ในงานวิจัยนี้ นำวงจรบูสต์คอนเวอร์เตอร์มีขั้วนำกัน 4 ขั้ว (V = 4) โดยใช้เทคนิคการ
อินเวอร์สเฟส เพื่อให้สามารถจ่ายกระแสสูงสุดได้ 46 A ดังแสดงในรูปที่ 2.23 โดยจัดให้มีเฟสของ
สัญญาณนำกับแวลต์ด้วยมุมและตัวส่งห่างกัน 90° ซึ่งรูปคลื่นของขาเข้าและสวิตช์กระแสของ
ตัวเหนี่ยวนำและกระแสระลอกฟ้าบนขาเข้าจะลดลงเหลือ 25 % เมื่อทำการปรับวงจรเปลี่ยน
แบบบูสต์ขั้วนำกันค่าเป็น 4 ขั้ว

จากคุณสมบัติของอินเวอร์สเฟสที่กล่าวมาข้างต้นสามารถนำกระแสของแหล่งจ่ายตรงมา
หักล้างกันได้ (Ripple Cancellation) นั่นคือ ค่ากระแสรวมที่ด้านออกลดลง และขนาดกระแส
จากการหักล้างกันของสองวงจรมีความสัมพันธ์กับตัวดีไวส์ดังแสดงในรูปที่ 2.23 พบว่าค่า
ระลอกถูกหักล้างอย่างสมบูรณ์เมื่อตัวดีไวส์เป็น 25 %



รูปที่ 2.23 ขนาดค่าระลอกกับดีไวส์ของวงจรบูสต์คอนเวอร์เตอร์มีขั้วนำกัน 4 ขั้ว
โดยใช้เทคนิคการอินเวอร์สเฟส



รูปที่ 2.24 กระแสเฉลี่ยที่ไหลผ่านตัวเก็บประจุที่ปรับด้วยเพลาของวงจรบูสต์ที่คอนเวอร์เตอร์แบบขนาน 4 โวลต์

2.7 ตัวควบคุมแบบพีไอ (PI Controller)

ตัวควบคุมแบบพีไอ [3] เป็นการนำเอาคุณสมบัติของ ตัวควบคุมแบบพีกับตัวควบคุมแบบโอมารวมกัน ดังนั้นสัญญาณที่ออกจากตัวควบคุมชนิดนี้คือ

สัญญาณทางออก = สัญญาณทางคอลเลกเตอร์พี + สัญญาณทางคอลลกแบร์ไอ

$$v_{out}(t) = G_p v_m(t) + \frac{1}{T_i} \int v_m(t) dt \quad (2.84)$$

เมื่อแปลงลาปลาซจะได้

$$v_{out}(s) = G_p v_m(s) + \frac{v_m(s)}{T_i s} \quad (2.85)$$

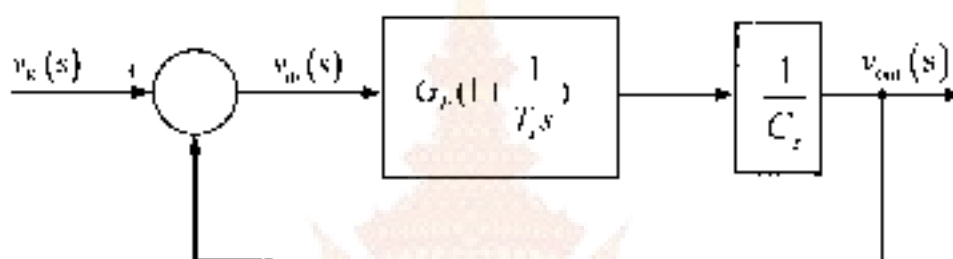
$$v_{out}(s) = G_p v_m(s) + \left(1 + \frac{1}{T_i s}\right) v_m(s) \quad (2.86)$$

เมื่อ $T_i = G_p T_i$ เขียนลงในฟังก์ชันถ่ายโอน ดังสมการที่ (2.87)

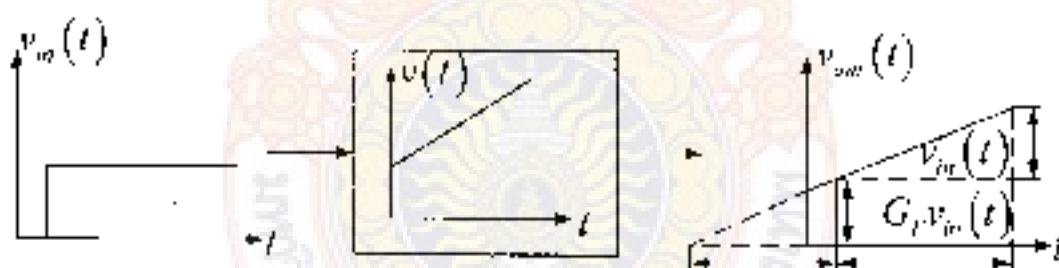
$$F(s) = \frac{v_{out}(s)}{v_k(s)} = G_c \left(1 + \frac{1}{T_I s}\right) \tag{2.87}$$

ค่าคงที่ G_c และ T_I สามารถเปลี่ยนแปลงค่าได้ การปรับปรุงค่า T_I จะมีผลต่อการกระทำ การควบคุมแบบพี แต่ถ้าปรับค่าพารามิเตอร์ของสัดส่วน G_c จะมีผลทั้งการกระทำ การควบคุมแบบพี และการกระทำการควบคุมแบบไอ ส่วนผลของ T_I เรียกว่า "อัตราส่วนการจัดใหม่" อัตราส่วนการจัดใหม่เป็นจำนวนครั้งที่ทำการควบคุมแบบสัดส่วนเริ่มต้นใหม่

จากสมการที่ (2.87) สามารถนำมาเขียนเป็นกราฟพล็อตโพลและแกรมได้ดังรูปที่ 2.25 และ ผลตอบสนองลวงต่อฟังก์ชันขั้นบันไดแสดงได้ดังรูปที่ 2.26

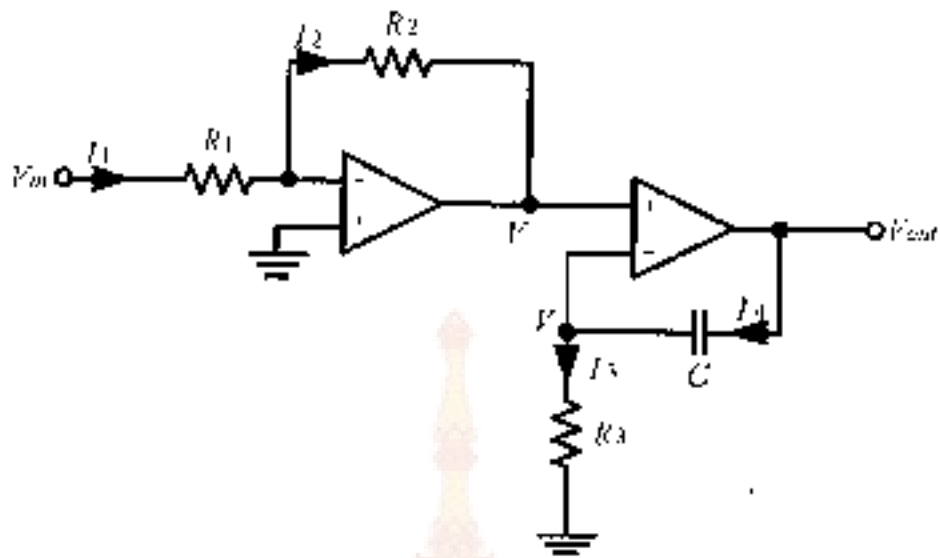


รูปที่ 2.25 โพลและแกรมการควบคุมอัตราควบคุมแบบพีไอ



รูปที่ 2.26 ผลตอบสนองลวงต่อฟังก์ชันขั้นบันไดของตัวควบคุมแบบพีไอ

จากรูปที่ 2.26 สามารถสร้างเป็นวงจรถอบแอมป์ได้ดังรูปที่ 2.27



รูปที่ 2.27 วงจรรวมอินเวอร์ตระบบแบบที่ 1

จากวงจรในรูปที่ 2.27 สามารถแปลงค่าสายได้โดย

$$I_1(s) = I_2(s) \quad (2.88)$$

$$\frac{V_m(s)}{R_1} = \frac{V(s)}{R_2} \quad (2.89)$$

$$V(s) = -\frac{R_2}{R_1} V_m(s) \quad (2.90)$$

$$I_3(s) = I_1(s) \quad (2.91)$$

$$\frac{V(s)}{R_3} = C(s(V_m(s)) - V(s)) \quad (2.92)$$

$$V(s) = \frac{R_2 C s}{(1 - R_2 C s)} V_m(s) \quad (2.93)$$

เมื่อเพิ่มขั้วสมการจะได้สมการ

$$\frac{R_2 V_m(s)}{R_1} = \frac{R_1 C_1 V_m(s)}{(1 + R_2 C_1 s)} \quad (2.94)$$

$$F(s) = \frac{V_m(s)}{V_m(s)} = \frac{R_2 \left(1 + \frac{1}{R_3 C_1 s} \right)}{R_1} \quad (2.95)$$

เมื่อ $G_v = \frac{R_2}{R_1}$ คือ ความไวของสัดส่วนหรืออัตราขยาย

$T_1 = R_3 C_1$ คือ อัตราส่วนจัดใหม่

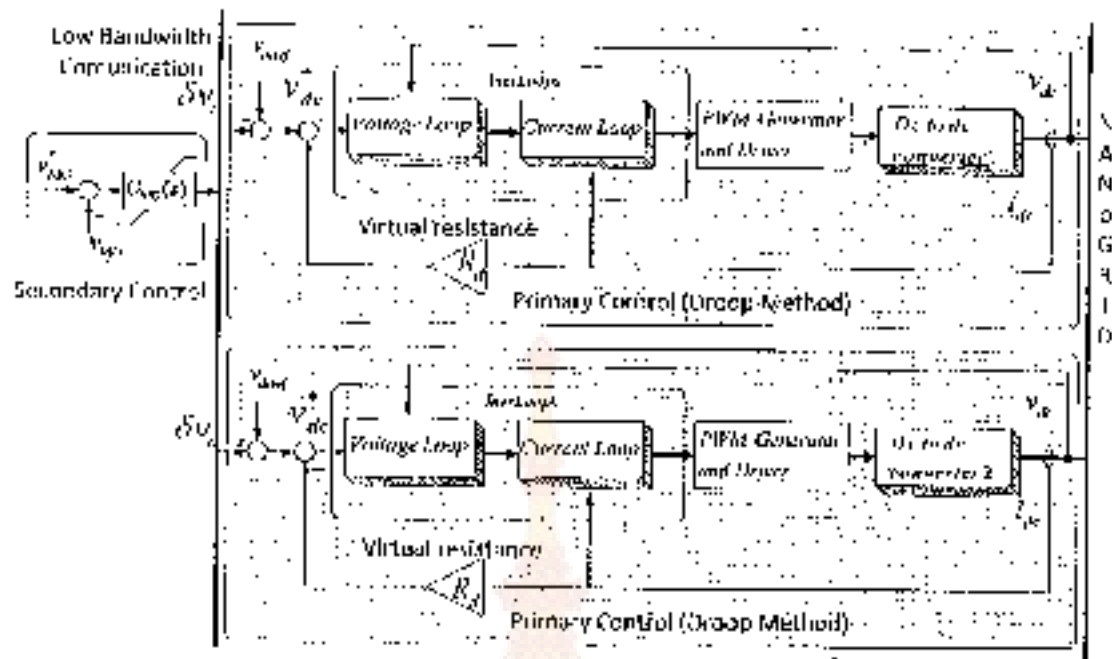
สรุปการควบคุมแบบพีวีร่วมกับแบบโวลต์มีความนำคุณสมบัติของทั้งสองแบบมารวมกัน ให้ผลการควบคุมที่รวดเร็วสนองที่รับ และระบบมีความแม่นยำเมื่อพิจารณาถึงกรณีที่ผู้สามารถคงตัว สามารถปรับค่าได้และให้ได้ประสิทธิภาพและรับค่าจากรวมที่ได้ออก R_2 และปรับค่าตัวควบคุมได้จาก R_1 .

2.7 เทคนิคการควบคุมแบบดรอป (Droop Control technique)

ระบบดีเซลนาโกลิตรจะใช้พลังงานแอมแปร์ไฟฟ้ากระแสตรงเป็นไฟฟ้ากระแสตรงและวงจรแปลงมีไฟฟ้ากระแสสลับเป็นไฟฟ้ากระแสตรงสำหรับเชื่อมต่ออุปกรณ์เก็บกักพลังงานและระบบจำหน่ายตามลำดับ ในระบบไมโครกริดทั้งสองแบบจะมีลำดับขั้นตอนการควบคุมในระบบดังในรูปที่ 1 คือ

1. การควบคุมปฐมภูมิ (Primary Control)
2. การควบคุมทุติยภูมิ (Secondary Control)
3. การควบคุมตติยภูมิ (Tertiary control)

การชดเชยแรงดันแอมแปร์เพื่อให้สามารถจ่ายกำลังไฟฟ้าได้มากขึ้นและเพิ่มความสามารถเชื่อถือให้กับระบบอื่น มีที่พบเหมาะสมสำหรับไมโครกริดที่จัดการควบคุมแบบดรอปจึงมีข้อดีหลายในการสร้างและไม่จำเป็น แต่ต้องใช้การสื่อสารระหว่างผู้ควบคุมแรงดันแอมแปร์เปรียบเทียบกับ การชดเชยแรงดัน



รูปที่ 2.28 บล็อกไดอะแกรมการควบคุมแหล่งกำเนิดด้วยวิธีดรอพ!

ในการหาขนาดของแปลงหมั่นไฟฟ้ากระแสสลับเป็นไฟฟ้ากระแสตรงจะใช้การแบ่งกระแสตรงที่นำเกาต์ฟูล (I_{dc}) ของวงจรกำลังหมั่น ดังในรูปที่ 2.28 ส่วนค่าดิ่งดักเก็บเหมือน (Virtual resistor; R_d) จะคำนวณจากสมการที่ (2.97) จากช่วงแรงดันกระแสตรงที่ยอมรับได้

$$I_{dc(max)} R_d \leq V_{dc(max)} - V_{dc(min)} \quad (2.96)$$

$$R_d \leq (V_{dc(max)} - V_{dc(min)}) / I_{dc(max)} \quad (2.97)$$

เมื่อ $V_{dc(max)}$ และ $V_{dc(min)}$ คือแรงดันกระแสตรงสูงสุดและต่ำสุด

$I_{dc(max)}$ คือกระแสไหลสูงสุดที่ยอมรับได้

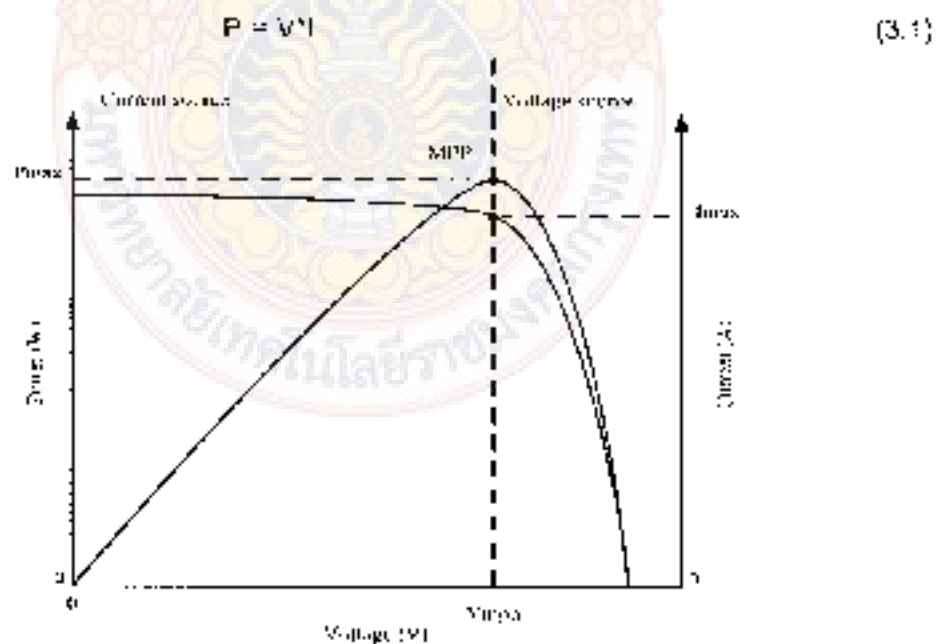
บทที่ 3

การออกแบบงานวิจัย

ใบยกรายงานกล่าวถึงการออกแบบงานวิจัย โดยกระทำการทดลองเก็บข้อมูลกระแสและแรงดันของแผงเซลล์แสงอาทิตย์จากนั้นจำลองกราฟฟูลเซมมิคอนดัคเตอร์โปรแกรม Matlab/Simulink เพื่อศึกษาการทำงานเบื้องต้นและเป็นข้อมูลในการโปรแกรมแหล่งจ่ายไฟฟ้ากระแสตรงเพื่อเลียนแบบเซลล์แสงอาทิตย์ วงจรรูปที่ 3.1 แสดงรูปแสดงวงจรเดอริที่ใช้งานต้องจ่ายกำลังไฟฟ้าได้สูง จำเป็นต้องใช้การขยายจำนวน 4 โมดูลเพื่อให้สามารถจ่ายกำลังไฟฟ้าได้ 1.5W

3.1 หลักการออกแบบชุดติดตามจุดกำลังไฟฟ้าสูงสุด

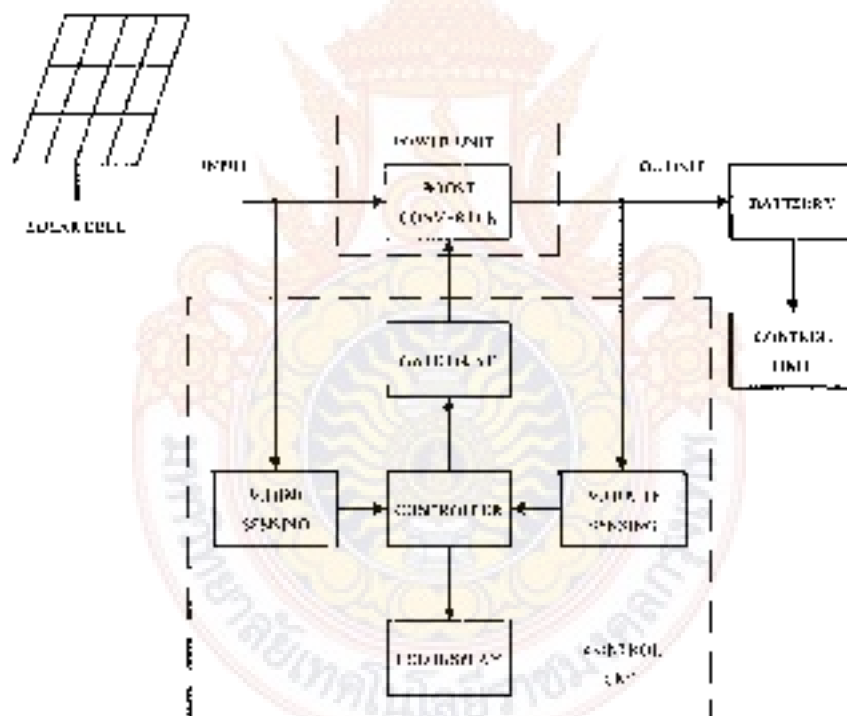
การนำแผงเซลล์แสงอาทิตย์มาใช้งานโดยให้ได้รับกำลังไฟฟ้าสูงสุดเท่าที่ความสามารถของแผงเซลล์แสงอาทิตย์จะจ่ายออกมาได้นั้นต้องมีการคำนวณจุดการทำงานที่จะได้กำลังไฟฟ้ามากที่สุด จากรูปที่ 3.1 แสดงถึงเส้นกราฟการจ่ายแรงดันและกระแสของแผงเซลล์แสงอาทิตย์ที่มีการรับแสงที่มีความเข้มแสงต่างกัน และเมื่อรับโหลดมาต่อก็จะสามารถทราบถึงจุดที่โหลดได้วิับ กระแสและแรงดันค่าหนึ่งจนเห็นกราฟซึ่งนำมาเขียนเป็นเส้นก็จะได้เส้นขึ้นมาเส้นหนึ่งคือเส้นแรงดันจ่ายให้โหลดคงที่ (Constant Voltage Load) ซึ่งเมื่อพิจารณาที่จุดนี้ ค่ากำลังไฟฟ้าที่โหลดได้รับจากแผงเซลล์แสงอาทิตย์ไม่ใช่กำลังไฟฟ้าที่มากที่สุดเมื่อคิดจากสมการที่ (3.1)



รูปที่ 3.1 V-I Characteristic ของเซลล์แสงอาทิตย์

เมื่อพิจารณาจากกราฟคุณสมบัติของเซลล์แสงอาทิตย์ จะเห็นได้ว่ากำลังไฟฟ้าที่ได้จากแผงเซลล์แสงอาทิตย์ของกระแสและแรงดันที่หนึ่งจะมีค่ามากกว่ากำลังไฟฟ้าที่ได้จากแผงเซลล์แสงอาทิตย์ของกระแสและแรงดันที่สองที่จุดทำงานกำลังไฟฟ้าสูงสุด (Maximum Power Point) และมีค่าเป็นค่าหนึ่ง จึงต้องใช้อัลกอริทึมที่ช่วยในการเปลี่ยนจุดการทำงานจากจุดแรงดันต่ำของแผงเซลล์แสงอาทิตย์ที่จุดทำงานกำลังไฟฟ้าสูงสุด (Maximum Power Point) อัลกอริทึมนี้ใช้ การติดตามกำลังไฟฟ้าสูงสุด (Maximum Power Point Tracking : MPPT) โดยใช้หลักการของการควบคุมแรงดันและกระแสของแผงเซลล์แสงอาทิตย์ โดยตรงอยู่ในรูปของกำลังไฟฟ้าที่จ่ายออกมาให้แก่โหลด ซึ่งการควบคุมนี้ใช้หลักการของการปรับสัดส่วนแรงดันให้เท่า สวิตช์ของวงจรแปลงพลังงาน (Boost Converter) ที่ส่งพลังงานมาจากแบตเตอรี่ เพื่อให้ได้จุดทำงานที่ได้ค่ากำลังไฟฟ้าสูงสุด

3.2 ส่วนประกอบหลักของโครงการวิจัย



รูปที่ 3.2 บล็อกไดอะแกรมของอัลกอริทึมติดตามกำลังไฟฟ้าสูงสุดและส่วนแสดงผล

จากหลักการการทำงานของจุดติดตามกำลังไฟฟ้าสูงสุด (MPPT) ที่ต้องการให้ได้ค่ากำลังไฟฟ้าที่ค่าของพลังงานจากเซลล์แสงอาทิตย์ที่มีค่ามากที่สุด ดังนั้นเราสามารถที่จะวงจรที่ทำการวัดค่ากำลังไฟฟ้าที่เซลล์แสงอาทิตย์จ่ายออกมา และมีอุปกรณ์ที่คอยส่งข้อมูลไว้เก็บไว้เก็บไว้ที่คอมพิวเตอร์

ก่อนหน้าให้ไว้แล้ว ก็จะสามารถประยุกต์ทำเป็นชุดวัดความถี่คลื่นไฟฟ้าสูงๆได้และส่วนประกอบหลักของการทำงานโดยรวมของชุดวัดความถี่คลื่นไฟฟ้าสูงสุดแสงได้ดังหลักการและวงจรที่ 3.2

- แผงวงจรแผงสวิตช์ จำนวน 1 แผง ขนาดหน้ากว้างไฟฟ้าสูงสุด 30 วัตต์ ที่ 1000 W/m^2 25°C ชนิดที่เป็นสารกึ่งตัวนำอสัณฐานซิลิคอน (Amorphous Silicon) ของบริษัท ผลิตโมดูลซิลิคอนทรานซิสต์วัดแรงดันได้สูงสุด 31.0 โวลท์และวัดค่ากระแสสูงสุดได้ 0.96 แอมป์

- ส่วนตรวจจับแรงดันและกระแส (V/I Sensor) ตรวจจับค่าแรงดันและกระแสทั้งที่ด้านอินพุตและเอาต์พุต สำหรับส่งไปประมวลผลในส่วนของคอนโทรลเลอร์ และนำไปแสดงผล

- ส่วนคอนโทรลเลอร์ ใช้ในการประมวลผล โดยใช้ไมโครคอนโทรลเลอร์ตระกูล PIC18F458 ทำการประมวลผลส่งสัญญาณควบคุมไปที่วงจรอนุพัทธ์ของเวอริเตคร์ ให้ทำงาน ณ จุดที่ให้ค่ากำลังไฟฟ้าสูงสุด ที่ค่าความเข้มแสงและอุณหภูมิในขณะทำงาน โดยในส่วนของคอนโทรลเลอร์ จะมีการรับค่าแรงดันจากส่วนตรวจจับแรงดันและกระแสทั้งที่ขาสัญญาณวัดแอนะล็อกเป็นดิจิทัล (ADC Converter) ของตัวไมโครคอนโทรลเลอร์ แล้วนำค่าที่แปลงเป็นดิจิทัลแล้วไปประมวลผล ออกทาบแสดงผล และนำค่า ที่ได้มาเก็บไว้ที่หน่วยความจำในตัวไมโครคอนโทรลเลอร์ ซึ่งสามารถรับค่าวัดได้ เพื่อนำไปขับหลอดไฟของวงจรอนุพัทธ์ของเวอริเตคร์ โดยในส่วนคอนโทรลเลอร์จะรวมถึงตัวแยกแอมป์ ที่ทำหน้าที่แยกการวัดของระบบประมวลผลภาคควบคุมกับภาคกำลัง

- ส่วนชุดอุปกรณ์เวอริเตคร์จะรับสัญญาณพัลส์ ที่สามารถปรับปรับดิโอดได้โดยชุดคอนโทรลเลอร์ เพื่อนำไปควบคุมการเปิด-ปิด หลอดหลอดไฟของวงจรอนุพัทธ์ของเวอริเตคร์ เพื่อให้ได้ค่ากำลังไฟฟ้าสูงสุดตามที่ตั้งไว้

- ส่วนแบตเตอรี่ ออกแบบใช้แบตเตอรี่แห้ง ขนาด 7.5 แอมป์-ชั่วโมง 12 โวลท์ จำนวน 2 ชุดต่ออนุกรมกัน 24 โวลท์ ใช้เป็นแหล่งจ่ายให้กับวงจรควบคุม

- ส่วนแสดงผล จะแสดงค่าแรงดันและกระแสทั้งที่ด้านอินพุตและเอาต์พุตมาแสดงผลค่ากำลังไฟฟ้าสูงสุดจากเซลล์แสงอาทิตย์และกำลังไฟฟ้าที่จ่ายให้หลอดไฟของระบบ

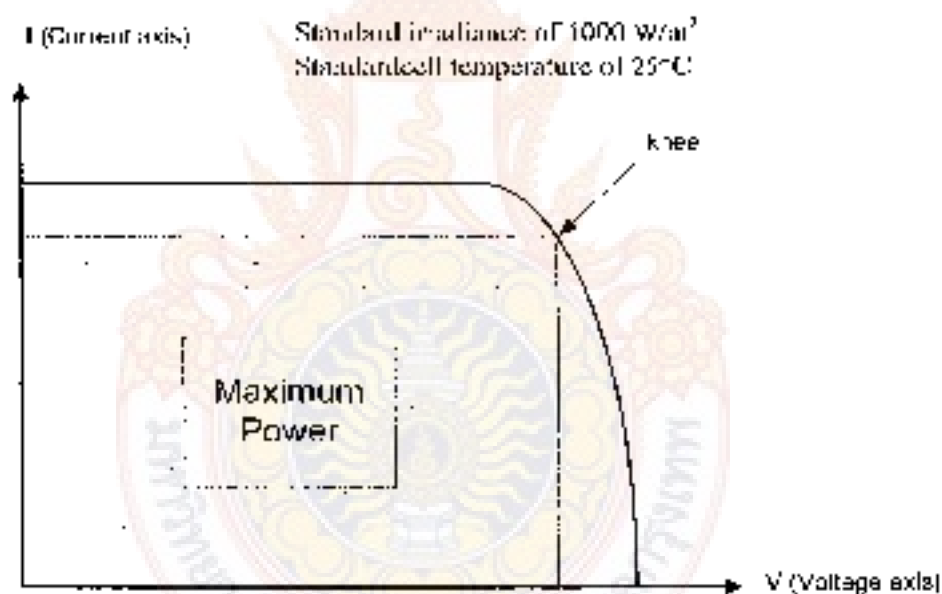
3.3 คุณสมบัติแผงเซลล์แสงอาทิตย์ที่ใช้ในงานวิจัย

เป็นแผงเซลล์แสงอาทิตย์ Solimax รุ่น LEC 3024 จำนวน 2 แผง มีคุณสมบัติเฉพาะ
 ดังต่อไปนี้

Maximum Power (P_{max})	30	Watt
Voltage At Maximum Power (V_{pm})	31.0	Volt
Current At Maximum Power (I_{pm})	0.96	Amp
Open Circuit Voltage (V_{oc})	42.9	Volt
Short Circuit Current (I_{sc})	1.17	Amp
Weight	5.5	kg

เซลล์เป็นชนิดอะมอร์ฟิซิลิโคน (Triple Junction Amorphous Silicon Solar Cell)

พิกัดของ Open Circuit Voltage และ Short Circuit Current ทดสอบที่ความเข้ม
 แสงอาทิตย์ 1000 W/m^2 อุณหภูมิที่เซลล์ (Cell Temp) 25°C



รูปที่ 3.3 กราฟ I-V Curve และค่ากำลังไฟฟ้าของเซลล์แสงอาทิตย์

3.4 อัลกอริทึมติดตามกำลังไฟฟ้าสูงสุด

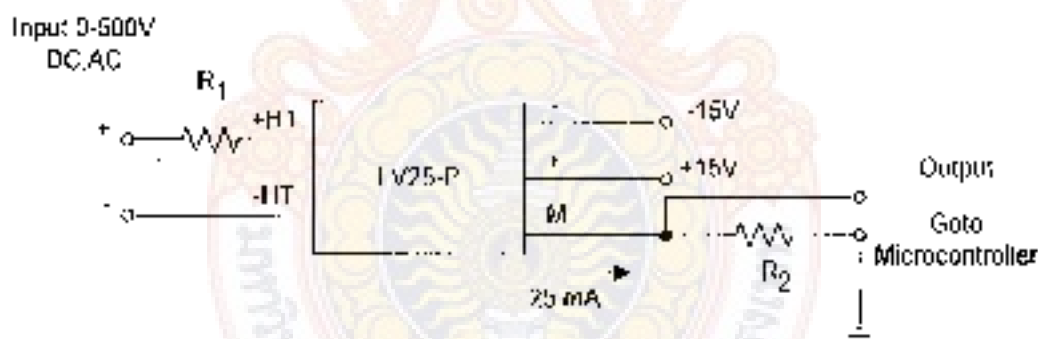
3.4.1 การทำงานของภาคควบคุม

เป็นส่วนที่กำหนดค่าความถี่การเปิด-ปิด สวิตช์ของมอดูเลเตอร์กำลัง โดยแสดงส่วนต่างๆ ของวงจรติดตามจุดกำลังไฟฟ้าสูงสุดภาคควบคุม. ให้นำแสดงดังบล็อกไดอะแกรมดังรูปที่ 3.4



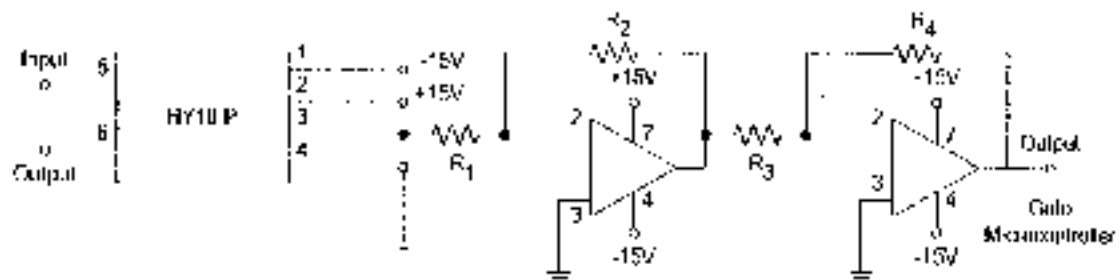
รูปที่ 3.4 บล็อกไดอะแกรมของภาคควบคุม

1. ชุดตรวจวัดแรงดันจะใช้ Voltage Transducers (LEM) รุ่น LV25-P สามารถวัดแรงดันได้ตั้งแต่ 0-500 V มีอัตราส่วนการแปลงค่า 100V/10mA ดังนั้นหากเซ็นเซอร์จะใส่ R_1 เท่ากับ 10 Ω และเกนที่ชุดจะมีค่าเท่าไรนั้นขึ้นอยู่กับค่าการใส่ค่าความต้านทาน R_2 โดยในโครงการนี้ได้เลือกวัดค่าแรงดันสูงสุดที่ 5 V จึงต้องให้ R_2 มีค่าเท่ากับ 100 โอห์ม ถ้าอุปกรณ์ตรวจวัดรับแรงดันพัลส์ 100V จะได้สัญญาณก่อนเข้าพอร์ตนานาลอกมีค่าสูงสุด เป็น 2.5 V



รูปที่ 3.5 ชุดโพรบและวงจรวัดแรงดัน

2 ชุดตรวจวัดกระแสจะใช้ Current-Voltage Transducers (LEM) รุ่น HY10-P ที่มีอัตราการแปลง 10V/4A ซึ่งในรูปที่ 3.5 จะตรวจวัดกระแสก่อนส่งค่าไปที่ PIC หลักการของชุดตรวจวัดกระแสแบบนี้จะแปลงค่ากระแสให้เป็นแรงดัน โดยแรงดันที่ออกมาจาก HY10-P ที่ขา 3 นี้จะมีค่าสูงสุดที่ 4V ดังนั้นจึงต้องทำการลดระดับแรงดันโดยใช้วงจรกลับเฟส ซึ่งจะใช้ทรานซิสเตอร์ LF351 เพื่อให้มีค่าอยู่ระหว่าง 0-4 V ถ้าชุดโพรบตรวจวัดกระแสพัลส์ 5 A จะได้สัญญาณก่อนเข้าพอร์ตนานาลอกมีค่าสูงสุด 2.6V ดังรูปที่ 3.6



รูปที่ 3.0 อุปกรณ์และวงจรวัดกระแส

3. ชุดแปลงสัญญาณแอนะล็อกเป็นดิจิทัลหรือ ADC เพื่อให้สามารถนำค่าแรงดันและกระแสที่ได้จากชุดตรวจจ่ายไปใช้ในการคำนวณในส่วนคอนโทรลเลอร์ PIC 18F458 โดยใช้โมดูลจาก PIC 18F152 แปลงสัญญาณแอนะล็อกเป็นดิจิทัล จะมีขนาด 10 บิต 8 ช่อง ที่ขาพอร์ต RA0/AN0, RA1/AN1, RA2/AN2, RA3/AN3, RA4/AN4, RE5/AN5, RE6/AN6, RE7/AN7 โดยงานวิจัยนี้จะใช้ 4 ช่องเท่านั้น โดย RA0/AN0 จะกำหนดรับสัญญาณแรงดันอินพุต RA1/AN1 จะกำหนดรับสัญญาณกระแสล้นสุดที่เปลี่ยนเป็นรูปแรงดัน RA2/AN2 จะกำหนดรับสัญญาณแรงดันเอาต์พุต RA3/AN3 จะกำหนดรับสัญญาณกระแสเอาต์พุตที่เปลี่ยนเป็นรูปแรงดัน โดยการแปลงสัญญาณแอนะล็อกเป็นดิจิทัลจะเป็นแบบการประมาณค่า (Successive Approximation) ซึ่งจะอยู่ในส่วนบทความเขียนโปรแกรมไมโครคอนโทรลเลอร์ PIC18F458

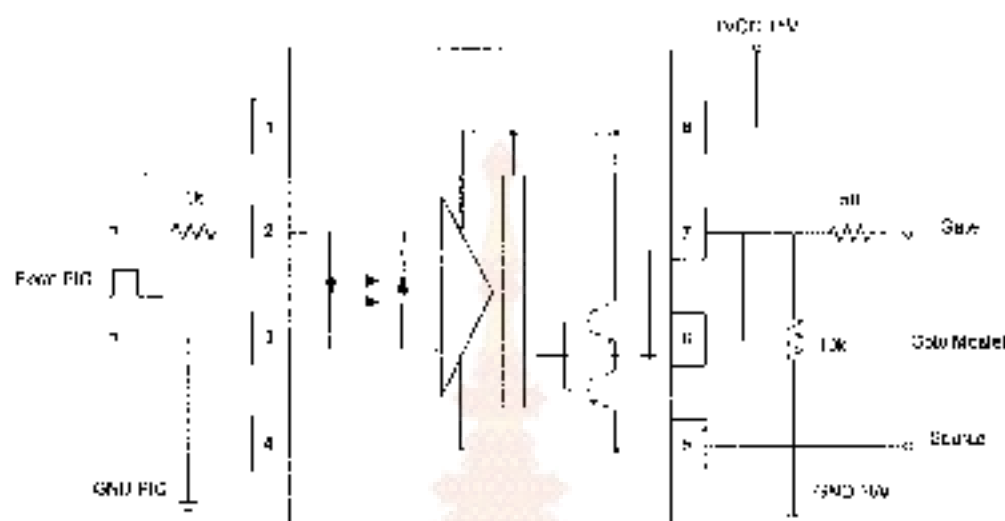
4. Multiplication เป็นส่วนที่ทำหน้าที่คูณแรงดันและกระแสที่สัญญาณรูปแปลงสัญญาณดิจิทัลแล้ว เพื่อให้เป็นค่ากำลัง โดยส่วนของการคำนวณนี้จะอยู่ในส่วนบทความเขียนโปรแกรมไมโครคอนโทรลเลอร์ PIC 18F458

5. Comparison เป็นส่วนที่ทำหน้าที่เปรียบเทียบค่ากำลังไฟฟ้าที่ได้จากการคูณของแรงดันและกระแส ณ จุดทำงานต่างๆที่ให้ออกการล้นสุดการทำงาน เพื่อให้ได้ซึ่งจุดทำงานที่ให้ค่ากำลังไฟฟ้าสูงสุด ณ ความเข้มแสงและอุณหภูมิอื่นๆ โดยส่วนของการเปรียบเทียบนี้จะอยู่ในส่วนของกรเขียนโปรแกรมไมโครคอนโทรลเลอร์ PIC18F458

6. ไมโครคอนโทรลเลอร์เป็นส่วนที่ทำหน้าที่เก็บค่ากำลังไฟฟ้าที่ได้จากการคูณของแรงดันและกระแสไว้เพื่อทำการเปรียบเทียบกับค่ากำลังไฟฟ้าที่จุดต่างๆ ซึ่งจะใช้เวลาเพียงไม่กี่วินาทีภายในของไมโครคอนโทรลเลอร์ทำหน้าที่เก็บไว้เพื่อทำการเปรียบเทียบ ซึ่งเวลาที่จะใช้ในงานวิจัยนี้จะใช้ PIC18F458

7. สัญญาณพัลส์ (Pulse Width Modulation - PWM) โดยใช้โหม่งสร้างสัญญาณพัลส์จากตัวไมโครคอนโทรลเลอร์ PIC18F458 ทำหน้าที่สร้างสัญญาณพัลส์ ณ ค่าตัวที่ใช้เก็สดังกล่าว และนำโหม่งที่เมื่อสเฟดกำลังให้ทำงาน ณ จุดที่ให้ค่ากำลังไฟฟ้าสูงสุด

8. ชุดแยกกราวด์ (Isolator) ทำหน้าที่แยก ขาวส์ระหว่างภาคควบคุมกับภาคกำลังแยกจากกัน โดยยกยาแบบใช้ไอซีแยกสัญญาณเบอร์ TLP250 ดังรูปที่ 3.7



รูปที่ 3.7 วงจรแยกจุดทางแสงสำหรับขับเคลื่อน

3.5 ขั้นตอนการเขียนโปรแกรม

1. ทำการเขียนโปรแกรมเป็นภาษาซี บนโปรแกรม MPLAB ด้วยคอมไพเลอร์ ที่เรียกว่าเป็นโปรแกรมไฟล์ PROJECT.C เช่น MPPT.C

2. ทำการคอมไพล์โปรแกรมจากภาษาซีเป็นภาษาเฮกซ์ (HEX) ด้วยโปรแกรม CCS Compiler

3. เมื่อทำการคอมไพล์แล้ว ถ้าโปรแกรมไฟล์ที่เขียนขึ้นมีข้อผิดพลาดใช้กับโครงสร้างของภาษาคำสั่งโปรแกรม MPLAB จะแจ้งให้ทราบว่าข้อผิดพลาดที่พบอยู่ที่เท่าไรบ้าง บนหน้าจอ Output ของโปรแกรม MPLAB แล้วทำการแก้ไขบรรทัดที่มีผิดพลาด จนกว่าจะทำการคอมไพล์ใหม่ได้ทุกครั้ง

4. ในกรณีโปรแกรมที่คอมไพล์แล้วไม่เกิดข้อผิดพลาด ก็ทำการดาวน์โหลดไฟล์ MPPT.HEX ลงสู่เครื่องโปรแกรมไมโครคอนโทรลเลอร์ตระกูล PIC โดยผ่านทางโปรแกรม Pickit 2 โดยส่งทางพอร์ต USB ที่เชื่อมต่อระหว่างคอมพิวเตอร์กับบอร์ด ET-PGM/PIC USB V2.0 ด้วยสาย USB CONNECTOR และเชื่อมต่อสัญญาณส่งลงพอร์ต TARGET ไปยัง Adaptor Module เชื่อมเบอร์ PIC ให้ตรงกับเบอร์ที่ใช้และทำการ Import HEX ไฟล์ .HEX เข้ามาในโปรแกรมและทำการคลิกปุ่ม Write รอจนกว่าเครื่องโปรแกรมจะทำการโปรแกรมเสร็จ เป็นอันเสร็จสิ้นขั้นตอนการโปรแกรม

3.6 การประมวลผลของส่วนโปรแกรมควบคุม

การประมวลผลของส่วนโปรแกรมควบคุมของชุดติดตามกำลังไฟฟ้าสูงสุด มีขั้นตอนการทำงานดังนี้ คือ

1. เริ่มจากไมโครคอนโทรลเลอร์จะทำการวัดค่าแรงดันและกระแสที่ส่งมาจากชุดตรวจจับกระแสและแรงดัน โดยทำการแปลงค่าจากสัญญาณแอนาล็อกเป็นดิจิตอล (A/D Converter) โดยใช้โมดูลจากตัวไมโครคอนโทรลเลอร์ PIC18F455 ด้วยการเก็บค่าโปรแกรมควบคุมจากไมโครคอนโทรลเลอร์

2. นำค่ากระแสและแรงดันที่แปลงค่าแล้วนี้ไปคำนวณหาค่ากำลังงานที่แสดงเซลล์แสดงอาทิตย์ที่จ่ายออกมา นำค่ากำลังไฟฟ้า ณ ขณะนี้เก็บไว้เป็นค่าอ้างอิง ขณะเดียวกันทำการย้ายจุดการทำงานของระบบไปเล็กน้อยโดยการปรับตัวดีโอดีด้วยค่าเก็บโปรแกรมจากไมโครคอนโทรลเลอร์ และทำการสร้างสัญญาณพัลส์จากตัวไมโครคอนโทรลเลอร์ PIC18F455 นำไปขับมอเตอร์กำลังยัก

3. ทำการตรวจวัดค่ากำลังไฟฟ้าใหม่รับมาจากระบบเก็บค่ากำลังไฟฟ้า ณ จุดอ้างอิง

- หากค่ากำลังไฟฟ้าใหม่ที่เข้ามานี้มีค่ามากกว่ากำลังไฟฟ้า ณ จุดอ้างอิง มีทำการย้ายจุดการทำงานไปในทิศทางเดิมเล็กน้อย และทำการเก็บค่ากำลังไฟฟ้าใหม่นี้ไว้เป็นค่ากำลังไฟฟ้า ณ จุดอ้างอิงแทน แล้วทำการเปรียบเทียบจุดการทำงานใหม่ต่อไปเรื่อยๆ

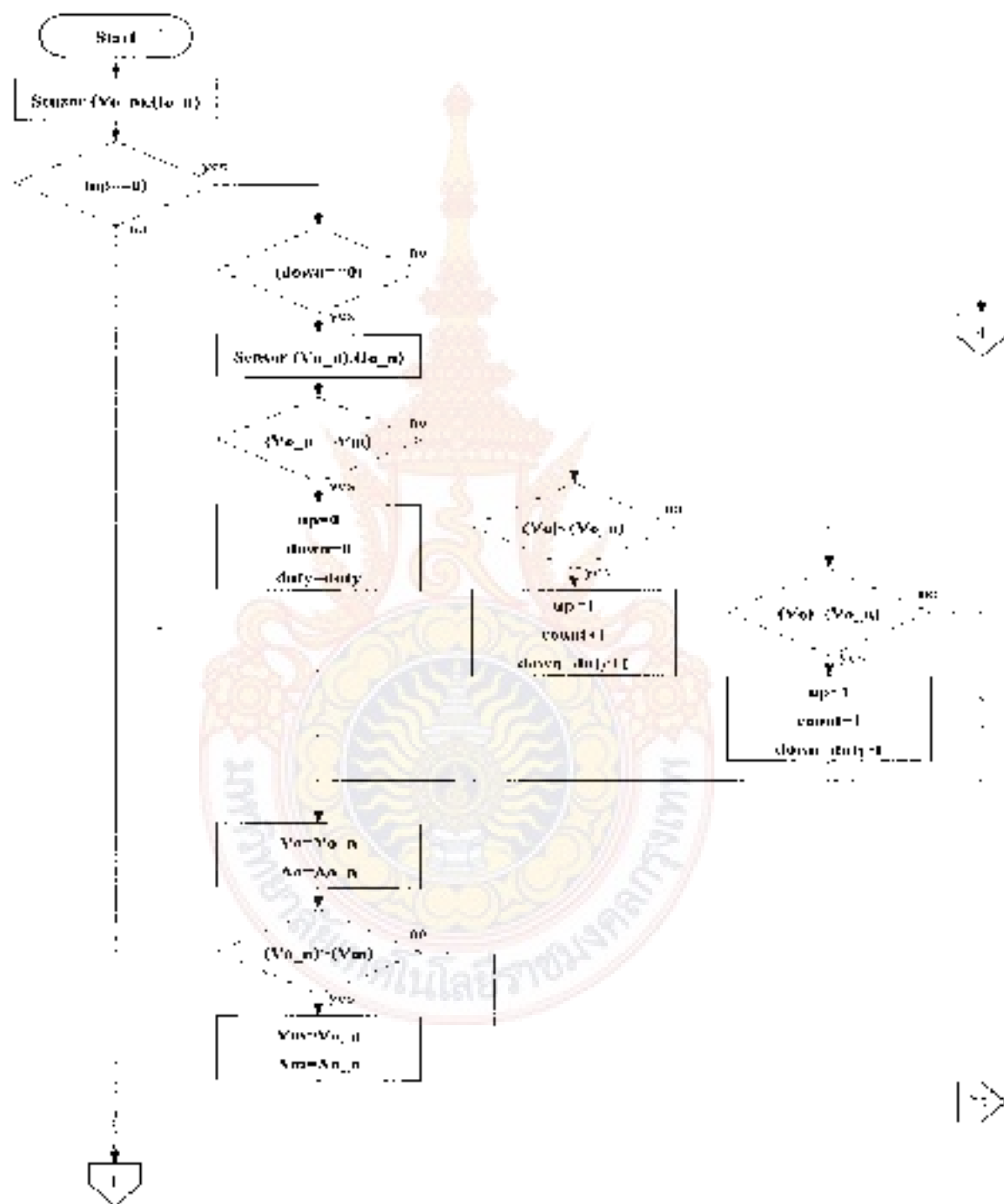
- หากค่ากำลังไฟฟ้าใหม่ที่เข้ามานี้มีค่าน้อยกว่ากำลังไฟฟ้า ณ จุดอ้างอิง ก็ทำการย้ายจุดการทำงานไปในทิศทางตรงกันข้ามกับทิศทางเดิมเล็กน้อย จนกว่าค่ากำลังไฟฟ้าที่นำมาเปรียบเทียบจะมีค่ามากกว่ากำลังไฟฟ้า ณ จุดอ้างอิง

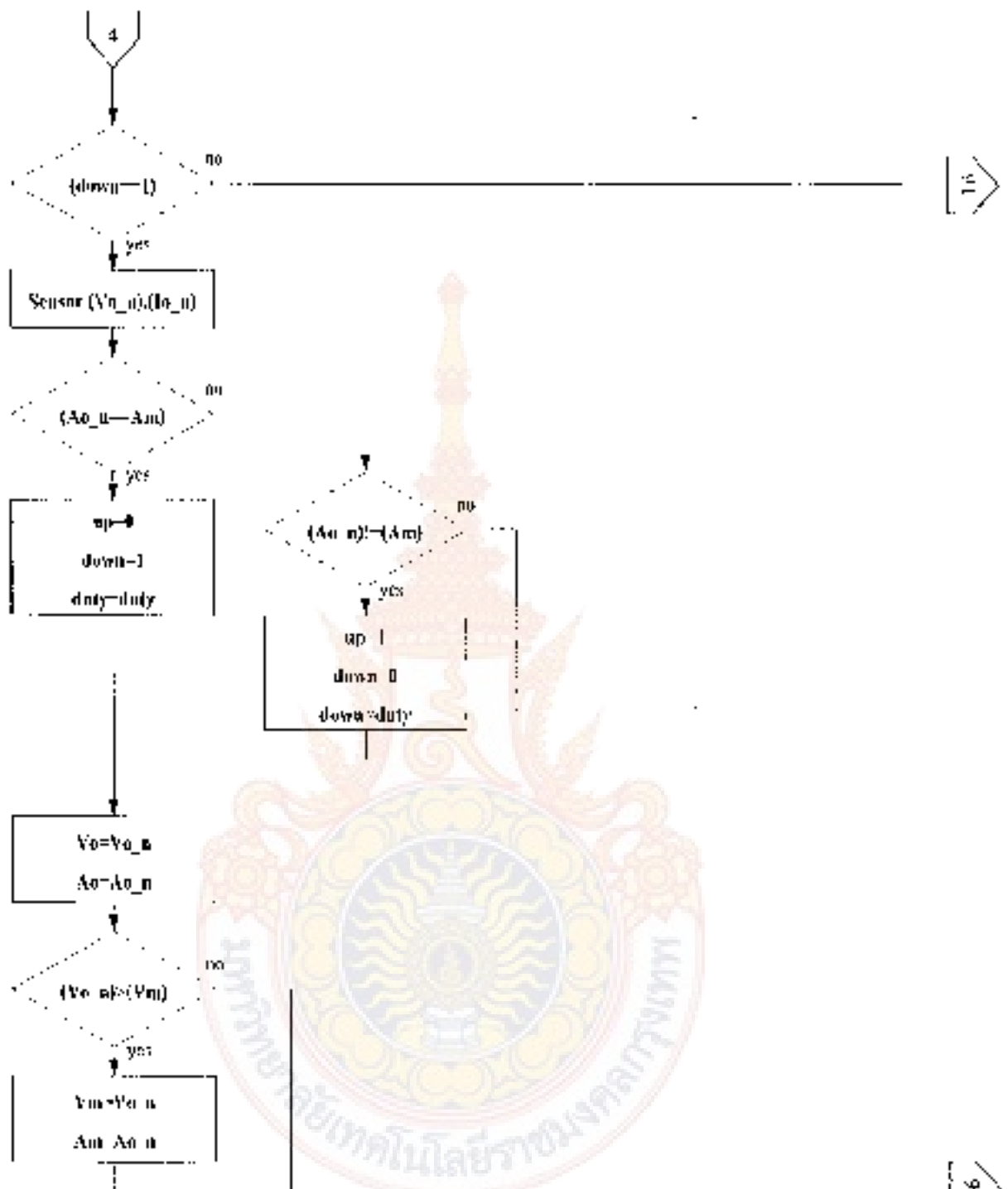
โปรแกรมจะทำงานวนรอบการทำงานนี้ไปเรื่อย ๆ เพื่อที่จะให้ได้ค่า ณ กำลังไฟฟ้าสูงสุดอยู่ตลอดเวลา แม้ว่าความเข้มแสงและอุณหภูมิขณะทำงานจะเปลี่ยนแปลงไปอย่างไรก็ตาม

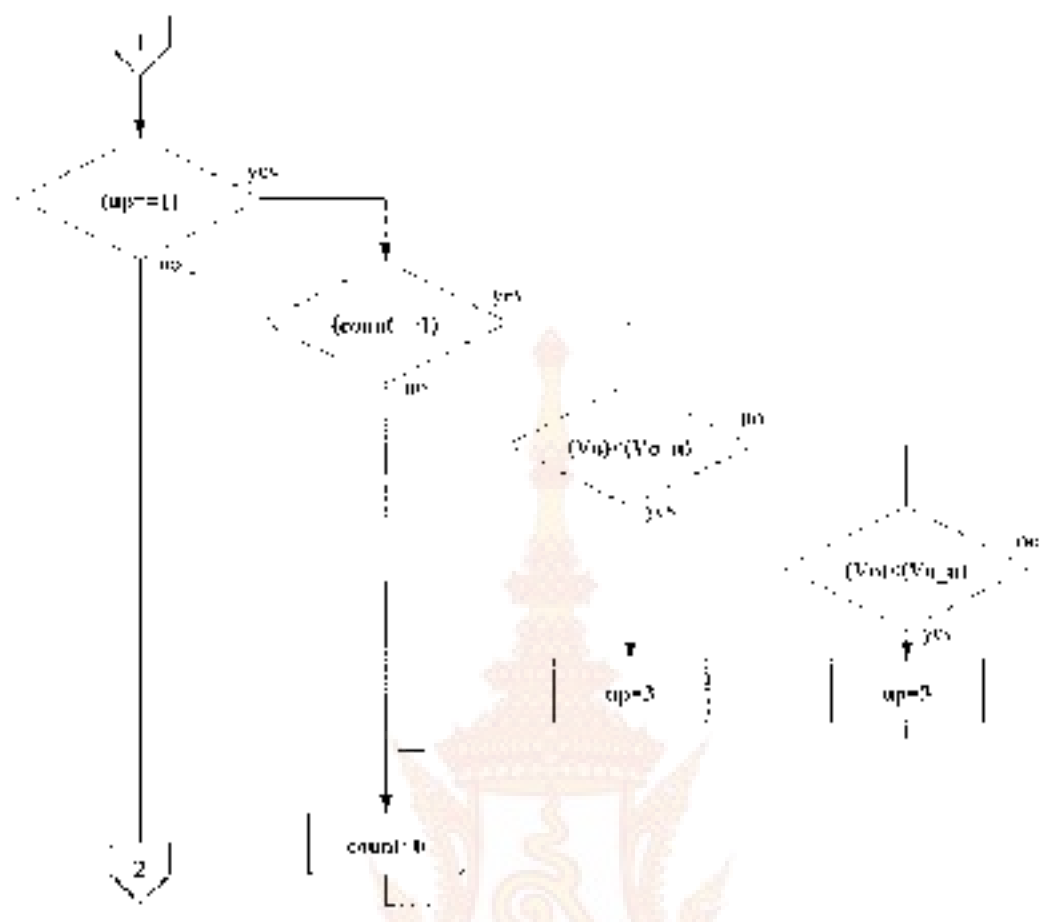
โดยหลักการทั้งหมดที่กล่าวมาข้างต้น สามารถนำมาใช้บนแผงโซลาร์เซลล์ ได้ดังรูปที่

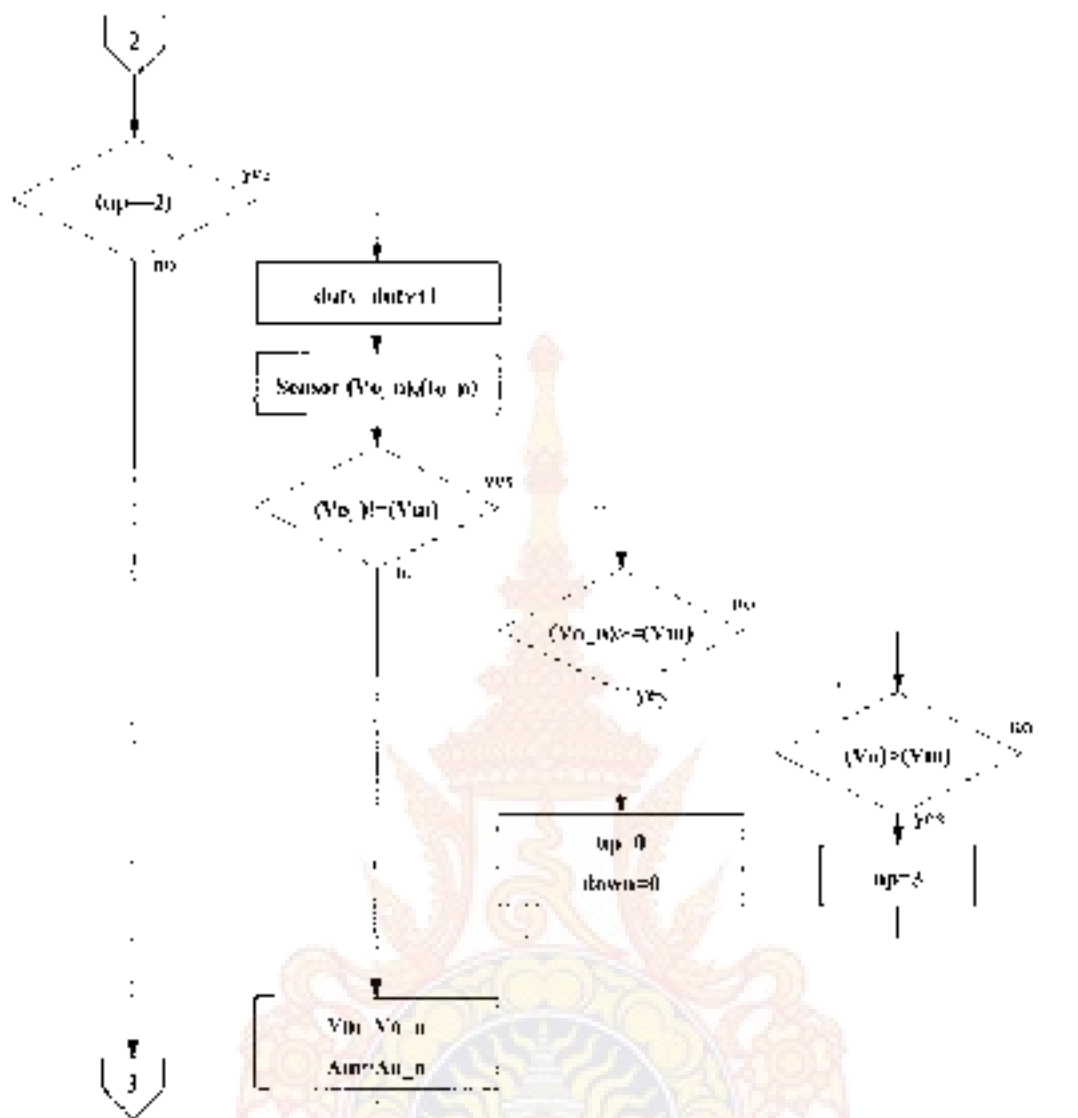
3.8 แสดงการทำงานของโปรแกรมควบคุมของชุดติดตามกำลังไฟฟ้าสูงสุด

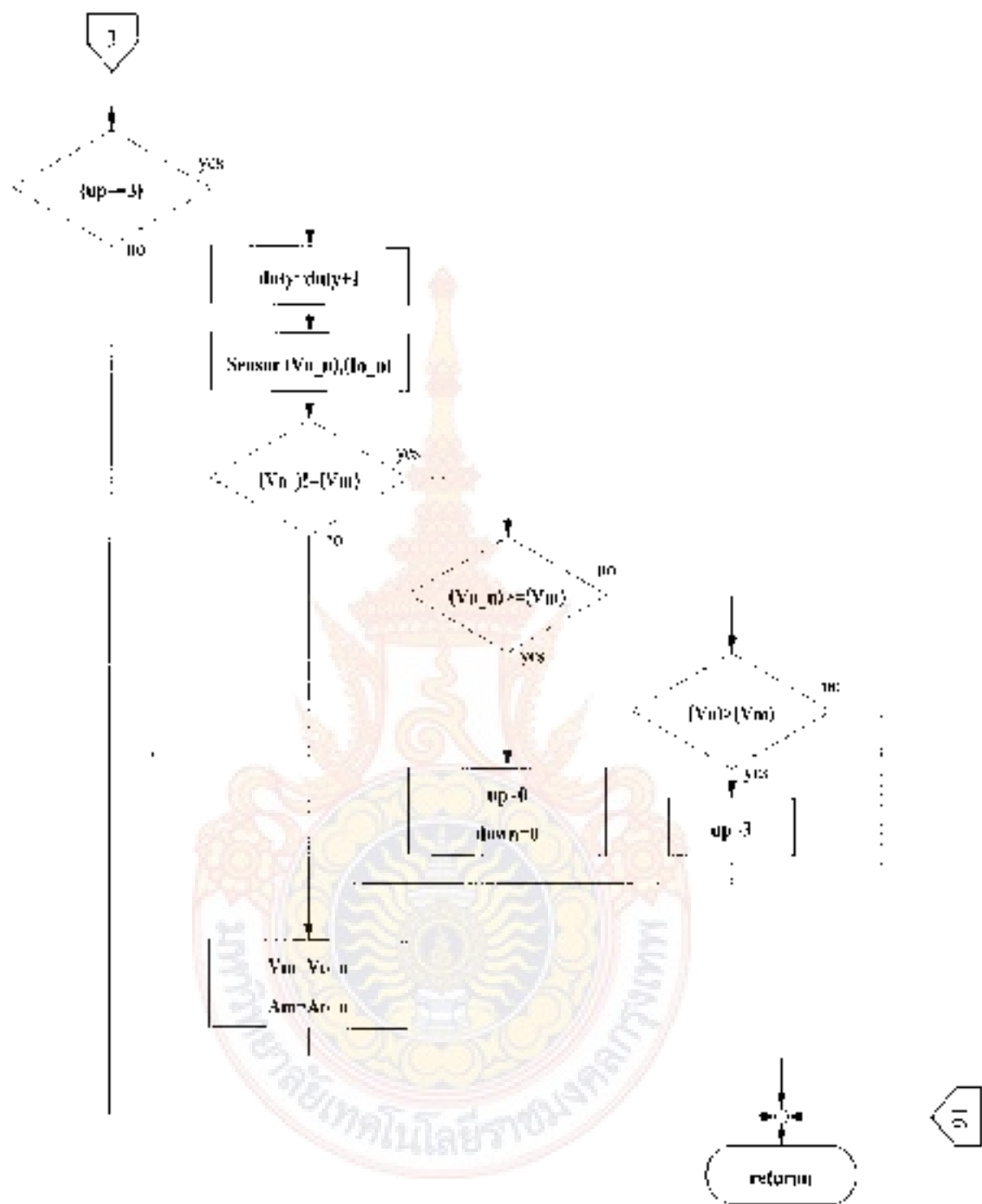
ขั้นตอนที่ ๒: ขั้นตอนของโปรแกรมการหาค่าความนำส่วนเพิ่ม (Incremental Conductance Method - incCond)





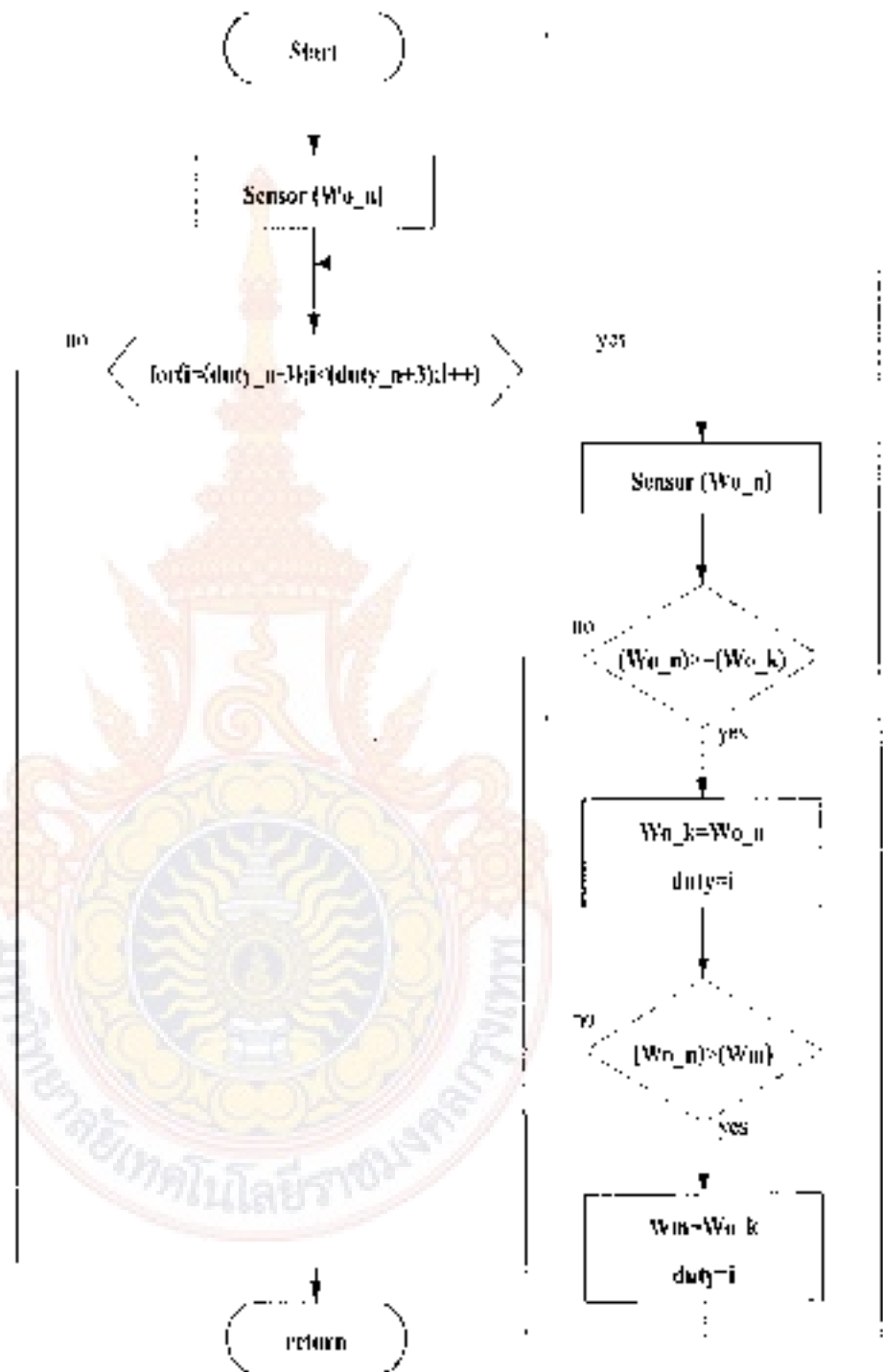






รูปที่ 3.8 (ก) ขั้นตอนการทำงานและโหนดกระแส

ขั้นตอนการทำงานของโปรแกรม ทดสอบวิธีการวัดและการสังเกตการณ์ (Perturbation and Observation Method P&O)



รูปที่ 3.8 (ข) ขั้นตอนการทำงานของโปรแกรม

3.7.3.2 วงจรกรองความถี่ต่ำผ่านทำหน้าที่เลือกที่จะปล่อยให้สัญญาณความถี่จากอินพุตที่มีแอมพลิจูดสัญญาณที่ต่ำกว่าความถี่คัตออฟของวงจรนำส่งเข้าในวีลิตการผิดพลาดได้ในกรณีจำกัด

3.7.3.3 ตัวควบคุมแบบพีไอทำหน้าที่เป็นตัวควบคุมในลูปป้อนกลับแบบต่อเนื่องซึ่งมี 4 ตัว

3.7.3.4 PWM ทำหน้าที่ควบคุมการสวิตช์ที่มอสเฟตซึ่งมีการสวิตช์ที่มุมค่าเฟสเกิน 90 องศา

3.7.3.5 วงจรกันแกตทำหน้าที่ทำ สวิตช์มอสเฟตที่มีการแยกวงจรควบคุมกับวงจรกำลังในแต่ละวงจรซึ่งมีวงจรกันแกตจำนวน 4 วงจร

3.7.3.6 วงจรตรวจจับแรงดันทำหน้าที่ตรวจจับแรงดันทางด้านแคโทดเพื่อที่จะนำเอาสัญญาณแรงดัน ส่งเข้าไปเป็นสัญญาณอินพุตของพอร์ต A/D ของไมโครคอนโทรลเลอร์

3.7.3.7 dsPIC ทำหน้าที่แปลงสัญญาณแอนะล็อกมาเป็นดิจิทัล และทำการประมวลผลข้อมูลสัญญาณแบบดิจิทัล เพื่อควบคุมให้แรงดันทางด้านแคโทดอยู่ที่

3.7.3.8 D/A ทำหน้าที่แปลงสัญญาณดิจิทัลเป็นแอนะล็อก

3.8 การออกแบบวงจรกำลังแบบขนาน 4 โมดูล

วงจรกำลังมอสต์ที่ซิงโครไนซ์คอนเวอร์เตอร์แบบขนาน 4 โมดูล จะประกอบด้วยอุปกรณ์ที่สำคัญ คือตัวเหนี่ยวนำความถี่สูง อุปกรณ์ที่กักเหนี่ยวนำที่ตัวเก็บ ประจุทางด้านเอาต์พุต วงจรกำลังต้องมีความสามารถทำงานได้ปกติที่ขนาดที่จมีกระแส แรงดันที่ใช้งานและความถี่ที่ใช้ในงานวิจัยนี้คือ 25 kHz ซึ่งเป็นความถี่ในการสวิตช์ของอุปกรณ์สวิตช์ และเนื่องมาจากแรงดันแคโทดพุต ที่ได้มาจากวงจรบูสต์ที่ซิงโครไนซ์คอนเวอร์เตอร์แต่ละตัวจึงมีส่วนของแรงดันกระแสเพื่อมอยู่ ดังนั้นจึงต้องผ่านวงจรกรองแรงดัน เพื่อลดแรงดันกระแสที่ตกในวงจรกำลังจะ ประกอบไปด้วยตัวกรองผลกแบบส่วนกลางๆ ดังนี้

3.8.1 การคำนวณพารามิเตอร์ตัวเหนี่ยวนำความถี่สูง

ในวงจรบูสต์ที่ซิงโครไนซ์คอนเวอร์เตอร์ ตัวเหนี่ยวนำนี้ อุปกรณ์ที่สำคัญมาก เนื่องจากมีหน้าที่ในการเก็บและคายพลังงานเป็นผลให้ระดับแรงดันทางด้านเอาต์พุตมีค่าสูงกว่าระดับแรงดันที่อินพุต การคำนวณพารามิเตอร์ของตัวเหนี่ยวนำสามารถหาได้จากสมการที่ (3.2)

$$L = \frac{V_o D}{f A I} \quad (3.2)$$

ค่าตัวคูณโพลาไรซ์ (D) เท่าใด

$$D = \frac{(E_p - V_c)}{E_c} = \frac{(60 - 26)}{60} = 0.57 \quad (3.3)$$

แทนค่าเพื่อหาค่าตัวเหนี่ยวนำ

$$L = \frac{26 \times 0.57}{25 \times 10^3 \times 1.5} = 395 \mu H \quad (3.4)$$

เมื่อได้ค่าของตัวเหนี่ยวนำแล้วจะหาค่าของแกนที่ใช้โดยเลือกชนิดของแกนเป็นแกนเฟอร์ไรต์เพราะมีค่าสูญเสียต่ำเมื่อทำงานที่ความถี่สูง การคำนวณขนาดใช้วิธีการคำนวณแบบ A_p (Area Approach) วิธีนี้เป็นกระบวนการที่ให้อัตรา T_{max} ซึ่งอยู่ในรูปของความหนาแน่นกระแสของลวดตัวนำ ($J = 100 - 1000 A/cm^2$) โดยคำนวณหาขนาดของแกนเฟอร์ไรต์ดังนี้

ขั้นตอนที่ 1 จากที่จัดกำหนดและข้อกำหนดในการคำนวณค่า A_p ในสมการที่ (3.4) กำหนดค่าต่าง ๆ ดังนี้ $J = 4 A/mm^2 = 4 \times 10^6 A/m^2$, $k = 0.65$, กระแสอิ่มตัว (I_{sat}) = 11.5A, กระแสอินพุทสูงสุด (I_{max}) = 12.25A, $\Delta I = 2(I_{max} - I_{sat}) = 1.5A$ และ $B = 0.5$ แทนค่า

$$A_p = \frac{I_{max} I_{sat}}{B_{max} J k} = \frac{395 \times 10^{-6} \times 12.25 \times 11.5}{0.5 \times 4 \times 10^6 \times 0.65} = 42,804 \times 10^{-9} = 42804 \mu m^2 \quad (3.5)$$

ขั้นตอนที่ 2 เมื่อขนาดของแกนเฟอร์ไรต์ที่มีค่า A_p มากกว่าที่ได้คำนวณจากขั้นตอนที่ 1 เนื่องจากมีค่า A_p น้อยกว่าที่คำนวณได้เราจะทำให้ไม่ได้ค่าต่าง ๆ ตามต้องการ เราจะเลือกใช้แกนเฟอร์ไรต์เบอร์ EE55/55/21 ซึ่งมีค่าต่าง ๆ ดังนี้

$$A_p = 43710 \mu m^2, A_w = 397 \mu m^2, S = 354 \mu m^2$$

ค่าตัวแปรจาก DataSheet ของแกนเฟอร์ไรต์เมื่อเทียบกับตัวแปรจากสูตร

- A_p คือ Effective core Volume (Ve) มีหน่วยเป็น mm^3 หรือ mm^2
- A_w คือ Cross-sectional winding area of core (A_{cw}) มีหน่วยเป็น mm^2
- S คือ Effective cross-sectional area (A_c) มีหน่วยเป็น mm^2

ตารางที่ 3.1 ค่าพารามิเตอร์ของแกนเฟอร์ไรต์เบอร์ EE55/56/21

Parameter		
Core factor	C1	มีผลขาด! วัสดุไม้
สามารถถูกสร้างจากการแม่เหล็กวัสดุ	0.348	
Effective magnetic path length	Le	มีผลขาด! วัสดุไม้
สามารถถูกสร้างจากการแม่เหล็กวัสดุ	123	
Effective cross-sectional area	Ae	มีผลขาด! วัสดุไม้
สามารถถูกสร้างจากการแม่เหล็กวัสดุ	354	
Effective core volume	Ve	มีผลขาด! วัสดุไม้
สามารถถูกสร้างจากการแม่เหล็กวัสดุ	43700	
Cross-sectional center leg area	Acp	มีผลขาด! วัสดุไม้
ไม่สามารถถูกสร้างจากการแม่เหล็กวัสดุ	351	
Minimum cross-sectional area	Acp min	มีผลขาด! วัสดุไม้
สามารถถูกสร้างจากการแม่เหล็กวัสดุ	341	
Cross-sectional winding area of core	Acw	มีผลขาด! วัสดุไม้
สามารถถูกสร้างจากการแม่เหล็กวัสดุ	387	
Weight (approx)		มีผลขาด! วัสดุไม้
สามารถถูกสร้างจากการแม่เหล็กวัสดุ	234	

ขั้นตอนที่ 3 จำนวนห้วงรอบของขดลวดตัวเหนี่ยวนำได้จากสมการที่ (3.5) กำหนดให้ $L = 395 \mu H$, $I_{max} = 12.25 A$, $B_{max} = 0.5 T$, $S = 354 mm^2$ แทนค่าเพื่อหาจำนวนรอบของขดลวดตัวเหนี่ยวนำ

$$N = \frac{LI_{max}}{B_{max}S} = \frac{395 \times 10^{-6} \times 12.25}{0.5 \times 354 \times 10^{-6}} = 27 \text{ รอบ} \quad (3.6)$$

ขั้นตอนที่ 4 จำนวนหน้าขนาดของขดลวดตัวเหนี่ยวนำ (A_w)

$$A_w = \frac{I_{rms}}{J} = \frac{11.5 A}{4 A/mm^2} = 2.87 mm^2 \quad (3.7)$$

ขั้นตอนที่ 6 เลือกเบอร์ดวงทองแดงที่มี A_2 ใหญ่กว่า A_1 ที่ได้จากการคำนวณ จากขั้นตอนที่ 4 โดยคำนวณเส้นผ่านศูนย์กลางของทองแดงได้จาก

$$d = \sqrt{\frac{4A_2}{\pi}} = \sqrt{\frac{4 \times 2.87 \text{ mm}^2}{\pi}} = 1.91 \text{ mm} \quad (3.8)$$

จากตารางเส้นขนาดลวดเบอร์ 12 AWG มีเส้นผ่านศูนย์กลาง 2.05 mm มากกว่าที่ได้คำนวณไว้ เนื่องจากเส้นผ่านศูนย์กลางมีผลต่อความหนาของกระแสไฟตรงในตัวที่น้อยกว่าที่คำนวณได้กระแสจะไหลได้ไม่เร็วที่ต้องการ

ขั้นตอนที่ 6 จำนวนหาพื้นที่หน้าตัดของลวดที่ใช้การวิ่ง ว่าสามารถนำไปใช้กับแกนเฟอไรต์ได้หรือไม่

$$A_2 = \frac{\pi d^2}{4} = \frac{\pi (2.05 \text{ mm})^2}{4} = 3.3 \text{ mm}^2 \quad (3.9)$$

$$W = \frac{N \times A_2}{k} = \frac{27 \times 3.3}{0.65} = 137 \text{ mm}^2 \quad (3.10)$$

W ที่ใช้ให้ต้องมีค่า $\leq 397 \text{ mm}^2$

ขั้นตอนที่ 7 หักวงกลมความยาวขดลวด Air Gap (l_g)

$$l_g = \frac{\mu_r N^2 S}{2l} = \frac{4\pi \times 10^{-7} \times 27^2 \times 354 \times 10^{-6}}{2 \times 395 \times 10^{-3}} = 0.004102 \text{ mm} \quad (3.11)$$

สรุปในวงกลมลวดดีที่ขดที่คอนเวอร์เตอร์แบบขนาน 4 โมดูล ใช้แกนเฟอไรต์ EE 55/55/21 ลวดเบอร์ 12 AWG จำนวนลวดที่พัน 27 ขด ความกว้าง Air Gap มีขนาด 0.004102 mm

3.8.2 การเลือกอุปกรณ์สวิตช์

อุปกรณ์สวิตช์ในวงจรสวิตซ์ที่คอนเวอร์เตอร์ควรเลือกอุปกรณ์ที่สามารถทำงานได้สัปดาห์ละ 24 ชั่วโมงในการวิ่งที่อุณหภูมิห้องเย็น ในงานวิจัยนี้ได้เลือกใช้ MOSFET กำลังค่าหนึ่งเป็นอุปกรณ์สวิตช์ เวลาในการสวิตช์อยู่ในช่วงนาโนวินาที และในวงจรสวิตช์เบอร์มอเลเฟตนั้นสามารถทำใช้ร่วมกับเพราะควบคุมด้วยแรงดันและกระแสอินพุตค่าต่างๆ เช่นนั้น

โดยได้เลือกใช้มิชเพดกำลังเบอร์ IRI-P 264 ของบริษัท International Rectifier ซึ่งมีคุณสมบัติคุณสมบัติต่างๆ ที่สำคัญดังนี้ ความต้านทานระหว่างขั้วแคโทดและขั้วแอโนด และนำกระแส $R_{\text{th(j-c)}} = 0.075 \text{ } \Omega$ ซึ่งมีค่าต่ำกว่าแรงดันตกคร่อมระหว่างขั้วแคโทดและขั้วแอโนด ($V_{\text{ce(sat)}}$) ที่ท้าวได้ 250 โวลต์ กระแสเดือตรง (I_{D}) สูงสุดที่ขั้วแคโทดให้ส่วนได้ 39 แอมป์ในเวลาสั้น ความยาวของพาเบอกริมสเฟล $t_{\text{D}} = 620 \text{ ns}$

3.8.3 การคำนวณหาตัวเก็บประจุที่ขั้วแคโทด

ในวงจรกำลังของวงจรบูสต์ดีซีที่ขั้วแคโทดแอโนดตัวเก็บประจุที่ขั้วแคโทดของวงจรมีหน้าที่ในการเก็บพลังงานที่ตกค้างประจุไฟฟ้าและทำการจ่ายแรงดันกลับให้กับขั้วแคโทดหรือโหลด หรือสามารถจะจ่ายไฟฟ้าเมื่ออุปกรณ์สวิตช์ turn ON และทำการเก็บประจุเมื่ออุปกรณ์สวิตช์ turn OFF ดังนั้นเจ้าเป็นต้องเลือกตัวเก็บประจุที่สามารถทนแรงดันได้เท่าหรือมากกว่าแรงดันขั้วแคโทด หากเลือกตัวเก็บประจุที่มีขนาดใหญ่มากจะมีผลช่วยในการลดแรงดันกระแสเพื่อสมทางกับขั้วแคโทด การคำนวณหาตัวเก็บประจุทางขั้วแคโทดหาได้จากสมการที่ (3.11)

$$C = \frac{I_{\text{D}} D}{f \Delta V_{\text{D}}} \quad (3.12)$$

แทนค่าเพื่อหาค่าตัวเก็บประจุทางขั้วแคโทด

$$C = \frac{16.67 \times 0.57}{25 \times 10^3 \times 0.6} = 633 \mu\text{F} \quad (3.13)$$

ดังนั้นควรเลือกขนาดตัวเก็บประจุทางขั้วแคโทดของวงจรที่มีค่าสูงกว่า $633 \mu\text{F}$ และแรงดันที่ทนได้ต้องไม่ต่ำกว่าแรงดันขั้วแคโทด งานวิจัยนี้ได้เลือกใช้ตัวเก็บประจุทางขั้วแคโทด $680 \mu\text{F}$ ทนแรงดันได้ 250 V

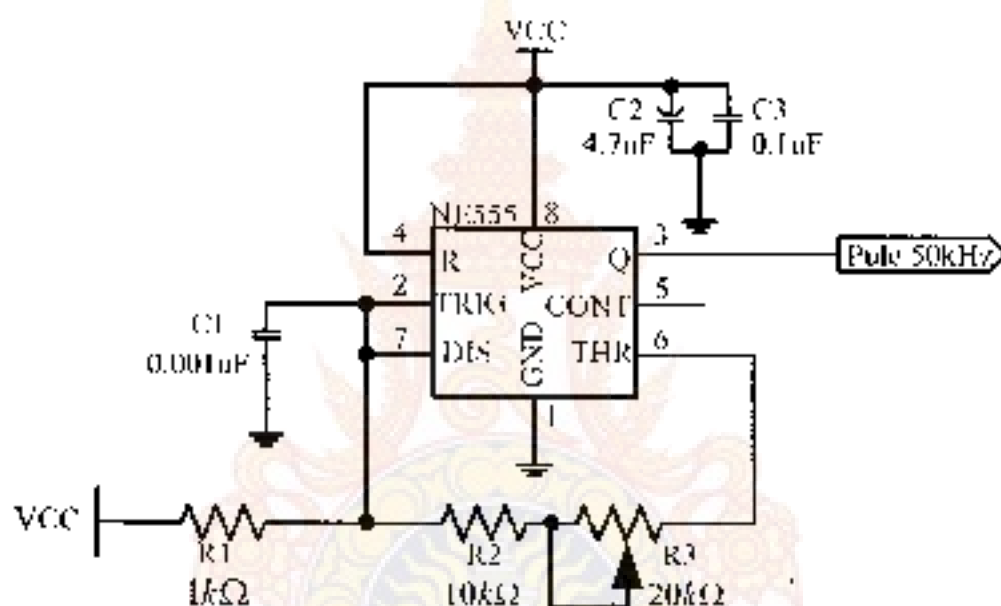
ในการเลือกตัวเก็บประจุมาใช้ค่าที่มีความจุที่สูงจะทำให้แรงดันกระแสเพื่อสมทาง ขั้วแคโทดมีค่าลดลง แต่ค่าความจุของตัวเก็บประจุจะต้องไม่น้อยกว่าค่าที่คำนวณได้ ถ้าเลือกตัวเก็บประจุที่มีความจุและอัตราทนแรงดันสูง ๆ ราคาจะสูงตามไปด้วยจึงต้องเลือกให้เหมาะสมกับการใช้งาน

3.8.4 การเลือกไดโอดกระแสสูง

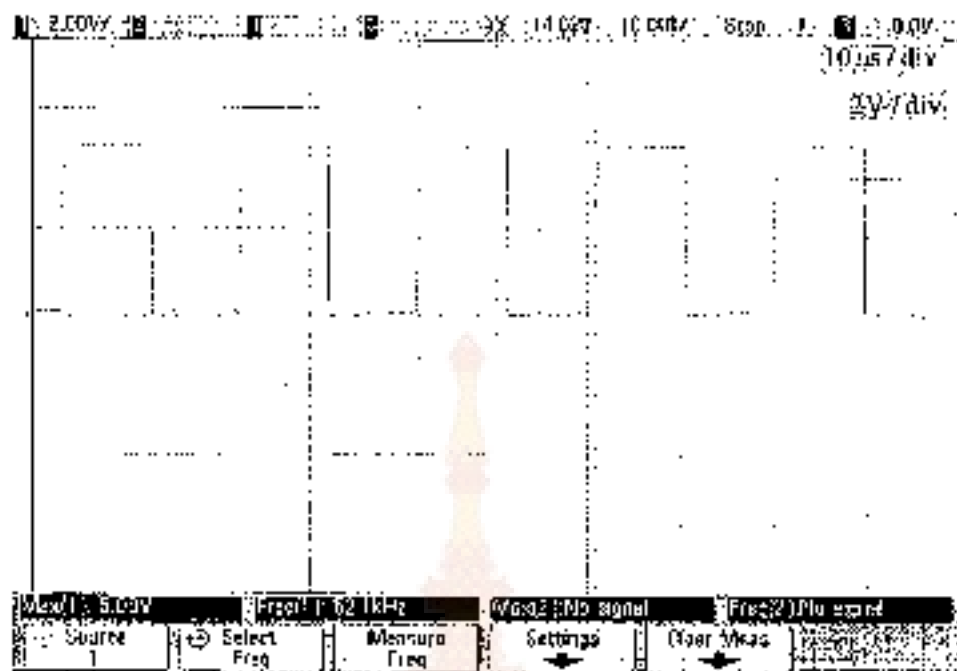
ไดโอดที่ใช้ในวงจรบูสต์ดีซีที่ขั้วแคโทดแอโนดเบอร์เบอร์แลบขนาน 4 โมดูล จะต้องมีคุณสมบัติที่สำคัญ คือค่ากระแสที่ความถี่สูงได้ มีแรงดันตกคร่อมขณะนำกระแสต่ำและควรพิจารณากระแสสูงสุดที่ไหลผ่านไดโอด และนำกระแสเฉพาะได้จากสมการที่ (3.14)

3.9.1 วงจรสร้างสัญญาณพัลส์กว้างจอก

ในการออกแบบวงจรรวมออสซิลเลเตอร์ตามลักษณะกว้างของพัลส์ สัญญาณพาหะที่ใช้ในการมอดูเลตเป็นสัญญาณสามเหลี่ยม โดยก่อนที่จะได้สัญญาณสามเหลี่ยม ในงานวิจัยนี้ทำการสร้างสัญญาณพัลส์กว้างจอกโดยใช้ไอซีเบอร์ NE555 ซึ่งเลขโมดูลีคือ เป็นไอซีไทเมอร์ที่นับเวลาที่มีความเที่ยงตรงสูงใช้ราคาต่ำ เสถียรภาพสูง ในงานวิจัยนี้จะถูกนำมาใช้สร้างสัญญาณพัลส์ที่มีความถี่ 50 kHz สามารถกำหนดความถี่ได้จก ค่าตัวเก็บประจุและตัวต้านทาน ดังที่ได้แสดงในวงจร ดังนั้นสัญญาณพัลส์นี้จะเป็นสัญญาณพัลส์ที่ใช้ในการสร้างสัญญาณสามเหลี่ยมสำหรับสัญญาณวิทยุการชน



รูปที่ 3.14 วงจรกำเนิดพัลส์กว้างจอกโดยใช้ไอซี NE555



รูปที่ 3.12 สัญญาณพัลส์สี่เหลี่ยม

จากคู่มือการใช้งานพื้นฐานของไอซีเนอ์ LM555 / NE555 / SA555 ของบริษัท Fairchild Semiconductor สามารถหาค่าของตัวใช้ใช้งานตามวงจรในรูปที่ 3.12 ได้จาก

$$f = \frac{1.44}{R_1 + 2(R_2)(C_1)} \quad (3.15)$$

เมื่อ $R_2 = R_2 + R_3$

เมื่อต้องการความถี่ 50 kHz กำหนดค่า $R_1 = 1 \text{ k}\Omega$ และ $C_1 = 0.001 \text{ }\mu\text{F}$ ดังนั้นสามารถคำนวณหาตัวประกอบต้านทาน R_2 และ R_3 ได้ดังนี้

$$50 \times 10^3 \text{ Hz} = \frac{1.44}{(1 \times 10^3 \Omega + 2R_2) \times (0.001 \times 10^{-6} \text{ F})} \quad (3.16)$$

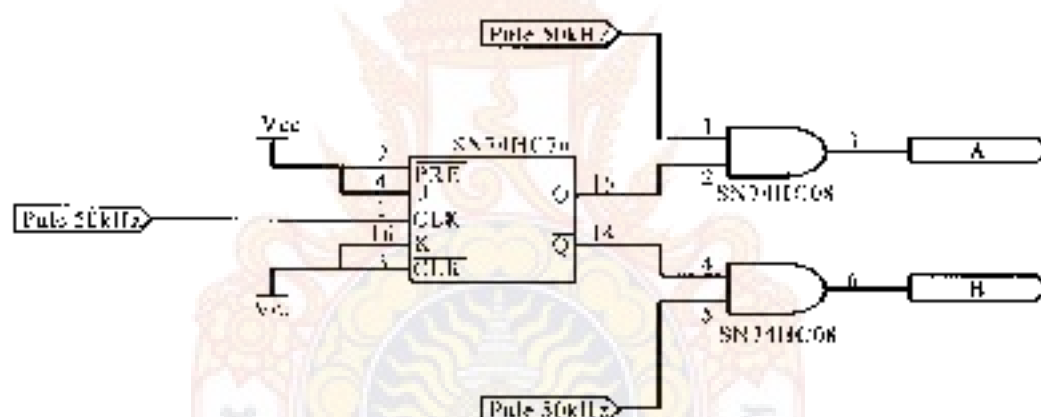
$$R_2 = \left(\frac{1.44}{(0.001 \times 10^{-6} \text{ F}) \times (50 \times 10^3 \text{ Hz})} - (1 \times 10^3 \Omega) \right) / 2$$

$$R_2 = 13.9 \text{ k}\Omega \quad (3.17)$$

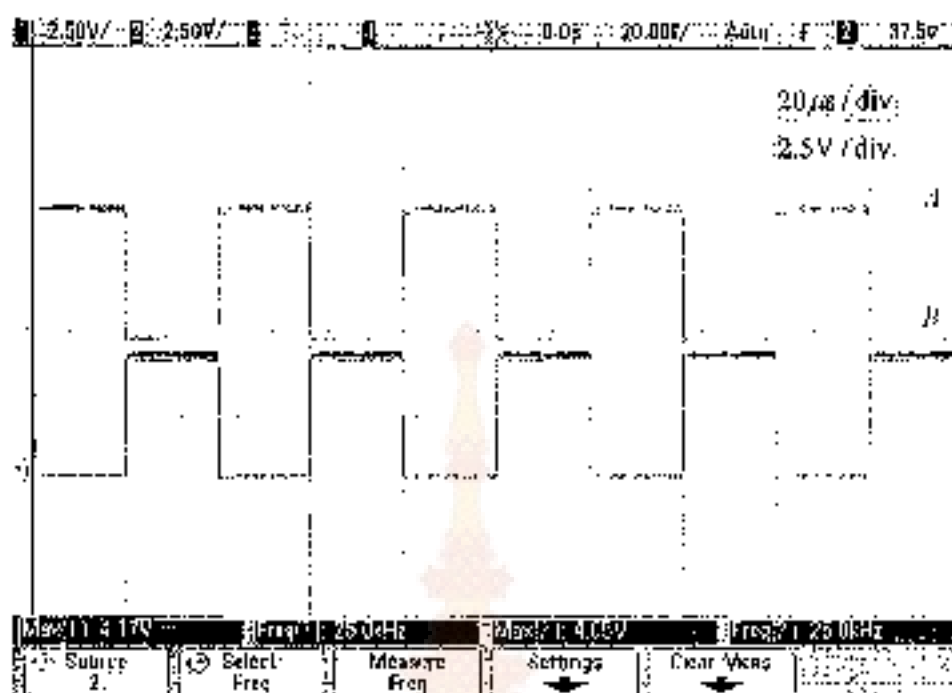
ในการใช้งานจริงอุปกรณ์อาจมีค่าความผิดพลาด ดังนั้นจึงเลือกใช้ตัวต้านทานรับ R_3 มีค่า $20 \text{ k}\Omega$ ร่วมกับตัวต้านทานค่าคงที่ R_2 ค่า $10 \text{ k}\Omega$ ทำให้วงจรนี้สามารถปรับเปลี่ยนความถี่ได้ตั้งแต่ $20 \text{ kHz} - 68.57 \text{ kHz}$ โดยปรับใช้ตัวต้านทานรับค่าได้ R_3

3.9.2 วงจรแบ่งสัญญาณพัลส์ให้มีความถี่ของเฟส 90 องศา

ในวงจรนี้วงจรแบ่งสัญญาณพัลส์ให้มีความถี่ของเฟส 90 องศา ดังนั้นเมื่อได้สัญญาณพัลส์อ้างอิงหลักที่ได้จากไอซีเบอร์รี่ NE555 สัญญาณพัลส์ก็จะถูกแบ่งเป็น 2 ส่วนโดยไอซีลอจิกเบอร์รี่ SN74HC76 โดยไอซีส่วนที่ 1 จะทำหน้าที่ Active High ที่ขอบขาขึ้น ไอซีส่วนที่ 2 จะทำหน้าที่ Active High ที่ขอบขาลง และส่งสัญญาณเข้าที่ไอซีเบอร์รี่ SN74HC08 ทั้งสองตัวก็จะได้รับสัญญาณพัลส์ 2 สัญญาณที่เฟสต่างกัน 180 องศาและคูณกับสัญญาณความถี่หลัก ดังนั้นจะพบว่าจะลดลงครึ่งหนึ่ง ดังรูปที่ 3.14 และสัญญาณพัลส์ก็ได้ดังรูปที่ 3.15

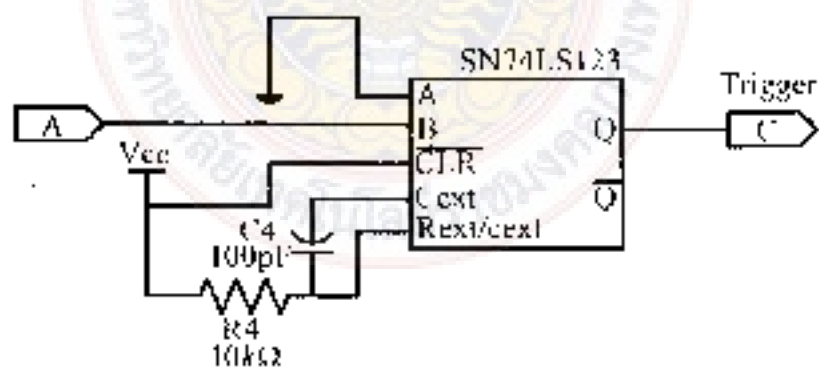


รูปที่ 3.13 วงจรลดความถี่สัญญาณพัลส์ให้เหลือ 25 kHz



รูปที่ 3.14 สัญญาณพัลส์ที่ถี่เรกั้น 150 มกศา และขบวนถี่ของพัลส์ 25 KHz

จากนั้นก็จะผ่านไฉนลอจิก 74LS123 เพื่อทำให้สัญญาณพัลส์ที่ได้มีคาบพัลส์ขมพัลส์
กัน 90 มกศา ดังภาพที่ 3.8



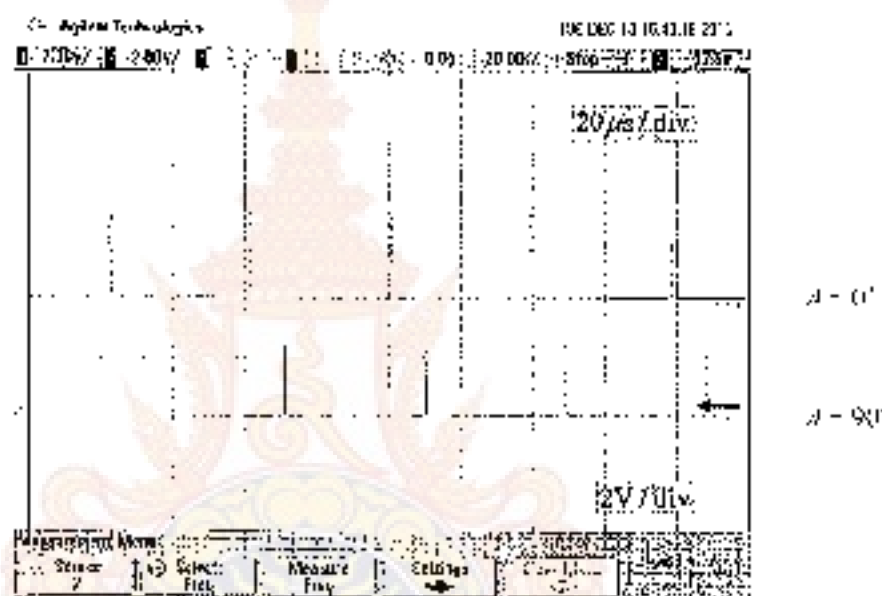
รูปที่ 3.15 วงจรสร้างสัญญาณเรกดันที่มีคาบพัลส์ขมพัลส์กัน 90 มกศา ของจุด A

ในการคำนวณค่าเวลาของไมโครสแตเบิ้ล (t_w) สามารถคำนวณได้จาก

$$t_w = R_1 \times C_1 \quad (3.18)$$

แทนค่า $C_1 = 100 \mu F$ ดังนั้น $R_1 = \frac{1 \times 10^{-3} s}{100 \times 10^{-6} F} = 10 k\Omega \quad (3.19)$

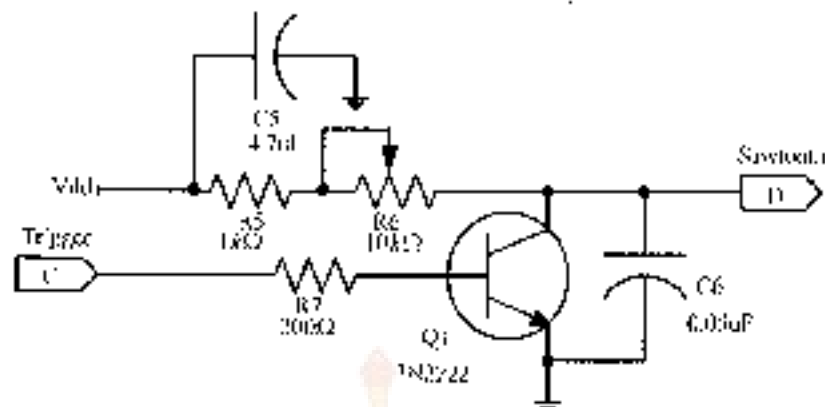
ไอซีสัญญาณนาฬิกาที่นำมาใช้จากไอซีเบอร์ 74LS123 ที่แสดงตัวจะได้ออกมาเป็นสัญญาณนาฬิกา ต้นๆละจำนวน 2 พัลส์ที่มีการเลื่อนเฟสกัน 90 องศา ดังรูปที่ 3.16



รูปที่ 3.16 สัญญาณนาฬิกาต้นๆที่ออกมาจากไอซี 74LS123 ของจุด A

3.9.2 วงจรสร้างสัญญาณนาฬิกาเลื่อน

หลังจากที่ได้สัญญาณนาฬิกาต้นๆจากวงจรข้างต้นจำนวน 4 จุด ซึ่งมีการเลื่อนเฟสกันเฟสละ 90 องศา จากนั้นจะต้องสร้างสัญญาณนาฬิกาสามเหลี่ยมที่มีการกำหนดให้มีช่วงเฟสเฟสกัน เฟสละ 90 องศา จำนวน 4 จุดโดยใช้หลักการของการเก็บและคายประจุของตัวเก็บประจุที่เกิดจากการเปิดปิดสวิทช์ของทรานซิสเตอร์เบอร์ 2N2222 เพื่อทำให้เกิดสัญญาณสามเหลี่ยมที่มีแอมพลิจูด 5 V สำหรับใช้ในการมอดูเลตกับสัญญาณเคาร์rier กระแสอิมพัลส์ให้เป็นสัญญาณวิทยุส่งทางไกล สำหรับนำไปใช้วงจรรับนำไมโครเวจรับนำภาคเพื่อควบคุมการทำงานของมอเตอร์เฟส



รูปที่ 3.17 วงจรสร้างสัญญาณสามเหลี่ยม

จากรูปที่ 3.17 เพื่อให้ได้ผลการคำนวณค่าหนด $R_2 = R_1 + R_3$ ในโปรแกรมนี้ ต้องวางสัญญาณสามเหลี่ยมที่มีค่าความถี่ 25 kHz ซึ่งมีความแอมพลิจูด 40 μs และจุดสูงสุดของสัญญาณสามเหลี่ยม 5V เลือกใช้ตัวเก็บประจุ C_1 มีค่า 0.05 μF สามารถคำนวณค่า R_1 ได้จาก

$$V_o - V_i = (V_o - V_{CE})e^{-t/R_1C_1} \quad (3.20)$$

- เมื่อ V_o คือ ความแรงของสัญญาณสามเหลี่ยม ณ เวลาที่ต่องาน
 V_i คือ แรงดันไฟเลี้ยงที่ป้อนให้วงจร
 V_{CE} คือ แรงดันที่ค้างที่ตัวเก็บประจุจนการประจุมีค่า V_{CE} ของ
 ทรานซิสเตอร์ = 0.3V
 t คือ ความแอมพลิจูดของสัญญาณสามเหลี่ยม

แทนค่าดังนี้

$$5 = 15 - (15 - 0.3)e^{-40 \times 10^{-6} / (R_1 \times 0.05 \times 10^{-6})} \quad (3.21)$$

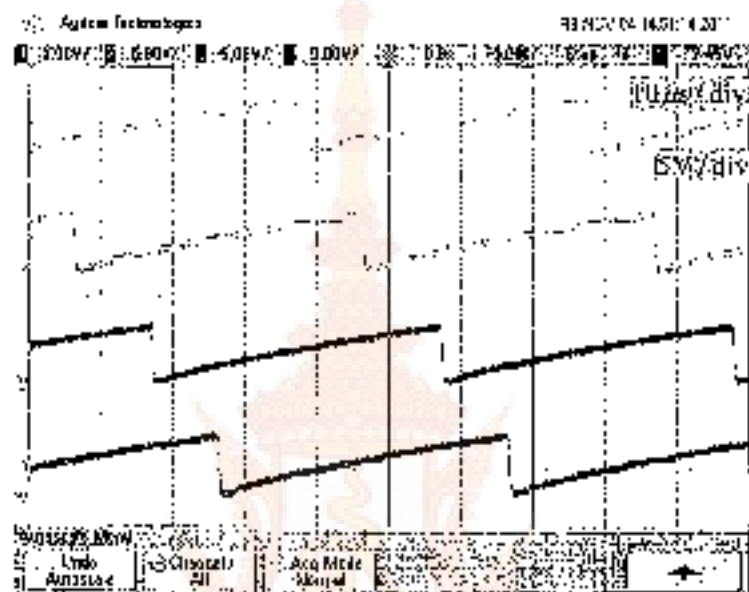
$$5 = 15 - \frac{14.7}{e^{4000/R_1}}$$

$$e^{4000/R_1} = \frac{14.7}{10} = 1.47$$

$$\frac{800}{R_1} \ln e = \ln 1.47$$

$$R_1 = 800 \cdot \frac{\log e}{\log 1.47} = 2.1 k\Omega \quad (3.22)$$

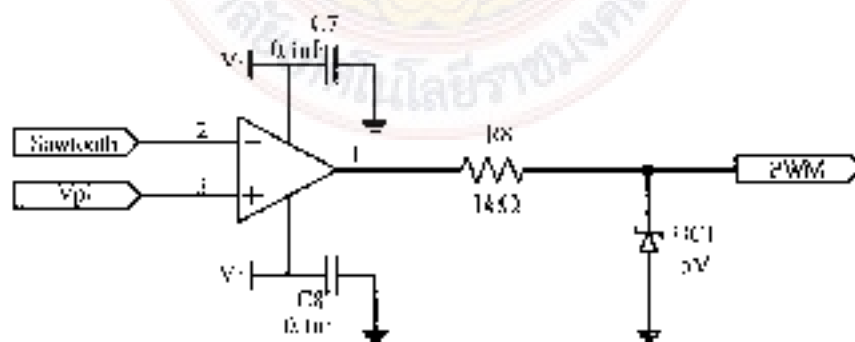
ในการใช้งานจริงอาจมีค่าผิดพลาดที่เกิดจากอุปกรณ์ไม่ได้ ดังนั้นจึงเลือกใช้งานค่า R_1 เป็นตัวต้านทานที่รับค่าได้ $R_1 = R_1 + R_0$ จึงเลือกใช้งานค่า $R_1 = 1k\Omega$ ต่ออนุกรมกับตัวต้านทานรับค่า R_0 ค่า $10k\Omega$ จะได้สัญญาณแอมพลิไทม์ดังรูปที่ 3.18



รูปที่ 3.18 สัญญาณสามเหลี่ยมที่ได้จากการแอมพลิไทม์ 2N2222

3.9.4 วงจรรวมออสซิลเลชันความถี่สูงของสัญญาณพัลส์ (PWM)

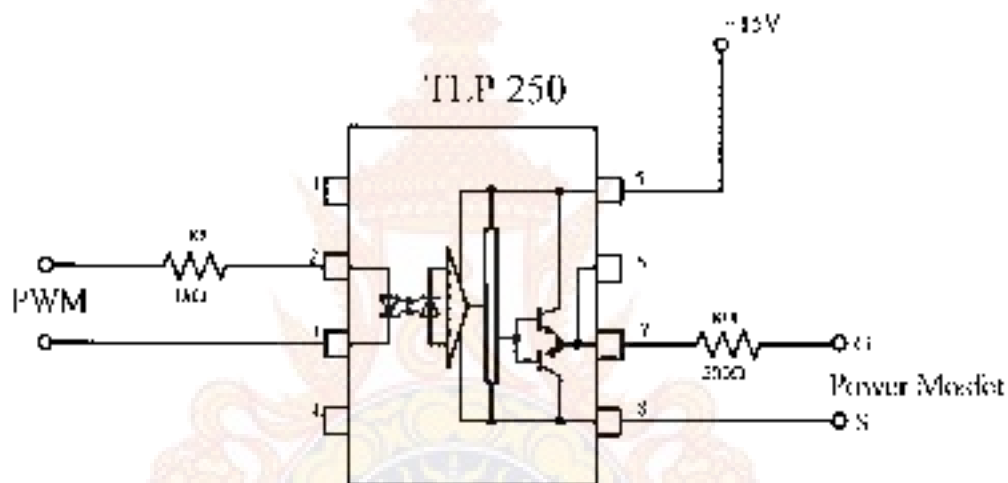
วงจรวมออสซิลเลชันทำหน้าที่รวมออสซิลเลชันสัญญาณที่ได้จากตัวควบคุมในรูปไปลาของกระแสกับสัญญาณพาหุที่เป็นสัญญาณสามเหลี่ยมวงจรวมออสซิลเลชันความถี่สูงของสัญญาณพัลส์หรือสัญญาณแอมพลิไทม์แอมป์ แสดงดังรูปที่ 3.19



รูปที่ 3.19 วงจรวมออสซิลเลชันสัญญาณพัลส์แอมพลิไทม์

จากรูปที่ 3.19 สัญญาณที่ได้จากตัวควบคุมในลูบกระแส จึงเป็นสัญญาณที่ใช้ในการควบคุมกระแสของวงจรแปลงผันสัญญาณที่ได้ไปจะเป็นลักษณะแรงดันโวลต์จากระบบตรงที่มีระดับตั้งแต่ 0 V จนถึง 5 V ถูกส่งตัวไปเปรียบเทียบกับสัญญาณความถี่แกนโดยใช้ชิปเปรียบเทียบ TL084 ทำเป็นวงจรเปรียบเทียบ ดังนั้นสัญญาณเอาต์พุตจะได้เป็นสัญญาณพัลส์บิตวินเอม (Pulse Width Modulation) แต่สัญญาณเอาต์พุตที่ได้จะมีระดับค่าความสูงของยอดเท่ากับแรงดันของแหล่งจ่าย เพื่อให้ได้สัญญาณที่มีความเหมาะสมที่จะเข้าวงจรขับมอเตอร์จะต้องมีการตัดยอดคลื่นออกไปโดยใช้ดีโวลต์โวลต์ขนาด 5V มาต่อที่ขาเอาต์พุตเพื่อให้สัญญาณเอาต์พุตมีระดับความสูงไม่เกิน 5V หลังจากได้สัญญาณนี้จะถูกส่งเข้าวงจรขับมอเตอร์ต่อไป

3.9.5 วงจรขับมอเตอร์ด้วยไอซี TLP250



รูปที่ 3.20 วงจรขับมอเตอร์ด้วยไอซีที่เบอร์ TLP250

เพื่อความสะดวก และให้วงจรทำงานขนาดเล็กจึงใช้ไอซีสำเร็จรูป TLP250 ขนาด 8 พิน ดังแสดงวงจรขับมอเตอร์ไว้ดังรูปที่ 3.20 จากวงจรสัญญาณเข้าเป็นสัญญาณที่ถูกส่งมาจากวงจร มอเตอร์ตามความถี่ของพัลส์ที่มีขนาดแรงดัน 0V ถึง 5V โดยจะวัดสัญญาณเข้าที่ขา 2 และขา 3 เพื่อที่จะทำการไบอัสให้แก่วोलต์โวลต์แปลงแสงที่ต่อระหว่างขา 2 และขา 3 ทางกันขุด โดยจะต้องค่าความต้านทาน 1kΩ เพื่อให้มีกระแสไหลผ่านไปถึงโวลต์แปลงแสงไม่สูงเกินไปจนเกิดความเสียหาย ส่วนขาเอาต์พุตที่ขา 7 ให้แรงขับมีขนาดเท่ากับ 15 V โดยที่แรงขับจากแหล่งจ่ายไฟจากชุดวงจรจ่ายไฟเล็ก ๆ

3.9.6 วงจรควบคุมกระแสแบบพีโอ

วงจรถามควบคุมกระแสเป็นวงจรถามหน้าที่ควบคุมให้ระดับการจ่ายกระแสคงที่ ถึงแม้ว่าโหลดทางไฟฟ้าจะมีการเพิ่มขึ้นโดยวงจรนี้จะใช้วงจรเปรียบเทียบ (Summing) โดยใช้

กลายแอมป์โมดูล์ TL082 ในวงจรดังรูปที่ 3.21 ออกแอมป์ในตัวที่ OP02A ต่อเป็นโหมด Inverting Mode มีอัตราขยายเท่ากับ 1 สัญญาณเข้าให้แยกจุดนี้คือสัญญาณแอมป์มีผลเสียดาตาคงแรงดัน (V_{in}) และถูกส่งต่อไปยังวงจรควบคุมต่อไป โดยในโครงการนี้เลือกใช้ตัวควบคุมแบบพีโคสมการตัวควบคุมกระแสแสดงในสมการที่ (3.23)

$$\frac{V_{out}(s)}{V_{in}(s)} = K_p \left(1 + \frac{1}{Ts}\right) \quad (3.23)$$

โดยที่อัตราขยายของ K_p หาได้จากสมการ (3.24)

$$K_p = \frac{R_{12} + R_{22}}{R_{11}} \quad (3.24)$$

ในการออกแบบกำหนดให้ค่าความต้านทาน $R_{11} = 100k\Omega$ และ $R_{12} = 37k\Omega$ แทนลงในสมการที่ (3.24) จะได้ค่าขยาย คือ

$$K_p = \frac{100 + 37k\Omega}{20k\Omega} = 1.855 \quad (3.25)$$

และค่าเวลาหาได้จากสมการที่ (3.26)

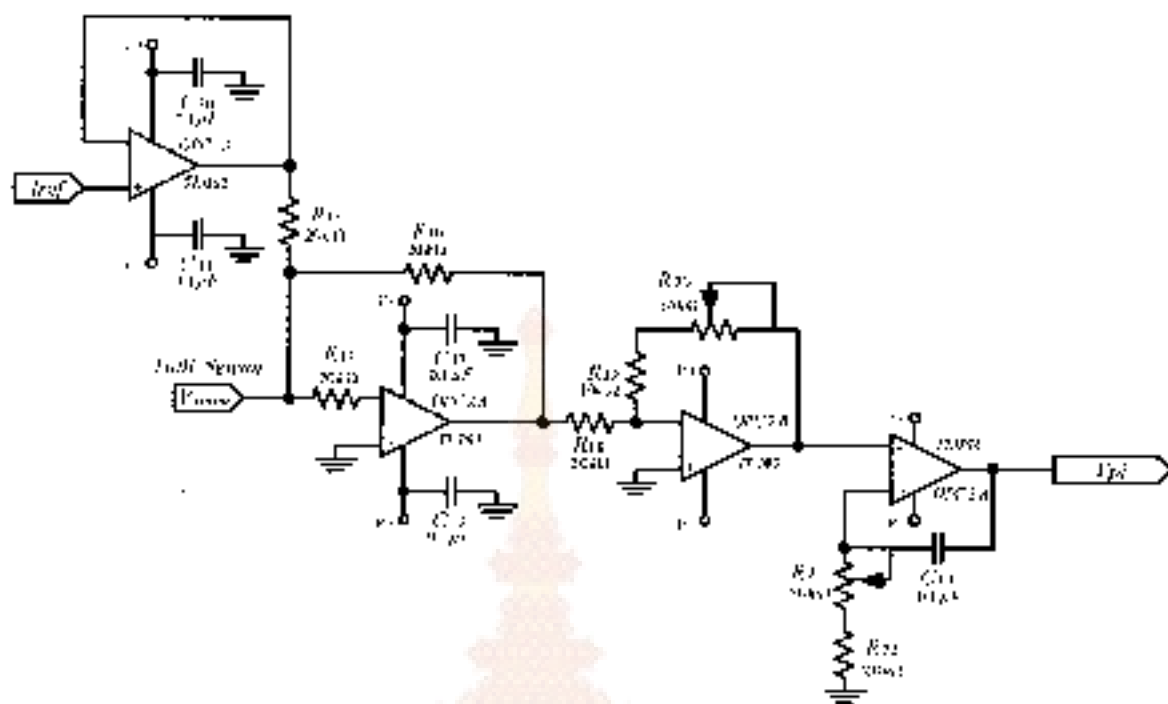
$$T_s = (R_{11} + R_{22})C_{11} \quad (3.26)$$

ซึ่งในการออกแบบกำหนดให้ค่าความต้านทาน $R_{11} = 50k\Omega$ และ $R_{22} = 20k\Omega$ และตัวเก็บ

ประจุ

$C_{11} = 0.1\mu F$ แทนค่าที่ได้ลงในสมการที่ (3.27)

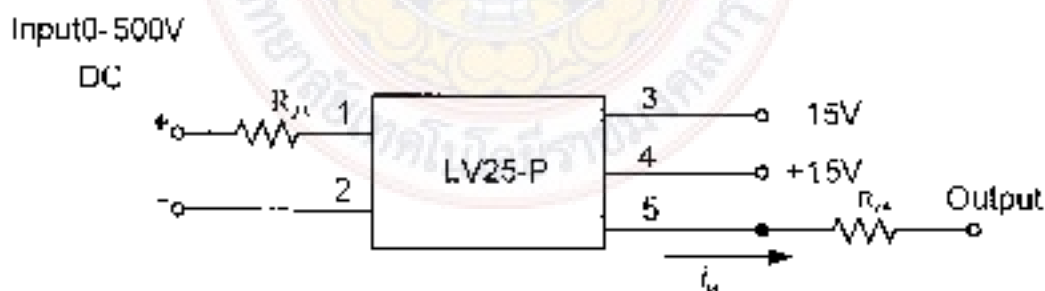
$$T_s = (50k\Omega + 20k\Omega) \times 0.1\mu F = 0.007s \quad (3.27)$$



รูปที่ 3.21 วงจรขยายสัญญาณแบบสามเฟส

3.9.7 วงจรตรวจอิมแรงดัน

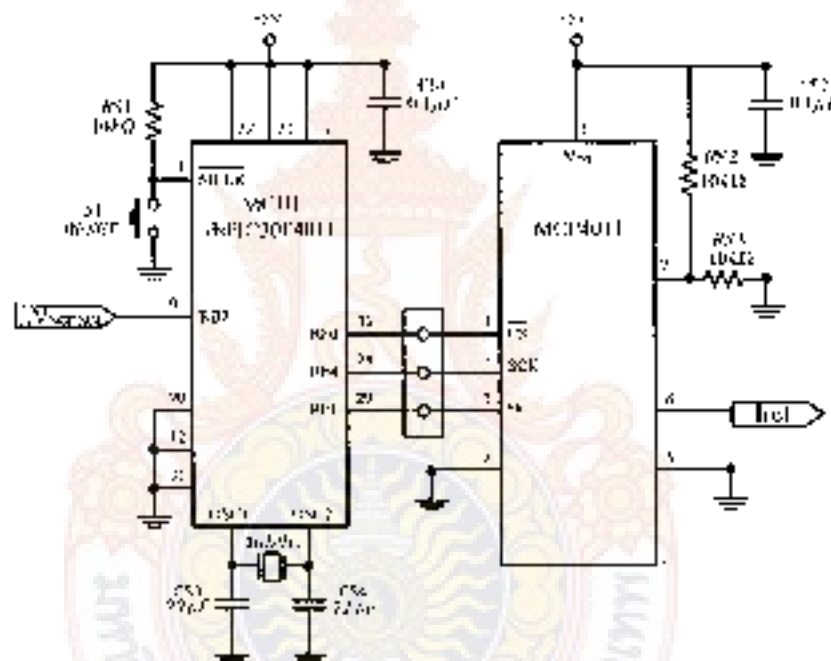
ในรูปที่ 3.22 จะเป็นวงจรตรวจอิมแรงดันจะใช้ Voltage Transducers ยี่ห้อ LEM รุ่น LV25-P สามารถวัดแรงดันได้ตั้งแต่ 0-500 V มีอัตราส่วนความไวสูงคือ 500V/50mA ดังนั้น เมื่อวัดจะมีค่าแรงดันที่น้อยเกินไปหากเราใส่ค่าความต้านทาน R_{s1} เพื่อที่จะนำเอาสัญญาณแรงดันที่ลดทอน R_{s1} ส่งตัวไปเป็นสัญญาณผ่านเซ็นเซอร์ของบอร์ด Analog to Digital (A to D) ของไมโครคอนโทรลเลอร์



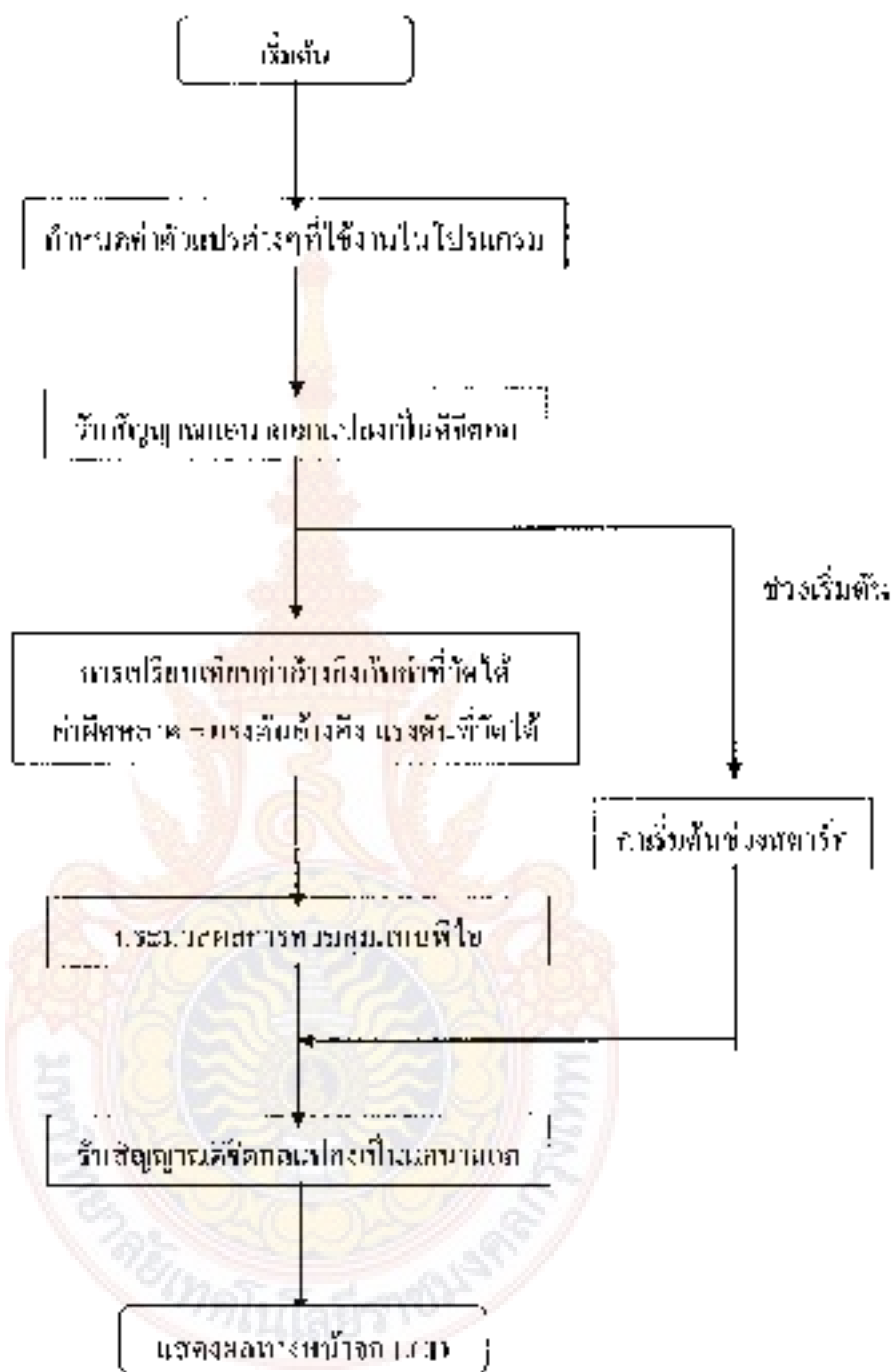
รูปที่ 3.22 สัญลักษณ์และวงจรตรวจอิมแรงดัน

3.9.8 วงจรควบคุมรักษาแรงดันแรงดัน

วงจรควบคุมรักษาแรงดันและค่าพิกัดที่รักษาระดับแรงดันให้คงที่ 60 V โคม ใช้ไมโครคอนโทรลเลอร์เบอร์ dsPIC30F4011 สามารถรับสัญญาณจากการตรวจจําแรงดันทางตัวเบรกที่ชุดและส่งไปดึงเข้า ADC ของไมโครคอนโทรลเลอร์ เพื่อแปลงสัญญาณแอนะล็อกเป็นดิจิทัล และทำการประมวลผลพร้อมส่งข้อมูลสัญญาณแบบดิจิทัล จากนั้นจะให้ไอซีเบอร์ MCP4011 เพื่อแปลงสัญญาณดิจิทัลเป็นแอนะล็อก จะใช้งานในโหมด SPI ของ dsPIC30F4011 ไอซีจะสร้างแรงดันแกนกลางค่าเฉลี่ย 5 V บัด เนื่องจากเป็นสัญญาณอยู่ปรกติให้ใช้ติดต่อกับหน่วย SPI เพื่อส่งข้อมูลไปยังการควบคุมในรูปของกระแสใน...แต่ละลูกระแสให้เพิ่มขึ้นหรือลดลงจนกระทั่ง



รูปที่ 3.23 ไมโครคอนโทรลเลอร์เพื่อสร้างตัวควบคุมแบบพีไอ



รูปที่ 3.24 แผนภูมิแสดงกระบวนการสร้างงานของโปรแกรมการตลาดของไมโครคอนโทรลเลอร์

บทที่ 4

ผลการวิจัย

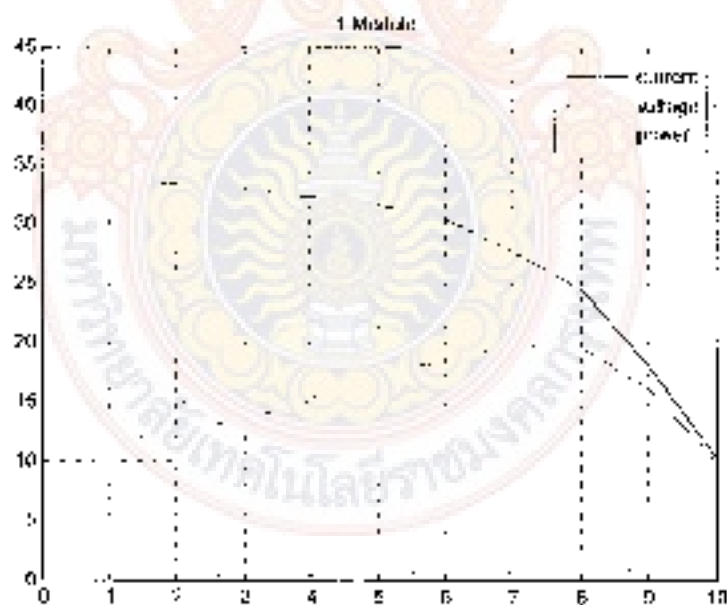
การทดสอบคอนเวอร์เตอร์ในระบบนาฬิกาที่ใช้เสนอประกอบด้วยการทำงานเก็บข้อมูลการผลิตไฟฟ้าจากเซลล์แสงอาทิตย์บริเวณลาดฟ้าของอาคาร 48 สาขาวิชาวิศวกรรมไฟฟ้า และวิศวกรรมศาสตร์ มหาวิทยาลัยราชภัฏนครราชสีมา ช่วยขนานแรงดันและกระแสไฟฟ้าที่ได้นำไปโปรแกรมนลงในแหล่งจ่ายไฟฟ้ากระแสตรงเพื่อเป็นแหล่งจ่ายจำลองไฟฟ้าจากเซลล์แสงอาทิตย์ และเมื่อทำการทดสอบอัลกอริทึม MPPT ทั้งสองโปรแกรมนี้จะสามารถติดตามจุดให้กำลังไฟฟ้าสูงสุดได้ ส่วนผลการผลที่ได้จากกรวยออกแบบสร้างวงจรรูปสแตตัสซีพียูซีพียูคอนเวอร์เตอร์แบบขนาน 4 โมดูล ซึ่งผลทดสอบการทำงานของระบบมองออกเป็นสองส่วนคือ ส่วนการจำลองการทำงานกรวยระบบโดยใช้โปรแกรม MATLAB/Simulink และส่วนของการทดสอบการทำงานและเวลาจริง ทั้งสภาวะคงตัว (Steady State) และไทม์ทราบดีนนิ่ง (Transient State) เพื่อศึกษาพฤติกรรมของระบบต่อการเปลี่ยนแปลงภาระ จึงได้เก็บมาแล้วจึงผลการทดสอบวงจรรูปสแตตัสซีพียูซีพียูคอนเวอร์เตอร์แบบขนาน 4 โมดูลที่สร้างขึ้นได้ทำการทดสอบมีรายละเอียดดังต่อไปนี้

4.1 เครื่องมือที่ใช้ทดสอบ

- 1) แหล่งจ่ายไฟตรงยี่ห้อ Magna power ขนาด 4 kW
- 2) เครื่องมือสปีดโอสโคปยี่ห้อ Agilent Technologies
- 3) แผงเซลล์แสงอาทิตย์ Solarmax รุ่น LCC-3024
- 4) Power Analyzer รุ่น WT500
- 5) โหลดความต้านทาน 50Ω 300W
- 6) แบตเตอรี่ยี่ห้อ VISION CP1275 12V 7.5AH

ตารางที่ 4.2 ค่ากำลังไฟฟ้าสูงสุดต่อ 1 แอมป์

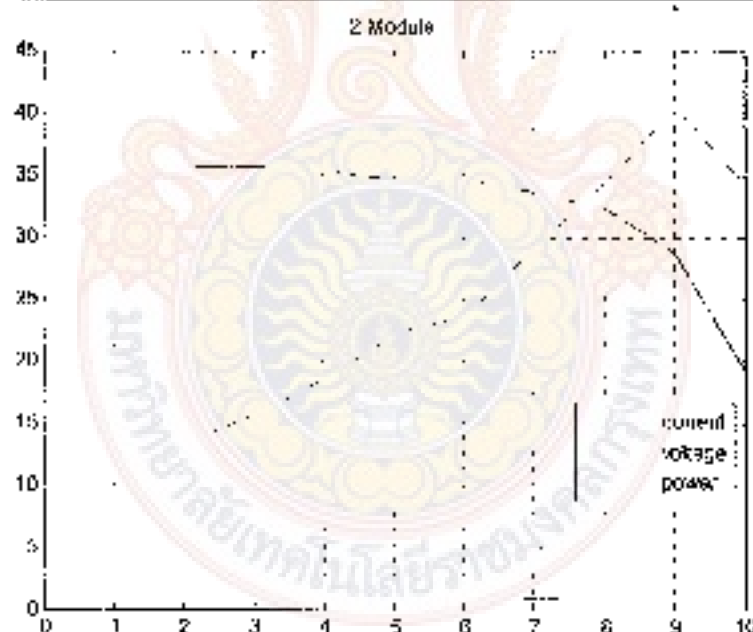
แผงเซลล์แสงอาทิตย์รุ่น LFC-3024 จำนวน 1 แผง			
ความต้านทานโหลด (R)	แรงดัน (V)	กระแส (A)	กำลังไฟฟ้า (W)
100	34	0.34	11.56
90	33.3	0.39	12.654
80	33	0.41	13.53
70	32.3	0.47	16.181
60	31.6	0.56	17.696
50	30.5	0.6	18.3
40	27.7	0.72	19.944
30	24.5	0.8	19.6
20	18.1	0.9	16.29
10	10.3	0.97	9.591



รูปที่ 4.2 กำลังไฟฟ้าสูงสุดต่อ 1 แอมป์

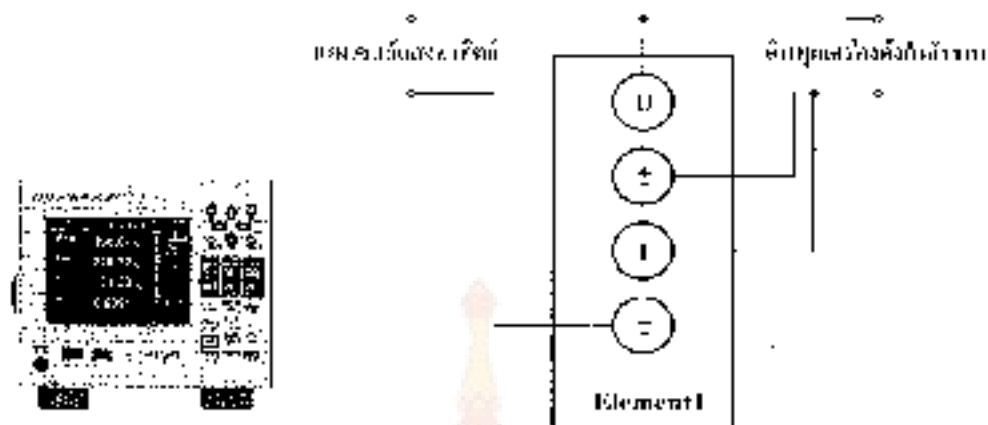
ตารางที่ 4.3 ค่ากำลังไฟฟ้า สูงสุดต่อ 2 แผง

แผงเซลล์แสงอาทิตย์รุ่น LEC-3024 จำนวน 1 แผง			
ความถี่ของกระแสไฟฟ้า	แรงดัน	กระแส	กำลังไฟฟ้า
(Hz)	(V)	(A)	(W)
100	36.2	0.36	13.332
90	35.7	0.4	14.28
80	35.6	0.44	15.664
70	35.5	0.52	18.46
60	34.6	0.64	22.144
50	34.7	0.68	23.596
40	33.6	0.86	28.896
30	32.3	1.06	34.238
20	26.8	1.41	40.608
10	19.2	1.76	34.176

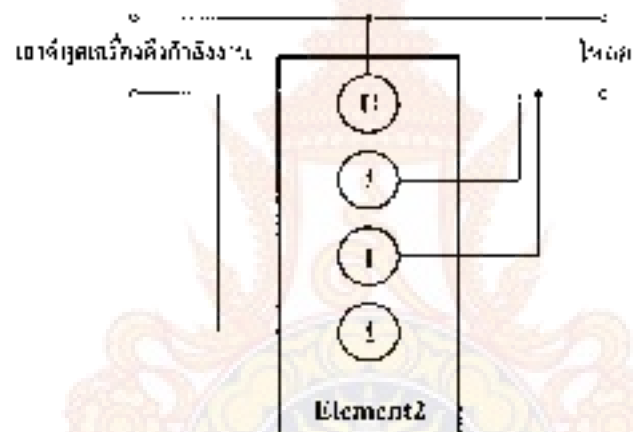


รูปที่ 4.3 กราฟค่ากำลังไฟฟ้า สูงสุดต่อ 2 แผง

จากนั้นนำค่าที่ได้จากการรันที่ค่าในตารางที่ 4.2 และ 4.3 มาสร้างโดยแผงด้วยโปรแกรม Matlab/Simulink ดังในรูปที่ 4.4 เพื่อควบคุมแหล่งจ่ายไฟฟ้ากระแสตรงแบบ



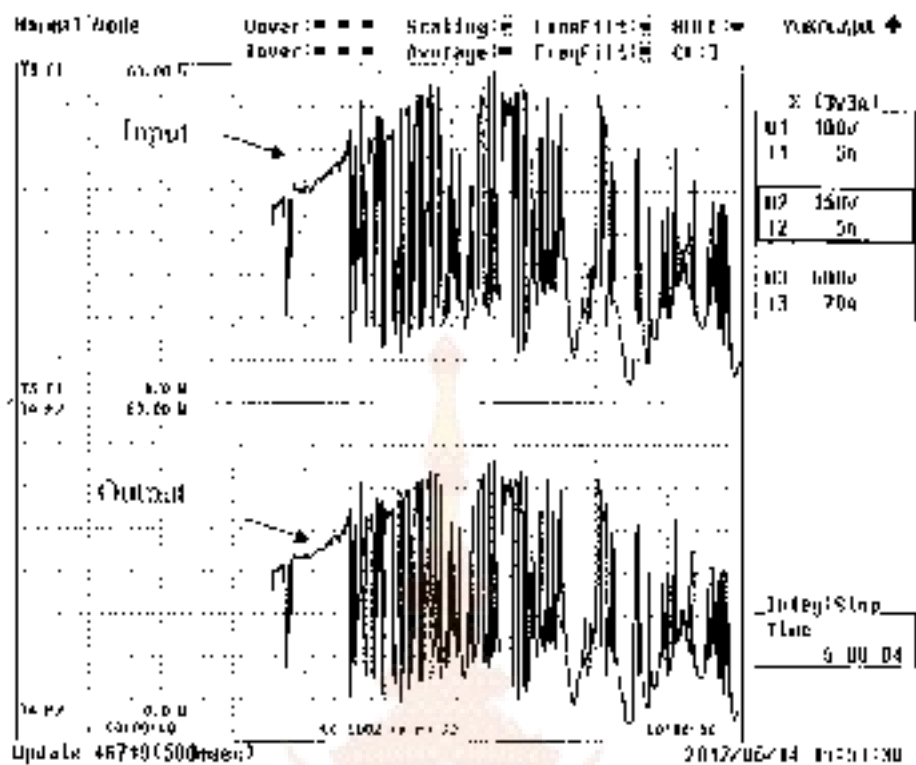
(ก) วัดแรงดันและกระแสที่ขั้วอินพุตด้วย Power Analyzer



(ข) วัดแรงดันและกระแสที่ขั้วเอาต์พุต

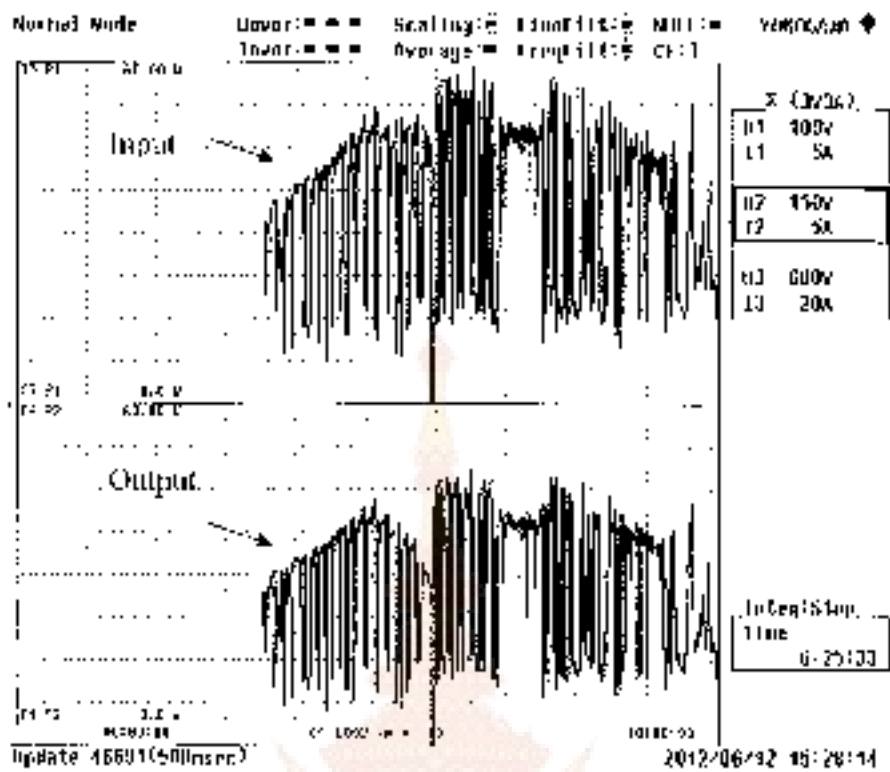
รูปที่ 4.5 การต่อใช้งานเครื่อง Power Analyzer รุ่น WT500

ทดสอบ ขุดจัดตามจุดกำลังไฟฟ้าสูงสุดโดยการใช้หม้อแปลงลดทอนขนาด 30W จำนวน 2 เมง ต่อขนานกัน โดยต่อกับโหลด ค่าความต้านทานคงที่ 50Ω 300W โดยใช้โปรแกรมที่ 1



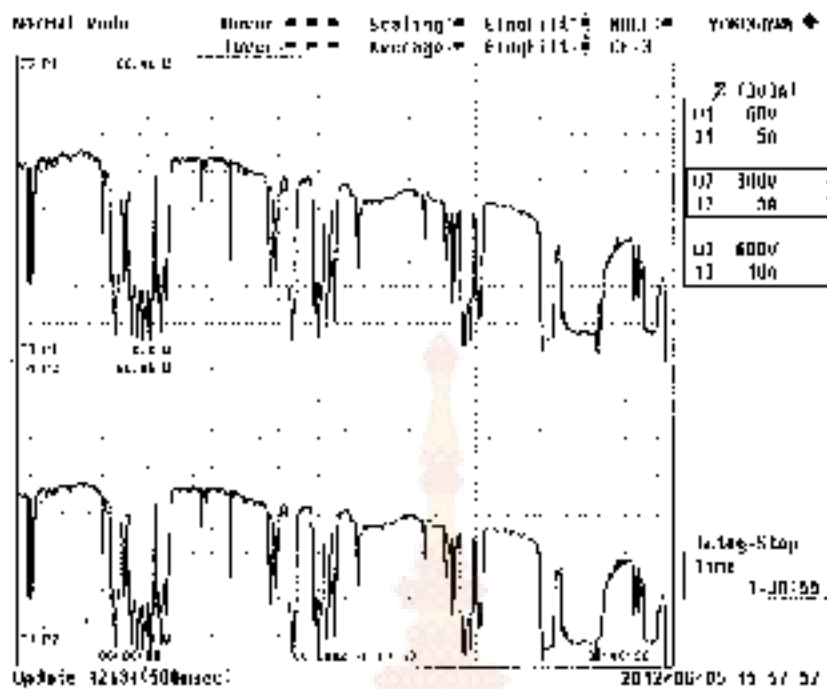
รูปที่ 4.6 ค่ากำลังงานไฟฟ้าในขณะรับแสงที่ต่างกัน โดยคลิกที่โหนดความต้านทาน 50Ω $300M\Omega$ โดยใช้แสงเซลล์แสงอาทิตย์มีขนาด $30W$ 2 แสง ต่อขนาด โดใช้โปรแกรมที่ 1

ทดสอบชุดติดตามจุดกำลังไฟฟ้าสูงสุดโดยการใช้แสงเซลล์แสงอาทิตย์ขนาด $30W$ 2 แสงต่อขนาดกัน โดยยกกับโหนด ค่าความต้านทานคงที่ 50Ω $300M\Omega$ โดยใช้โปรแกรมที่ 2



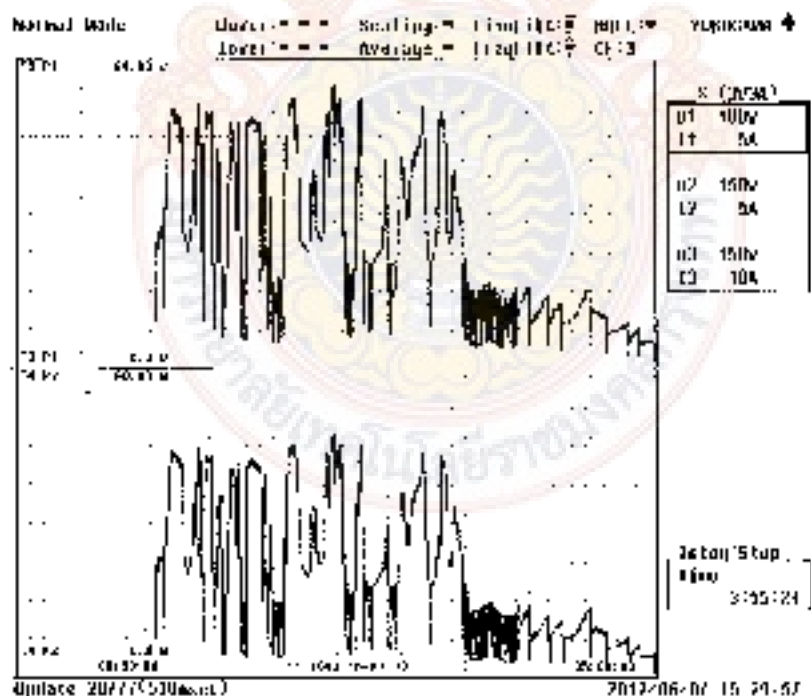
รูปที่ 4.7 ค่ากำลังงานไฟฟ้า และที่ความเข้มแสงที่ต่างกัน โดยต่อกับโพลีเมอร์ต้านทาน 50s2 300 μ โดยใช้โคมไฟหลอดไส้แสงอาทิตย์ขนาด 30W 2 แสง ต่อกับโคมไฟโคมกรงที่ 2

การทดสอบการดูดกลืนแสงของโพลีเมอร์ต้านทานใช้แสงอาทิตย์ขนาด 30 W 2 แสงต่อกัน โดยต่อกับโคมไฟโคมกรงที่ 1



รูปที่ 4.8 ผลการวัดแรงดันไฟฟ้าในขณะที่มีความเร็วและทิศทางต่างกัน โดยต่อกับโพลดิความต่ำความถี่แสงเลเซอร์ที่ความถี่ประมาณ 30 W 2 แสงต่อชานาน ด้วยโปรแกรมที่ 1

ทดสอบการวัดความถี่ของพัลส์ไฟฟ้าสูงๆโดยใช้แสงเลเซอร์ความถี่ประมาณ 30W จำนวน 2 แสง ต่อชานานกัน โดยต่อกับโพลดิความต่ำความถี่แสงเลเซอร์ที่ใช้โปรแกรมที่ 2



รูปที่ 4.9 ค่าการวัดแรงดันไฟฟ้าในขณะที่จะ เมเพิ่มรังสีที่ค่าต่างกันโดยต่อกับโพลดิความต่ำความถี่แสงเลเซอร์ที่ความถี่ประมาณ 30W 2 แสงต่อชานาน โดยใช้โปรแกรมที่ 2

กราฟที่ได้จากกราฟทดสอบชุดคิดคำนวณจุดกำลังไฟฟ้าสูงสุดนี้ทั้งสองกราฟ ทั้งในรูปที่ 4.6, 4.7, 4.8 และรูปที่ 4.9 ได้ทำการทดสอบในช่วงเต็มมีอุปกรณ์ที่เข้าหน้าฝนซึ่งมีแบบภาพเป็นทางตรงจะเห็นได้จากกราฟของเครื่อง Power Analyzer เส้นกราฟบางช่วงมีค่ากำลังไฟฟ้าต่ำ และบางช่วงมีค่ากำลังไฟฟ้าสูง ทั้งนี้เนื่องจากเมฆเป็นปัจจัยสำคัญต่อความเข้มของแสงอาทิตย์ ที่ให้กับแผงเซลล์แสงอาทิตย์ ซึ่งมีผลต่อแรงจ่ายแรงดันและกระแส การทำงานของชุดคิดคำนวณจุดกำลังไฟฟ้านี้จะสามารถติดตามจุดกำลังไฟฟ้าสูงสุด ณ ช่วงเวลาที่มีความเข้มของรังสีของแสงอาทิตย์ในขณะนั้นๆ

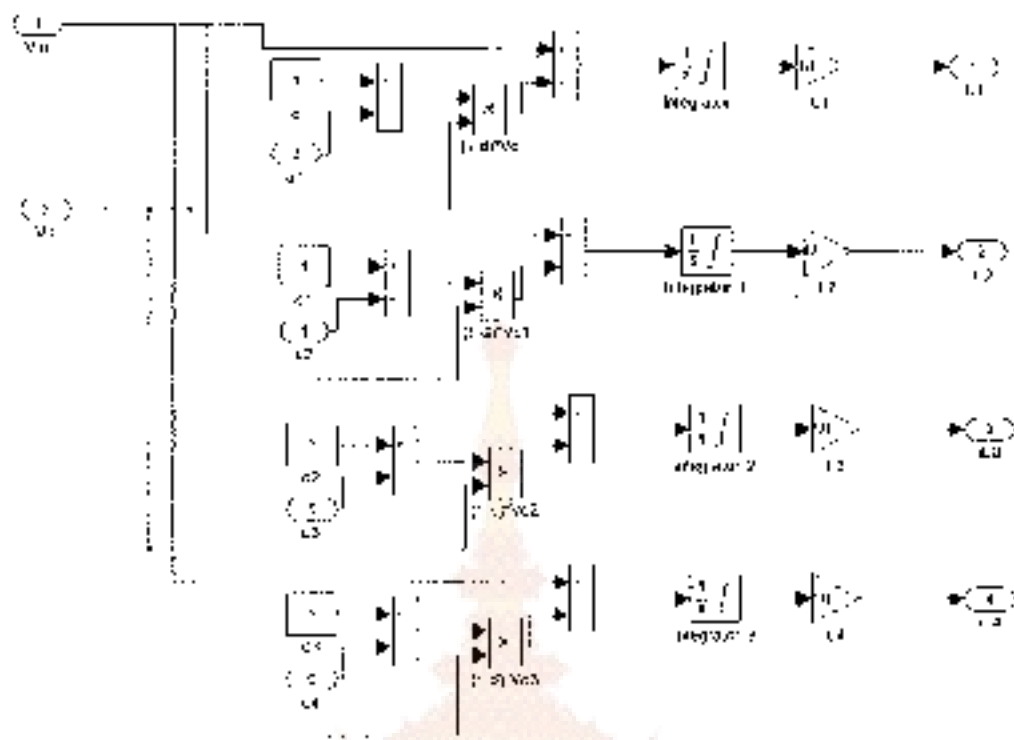
ในส่วนต่อไปนี้จะกล่าวถึงผลการทดสอบที่ได้จากกราฟของแบบห้ววงจรอนุสรณ์ที่ชื่อคอนเวอเตอร์เคอร์แบบขนาน 4 โมดูล ซึ่งผลทดสอบการทำงานของระบบแบ่งออกเป็นสองส่วนคือ ส่วนการจำลองการทำงานของระบบโดยใช้โปรแกรม MATLAB/Simulink และส่วนของกราฟทดสอบการทำงานของระบบการเรียง ทั้งสภาวะคงตัว (Steady State) และในสภาวะชั่วครู่ (Transient State) เพื่อศึกษาพฤติกรรมของระบบต่อการเปลี่ยนแปลงภาระ ซึ่งได้ศึกษารายละเอียดนั้นผลการทดสอบวงจรอนุสรณ์คอนเวอเตอร์เคอร์แบบขนาน 4 โมดูลที่สร้างขึ้นได้ทำการทดสอบมีรายละเอียดดังต่อไปนี้

4.3 การจำลองการทำงานของวงจรมอเตอร์คอนเวอเตอร์เคอร์แบบขนาน 4 โมดูล

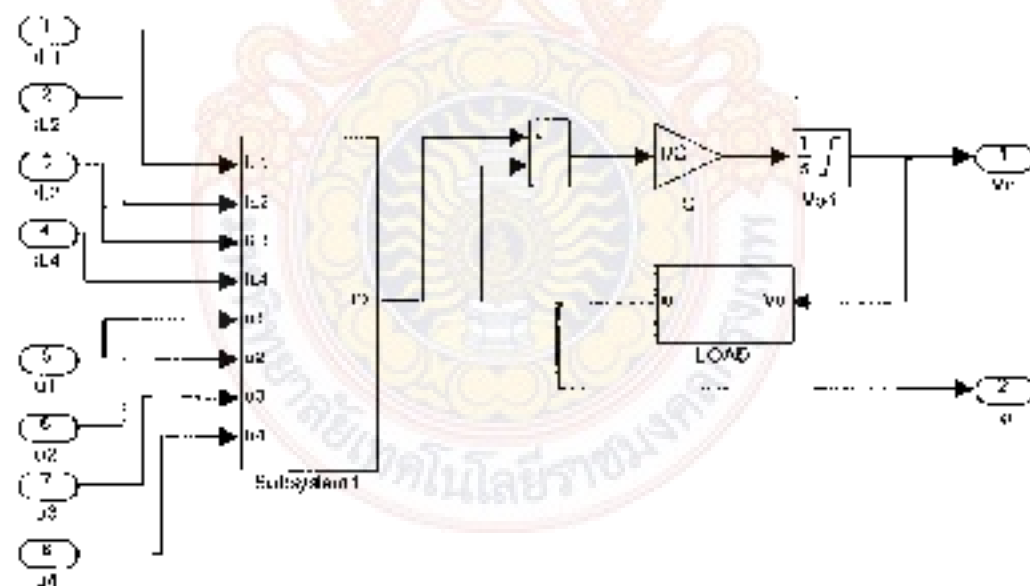
เพื่อเป็นการพิสูจน์การทำงานของวงจรมอเตอร์คอนเวอเตอร์เคอร์แบบขนาน 4 โมดูล จึงได้เลือก ระยะเวลาได้แก่ทำการจำลองด้วยโปรแกรม Matlab/Simulink แบบจำลองของระบบที่สร้างขึ้นได้มา จากสมการที่ 2.42 - 2.46 ซึ่งเป็นสมการของวงจรมอเตอร์กำลังที่นำเสนอตั้งแต่แสดงตามรูปที่ 4.1 ถึงรูปที่ 4.4

ตารางที่ 4.4 รายการและค่าพารามิเตอร์ที่ใช้จำลองการทำงาน

รายการ/สัญลักษณ์	ค่า
แรงดันอินพุต (V_{in})	26 V
แรงดันเอาต์พุต (V_o)	60 V
ค่าความเหนี่ยวนำ (L_1, L_2, L_3, L_4)	395 μ H
ค่าความจุลัดขุม (C_{dc})	680 μ F
ความถี่สวิตช์เวกซ์ (f)	25 kHz



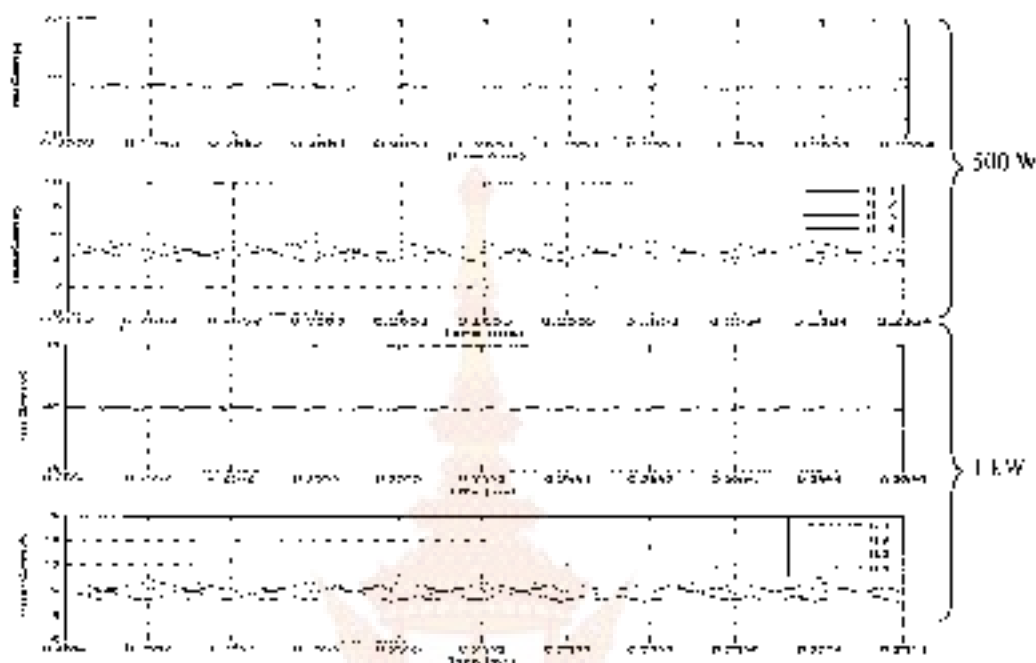
รูปที่ 4.12 ภายในเลือกเฟืองวงจรถูกตัดคอนเวอร์เตอร์ระบบขนาน



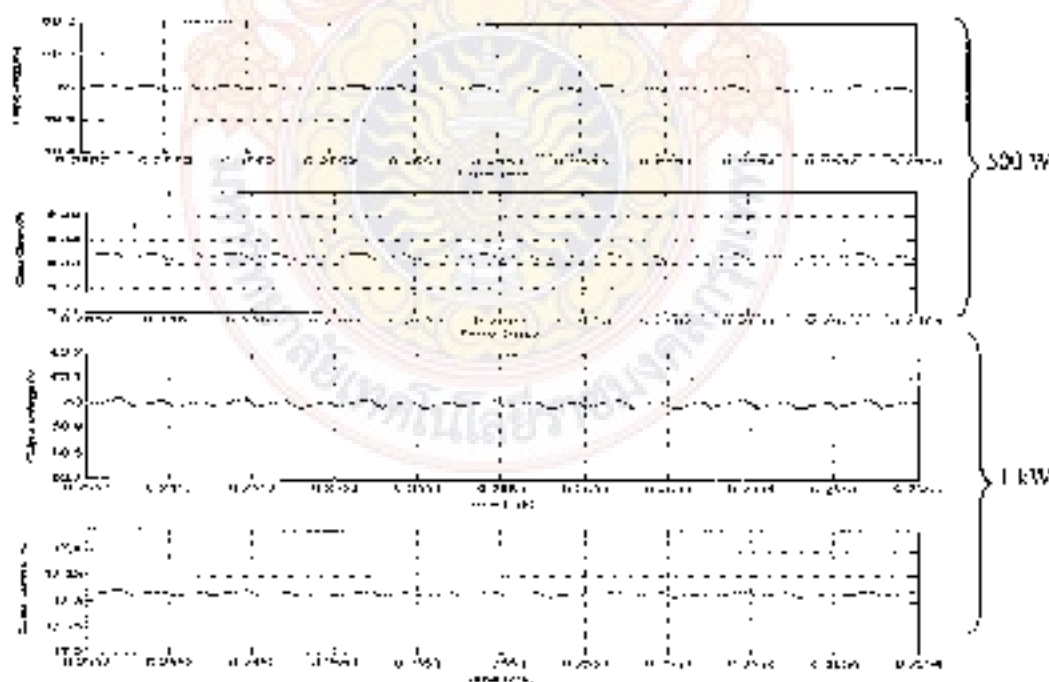
รูปที่ 4.13 ภายในโหลดของระบบ

4.4 ผลการจำลองการทำงาน

4.4.1 ผลการจำลองในระบบแรงดันขั้วที่เกิดกำลังไฟฟ้าอยู่ที่จุด 500 W และ 1 kW



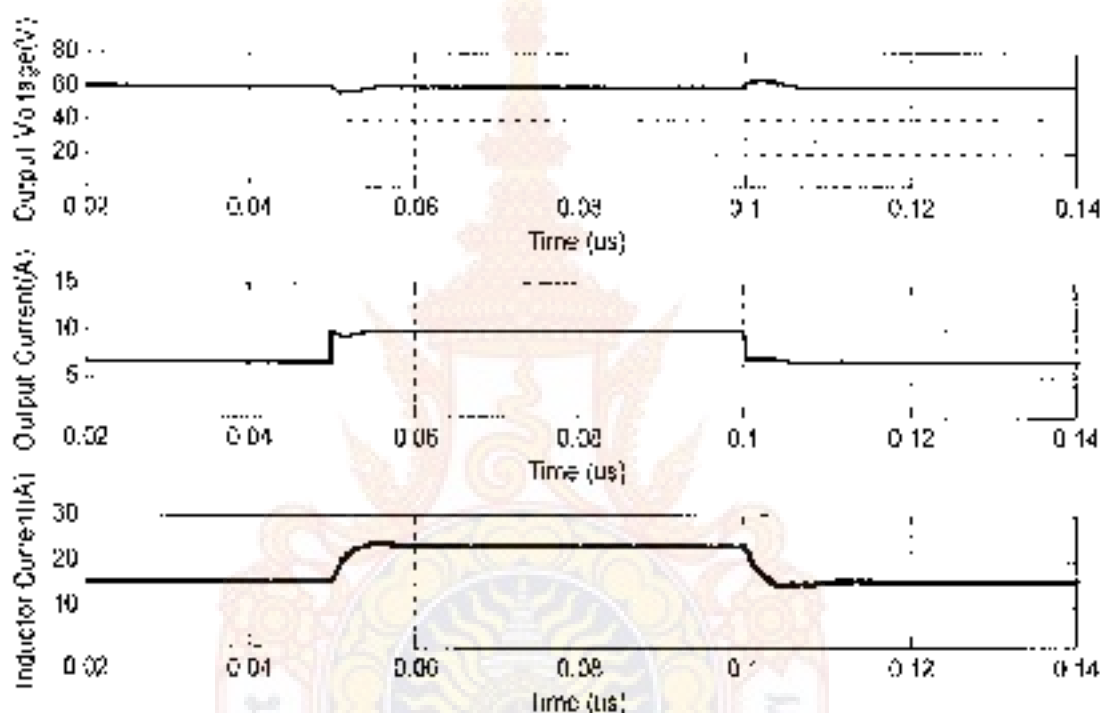
รูปที่ 4 14 กระแสหินหยุดและกระแสลดความถี่ของน้ำในแต่ละโหลด



รูปที่ 4 15 แรงดันกำลังหยุดและกระแสลดขั้ว

จากภาพที่ 4.14 ถึงภาพที่ 4.15 เป็นรูปคลื่นของกระแสและแรงดันเหนี่ยวนำ โดยให้ เซลล์เหนี่ยวนำที่เชื่อมเฟสทำให้กระแสทางด้านอินพุตมีค่ากระแสที่อมตลง ตาม เรขภาพงจากกระแส ที่ไหลผ่านขดลวดเหนี่ยวนำให้เท่ากับที่ 4.9A และ 10 A ต่อวงจร ดังนั้นกระแสรวมก็จะได้ 19.6A และ 40A โดยที่กระแสไหลย้อนกลับของตัวเหนี่ยวนำและ 90 องศา และที่กระแสตรงด้าน ขวดเหนี่ยวนำที่ขดลวดเหนี่ยวนำที่ 60V กำลังไฟฟ้าที่ทางด้านเอาต์พุตที่ 500W และ 1kW

4.4.2 ผลการจำลองในสถานะชั่วครู่

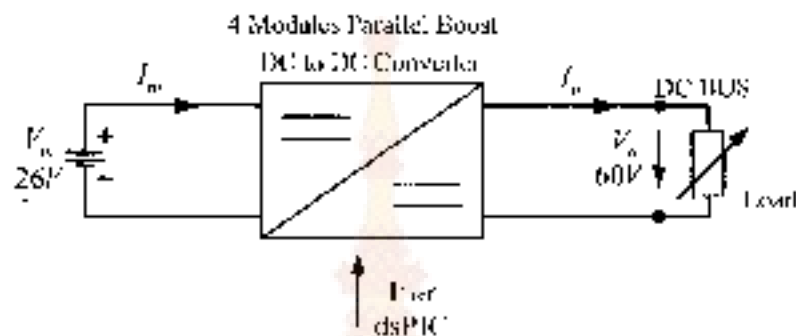


รูปที่ 4.16 แรงดันเอาต์พุต กระแสเอาต์พุตของวงจรและกระแสรวมของขดลวดเหนี่ยวนำ
ขณะเปลี่ยนภาระระหว่าง 400-600W

จากรูปที่ 4.16 แสดงผลการจำลองการทำงานของวงจรถวายที่เลือกแบบสามารถ จ่ายแรงดันหนึ่งที่ได้ และมีคุณสมบัติการเปลี่ยนภาระของวงจรถวายที่ กำลังไฟฟ้าเอาต์พุต 400W ไปที่ 600 W และกลับไปที่ 400 W พบว่าวงจรชุดคอนเวอร์เตอร์แบบขนาน 4 โมดูลที่ เลือกแบบสามารถปรับแรงดันหนึ่งได้

4.5 การทดสอบวงจรบูสต์คอนเวอร์เตอร์แบบขนาน 4 โมดูล

เมื่อทำการออกแบบแล้วสร้างวงจรบูสต์คอนเวอร์เตอร์แบบขนาน 4 โมดูลเสร็จแล้ว จึงทำการทดสอบว่าวงจรสามารถทำงานได้ตามที่ออกแบบไว้หรือไม่ ที่ได้ค่าไว้นั้นอยู่ที่ 3 ในหัวข้อนี้เป็นการทดสอบการส่งถ่ายพลังงานออกจากแหล่งจ่ายไฟฟ้าไปยังระบบดังรูปที่ 4.17 โดยมีรายละเอียดดังต่อไปนี้



รูปที่ 4.17 วงจรการทดสอบการส่งถ่ายพลังงานของคอนเวอร์เตอร์

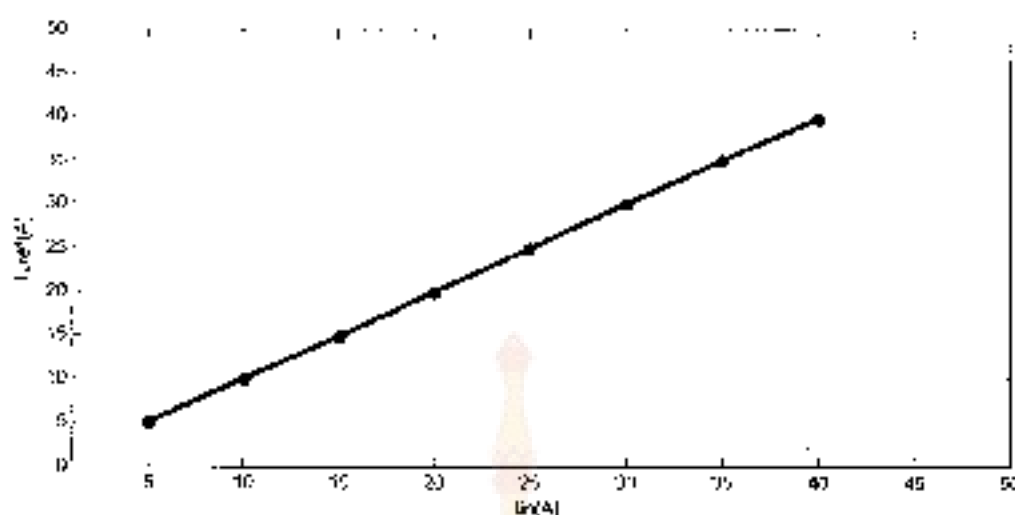
4.5.1 ผลการทดสอบวงจรบูสต์คอนเวอร์เตอร์แบบขนาน 4 โมดูล

จากการทดสอบวงจรในโหมดส่งถ่ายพลังงานออกจากแหล่งจ่ายไฟฟ้าไปยังระบบ สรุปผลการทดสอบตามวัตถุประสงค์ของการทดสอบได้ดังนี้

ตารางที่ 4.5 ผลการทดสอบวงจรบูสต์คอนเวอร์เตอร์แบบขนาน 4 โมดูล

$I_{in}(A)$	$I_n(A)$	$V_n(V)$	$I_o(A)$	$V_o(V)$	$P_n(W)$	$P_o(W)$
5	5	26	2	60	130	120
10	10	26	3.87	60	260	232
15	14.80	25.96	5.8	60	394	348
20	19.85	25.95	7.7	60	516	462
25	24.96	25.94	9.52	60	647	571
30	30	25.91	11.76	60	777	705
35	35	25.89	13.63	60	906	818
40	39.88	25.88	15.79	60	1032	947

จากตารางที่ 4.5 ความสัมพันธ์ของกระแส I_{in} และ I_o เป็นการควบคุมวงจรบูสต์ที่ซีพียูที่คอนเวอร์เตอร์แบบขนาน 4 โมดูลแสดงเป็นกราฟดังในรูปที่ 4.18



รูปที่ 4.18 กราฟความสัมพันธ์กระแส $I_{L,y}$ กับ I_m

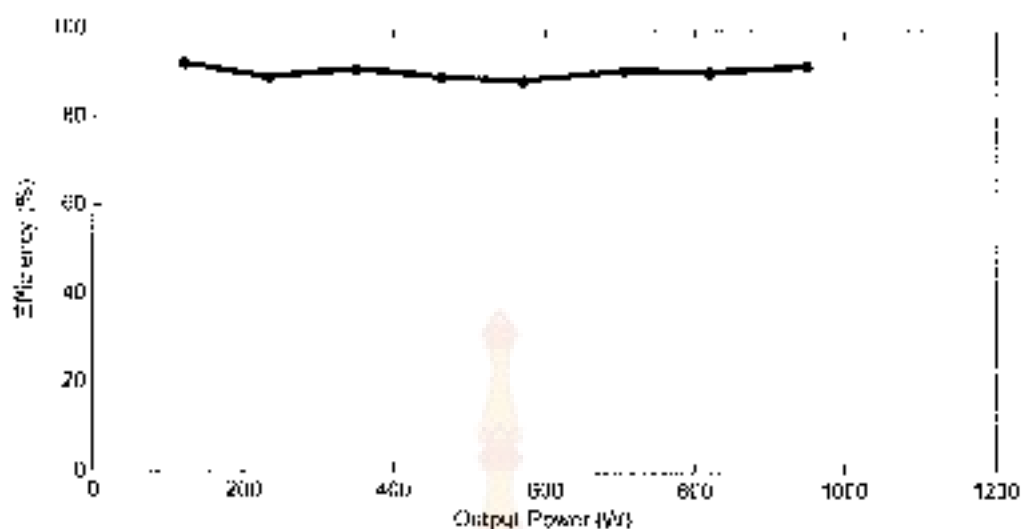
การควบคุมของวงจรบูสต์คอนเวอร์เตอร์แบบเพนนาน 4 โมดูลที่กล่าวถึงไว้คือ การที่วงจรสามารถจ่ายกระแส I_m ได้เท่ากับ $I_{L,y}$ เมื่อดูจากผลการทดลองในตารางที่ 4.5 เห็นได้ว่าวงจรไม่สามารถจ่ายกระแส I_m เท่ากับ $I_{L,y}$ มากถึง 100 เปอร์เซ็นต์ ความผิดพลาดต่อค่าซึ่งของวงจรไม่พบเกิน 5 เปอร์เซ็นต์ ดังมีค่าได้เช่น

$$I_{err} = \frac{I_{L,y} - I_m}{I_{L,y}} \times 100 \quad (4.1)$$

จากผลการทดลองจุดที่พบความผิดพลาดสูงสุดคือค่าซึ่ง $I_{L,y}$ มีค่า 15 มีหน่วยความผิดพลาดโดยแทนค่าลงในสมการที่ (4.1)

$$I_{err} = \frac{15 - 14.8}{15} \times 100 = 1.34\%$$

เมื่อค่าผิดพลาดต่อค่าซึ่งสูงสุดของวงจรตัวนี้มีค่า 1.34 เปอร์เซ็นต์ ซึ่งอยู่ในขอบเขตที่ตั้งไว้คือ ไม่เกิน 5 เปอร์เซ็นต์ ประกอบกับการคลาดเคลื่อนต่อค่าซึ่งของวงจรตัวนี้ในรูปแบบที่ 4.18 ค่อนข้างเป็นเส้นตรง จึงสรุปได้ว่าวงจรบูสต์คอนเวอร์เตอร์แบบเพนนาน 4 โมดูลสามารถควบคุมได้เมื่อจ่ายกระแส $I_{L,y}$ ไปยังระบบในช่วง 0 A ถึง 46 A



รูปที่ 4.19 กราฟประสิทธิภาพของมัลติคอนเวอร์เตอร์แบบขนาน 4 โมดูล

4.5.3 ความสามารถของการจ่ายกระแสแรงดันมัลติมีพิโคที่คอนเวอร์เตอร์แบบขนาน 4 โมดูล

วัตถุประสงค์ของวงจรมัลติคอนเวอร์เตอร์แบบขนาน 4 โมดูลคือต้องมีกระแสที่ไหลในวงจรทั้ง 4 โมดูลเท่าๆกัน เพื่อลดการกระเพื่อมของกระแสสวิตช์กันคูลให้มันลดลงกว่าวงจรมัลติคอนเวอร์เตอร์แบบตัวเดียวและจ่ายกระแสเท่ากันเพื่อให้วงจรแต่ละโมดูลมีภาระที่เท่ากัน

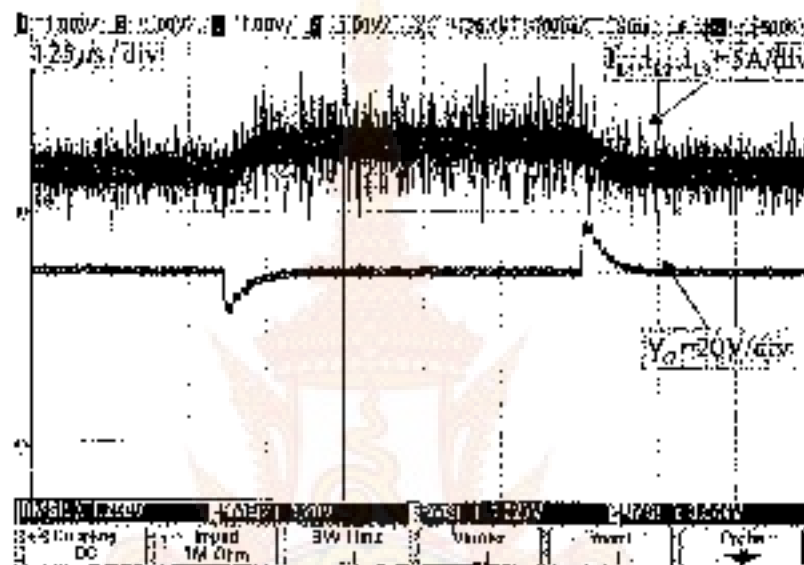
4.5.3.1 การทดสอบประสิทธิภาพของตัว

ในสภาวะคงตัวของวงจรที่สร้างขึ้นมาจะต้องมีความสามารถในการในวงจรภายในระดับที่ต่ำกว่าที่ออกแบบไว้ และกระแสที่ไหลผ่านตัวเหนี่ยวนำทั้ง 4 โมดูลจะต้องมีการแบ่งกระแสที่เท่ากันมีการเหลื่อมเฟสกัน 90 องศา การทดสอบนี้ใช้ความต้านทานปรับค่าได้ สลับเป็นโหลดทางไฟฟ้าทางด้านเอาต์พุต โดยการทดสอบจะสั่งให้วงจรทำงานที่กระแสต่างกันแต่จะควบคุมแรงดันทางด้านเอาต์พุตคงที่ 50V โดยจะทำการปรับค่าความต้านทานที่สลับเป็นโหลดของวงจรให้มีการเปลี่ยนแปลงค่าพิกัดมันแทน มีผลการทดสอบแสดงดังภาพต่อไปนี้

างจร โดยมีความสัมพันธ์กันของสัญญาณแรงดันและ 90 องศา และรักษาแรงดันทางด้านเกาท์ให้คงที่ไว้ได้

4.3.3.2 การทดสอบในสภาวะชั้แรง

การทดสอบนี้เป็นการทดสอบขณะมีการเปลี่ยนแรงดันแปลงการยกยางทันทีทันใด เพื่อศึกษาผลตยาคงของระบบที่มีต่อการเปลี่ยนแรงดัน โดยมีการเปลี่ยนแรงดันจาก 15 A ไปที่ 25 A ผลการทดสอบระบบแสดงดังรูปที่ 4.22



รูปที่ 4.22 การตอบสนองแรงดันเกาท์ของเมื่อเปลี่ยนแรงดันการที่กระแสล้นชุด 15A ไปที่ 25A

จากการทดสอบเมื่อมีการเปลี่ยนแรงดันการที่กระแสด้านเข้า 15A ไปที่ 25A โดยจะพบว่าระบบที่ตรงรักษาเสถียรภาพไว้ได้ จะจะสามารถแบ่งจ่ายกระแสที่ไหลผ่านขดลวดเหนี่ยวนำ แต่ละตัวได้เท่ากับที่ 3.75A ไปที่ 6.25A ต่อวงจร และระบบจะพยายามรักษาระดับแรงดันทางด้านเกาท์ให้คงที่ไว้ได้

4.6 สรุปผลการทดสอบ

การทดสอบของวงจรรูปสวิตช์ที่บูตที่ติดตามเวอร์ชันกับแบบขนาน 4 ไบโพลาร์ พบว่าวงจรสามารถควบคุมการทำงานได้ตามที่ออกแบบเอาไว้ โดยควบคุมกระแสทางด้านอินพุต (I_{in}) ตามคำสั่งที่ส่งจากกระแสอ้างอิง (I_{ref}) ได้เป็นอย่างดี ซึ่งกระแสอ้างอิงมาจากวงจรประมวลผลหรือไมโครคอนโทรลเลอร์ เมื่อทดสอบการจ่ายกระแสในช่วง 0-40 A โดยใช้สัญญาณคำสั่ง 0-10 A มีค่าความผิดพลาดของกระแสที่ไหลจริงในวงจรต่อสัญญาณคำสั่ง ไม่เกิน 5 เปอร์เซ็นต์ การทำงานของวงจรรูปสวิตช์ที่บูตที่คอนเวอเตอร์เจอร์แบบขนาน 4 ไบโพลาร์ มีการแบ่งกระแสที่เท่ากันให้แก่วัสดุแผ่นเฟสอิน 90 องศา สามารถควบคุมแรงดันทางด้านเกาท์ให้คงที่ 60V และมีประสิทธิภาพเฉลี่ยในการทำงาน 99.33 เปอร์เซ็นต์



บทที่ 5

สรุปผลการวิจัยและข้อเสนอแนะ

5.1 สรุปผลการวิจัยที่ได้จากการทดลอง

ในงานวิจัยนี้ได้ศึกษาเกี่ยวกับข้อดีของขดลวดสองขดที่ขดจำนวน 1 แฉงและ 2 แฉงเพื่อเก็บเกี่ยวพลังงานและแรงดันของขดลวดแสงอาทิตย์ในสภาวะแวดล้อมของประเทศไทย จากนั้นนำข้อมูลที่ได้มาสร้างแบบจำลองขดลวดสองขดที่ขดด้วยโปรแกรม Matlab/Simulink และควบคุมแหล่งจ่ายไฟฟ้ากระแสตรงแบบโปรแกรมขนาด 1 kW เพื่อเป็นต้นแบบให้กับวงจรรูปคลื่นคอนเวอร์เตอร์แบบขนาน 4 โมดูลได้ จากการออกแบบสร้างวงจรรูปคลื่นคอนเวอร์เตอร์แบบขนาน 4 โมดูล โดยใช้เทคนิคการอินเทอร์ลีฟให้มีการเชื่อมเฟสและตำแหน่งขด เพื่อเป็นแนวทางในการพัฒนาและประยุกต์ใช้งานคอนเวอร์เตอร์ที่เหมาะสมคว่าการใช้จำนวนขดขั้วแหล่งจ่ายพลังงานไฟฟ้าจากพลังงานทดแทนและแบตเตอรี่ โดยใช้การควบคุมกระแสด้วยวิธีควบคุมกระแสด้วยฟีดแบคคอนโทรลแบบแอนาล็อกทำงานในโหมดกระแสไหลต่อเนื่อง โดยประยุกต์ใช้การชดเชยแรงจลนศาสตร์ด้วยเทคนิคการอินเทอร์ลีฟ (Interleaved technique) เพื่อลดการกระเพื่อมกระแสของขดขั้วเกิดพลังงานไฟฟ้ากระแสตรง ระบบที่ถูกออกแบบให้ทำงานที่พิกัดแรงดันด้านกันขด 20 V 40 A แรงดันด้านแอคต์ขด 60 V และมีกำลังไฟฟ้าอินพุตสูงสุด 1 kW ทดสอบได้ประสิทธิภาพเฉลี่ย 99.3 %

5.2 ข้อเสนอแนะ

ในงานวิจัยนี้มีจุดที่ดังต่อไปนี้

- 5.2.1 พัฒนาระบบควบคุมด้วยวิธีควบคุมกระแสของคอนเวอร์เตอร์ ที่มีการควบคุมแบบภาคกลางเป็นการควบคุมด้วยตัวประมวลผลสัญญาณแบบดิจิทัล
- 5.2.2 หากต้องการลดกำลังสูญเสียที่เกิดจากการสวิตชิ่งให้ลดลง จึงควรออกแบบวงจรควบคุมที่ใช้เทคนิคสวิตชิ่งสถานะฟอสวิตซ์ (Soft Switch) หรือใช้โมดูลเฟสกำลังที่สามารถขยายกระแสได้สูงๆ เมื่อแรงขับเพิ่มขึ้น
- 5.2.3 ปรับปรุงการออกแบบของวงจรกำลังขดลวดคอนเวอร์เตอร์ให้มีขนาดเล็กลง

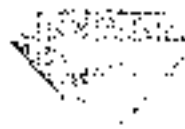
5.3 ผลงานตีพิมพ์ในวารประชุมวิชาการ

บทความเรื่อง "การควบคุมดูแลพื้นที่ชุ่มน้ำตอนแคว้นโคโลร์นาโดหมายเลข 4 โฉมหลังช่วยเหลือในอินเดอริสส์ฟ" นำเสนอในวารประชุมวิชาการทางวิศวกรรมไฟฟ้า ครั้งที่ 35 มหาวิทยาลัยกรุงเทพ เป็นเจ้าภาพจัดการประชุม ณ โรงแรมรอยัลริสส์ฟ 1 คอร์ท แอนท์ 3 ชั้น 301 จังหวัดนครนายก





The 35th Electrical Engineering Conference (EECON-35)



SCHOOL OF

ENGINEERING NECTEC

BANGKOK UNIVERSITY

a member of NSTDA



การควบคุมแบบขนานของตัวแปลงแรงดันแบบขนาน 4 โมดูลด้วยเทคนิคการเรียงตัว

Control of 4 Modules Parallel Boost DC to DC Converter using Interleaved Technique

ศาสตราจารย์ ดร.สุวิทย์ ภูมิคุ้ม ภาควิชาวิศวกรรมเครื่องกล มหาวิทยาลัยเทคโนโลยีพระจอมเกล้าธนบุรี

ศาสตราจารย์ ดร.สุวิทย์ ภูมิคุ้ม ภาควิชาวิศวกรรมเครื่องกล มหาวิทยาลัยเทคโนโลยีพระจอมเกล้าธนบุรี

เลขที่ 2 ถนนนครสวรรค์ แขวงวัดกัลยาณ์ เขตธนบุรี กรุงเทพมหานคร 10600 โทร. 0-2325-3400 โทรสาร 0-2325-3401

อีเมล: suwitt@kmutt.ac.th, suwitt@eng.kmutt.ac.th, suwitt@eng.kmutt.ac.th

แบบร่างต้นฉบับ: 10/05/2564, 10/05/2564, 10/05/2564, 10/05/2564, 10/05/2564, 10/05/2564

บทคัดย่อ

บทความนี้เป็นการออกแบบและควบคุมระบบแปลงแรงดันแบบขนาน 4 โมดูล เพื่อลดการสั่นไหวของกระแสไฟฟ้าและเพิ่มกำลังการส่งถ่ายพลังงานของตัวแปลงแรงดันแบบขนาน 4 โมดูลด้วยเทคนิคการเรียงตัว โดยใช้แบบจำลองที่สร้างขึ้นด้วยโปรแกรมจำลองระบบไดนามิก และควบคุมด้วยเทคนิคการเรียงตัวแบบขนาน 4 โมดูล โดยใช้เทคนิคการเรียงตัวแบบขนาน 4 โมดูล (PI Controller) และใช้เทคนิคการเรียงตัวแบบขนาน 4 โมดูล (Interleaved Technique) ในการควบคุมระบบแปลงแรงดันแบบขนาน 4 โมดูล โดยที่เทคนิคการเรียงตัวแบบขนาน 4 โมดูลสามารถลดการสั่นไหวของกระแสไฟฟ้าและเพิ่มกำลังการส่งถ่ายพลังงานของตัวแปลงแรงดันแบบขนาน 4 โมดูลได้ประมาณ 50-55%

คำสำคัญ: ควบคุมแบบขนาน, ตัวแปลงแรงดันแบบขนาน, เทคนิคการเรียงตัว

Abstract

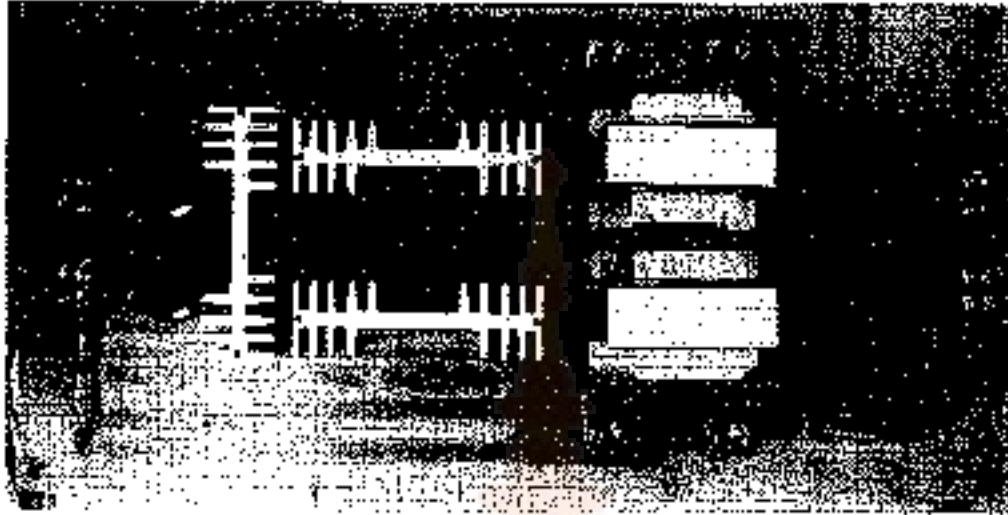
This article presents the design and control of a 4 modules parallel boost dc to dc converter in order to reduce the input ripple current and increase power. The boost dc to dc converter is 4 parallel existing. The controller is a Proportional plus Integral (PI controller) and using an interleaved control technique for decreasing input current ripple. The 4 modules parallel boost dc to dc converter step up output voltage to 4 V. The interleaved technique controlled the current in a way that equal in each module. The results show that 4 modules parallel boost dc to dc converter are built to control the output voltage regulation. The average of the current in each module was similar. The average efficiency of the proposed system is 90.15%

Keywords: Boost dc to dc converter, PI Control, Interleaved Technique

1. บทนำ

ในปัจจุบันได้มีกระแสไฟฟ้าที่ไหลเวียนอยู่ตามบ้านเรือนและโรงงานอุตสาหกรรมจำนวนมาก ซึ่งส่วนใหญ่เป็นกระแสไฟฟ้าแรงดันต่ำ (เช่น 12V, 24V, 36V, 48V, 60V, 72V, 84V, 96V, 108V, 120V, 132V, 144V, 156V, 168V, 180V, 192V, 204V, 216V, 228V, 240V, 252V, 264V, 276V, 288V, 300V, 312V, 324V, 336V, 348V, 360V, 372V, 384V, 396V, 408V, 420V, 432V, 444V, 456V, 468V, 480V, 492V, 504V, 516V, 528V, 540V, 552V, 564V, 576V, 588V, 600V, 612V, 624V, 636V, 648V, 660V, 672V, 684V, 696V, 708V, 720V, 732V, 744V, 756V, 768V, 780V, 792V, 804V, 816V, 828V, 840V, 852V, 864V, 876V, 888V, 900V, 912V, 924V, 936V, 948V, 960V, 972V, 984V, 996V, 1008V, 1020V, 1032V, 1044V, 1056V, 1068V, 1080V, 1092V, 1104V, 1116V, 1128V, 1140V, 1152V, 1164V, 1176V, 1188V, 1200V, 1212V, 1224V, 1236V, 1248V, 1260V, 1272V, 1284V, 1296V, 1308V, 1320V, 1332V, 1344V, 1356V, 1368V, 1380V, 1392V, 1404V, 1416V, 1428V, 1440V, 1452V, 1464V, 1476V, 1488V, 1500V, 1512V, 1524V, 1536V, 1548V, 1560V, 1572V, 1584V, 1596V, 1608V, 1620V, 1632V, 1644V, 1656V, 1668V, 1680V, 1692V, 1704V, 1716V, 1728V, 1740V, 1752V, 1764V, 1776V, 1788V, 1800V, 1812V, 1824V, 1836V, 1848V, 1860V, 1872V, 1884V, 1896V, 1908V, 1920V, 1932V, 1944V, 1956V, 1968V, 1980V, 1992V, 2004V, 2016V, 2028V, 2040V, 2052V, 2064V, 2076V, 2088V, 2100V, 2112V, 2124V, 2136V, 2148V, 2160V, 2172V, 2184V, 2196V, 2208V, 2220V, 2232V, 2244V, 2256V, 2268V, 2280V, 2292V, 2304V, 2316V, 2328V, 2340V, 2352V, 2364V, 2376V, 2388V, 2400V, 2412V, 2424V, 2436V, 2448V, 2460V, 2472V, 2484V, 2496V, 2508V, 2520V, 2532V, 2544V, 2556V, 2568V, 2580V, 2592V, 2604V, 2616V, 2628V, 2640V, 2652V, 2664V, 2676V, 2688V, 2700V, 2712V, 2724V, 2736V, 2748V, 2760V, 2772V, 2784V, 2796V, 2808V, 2820V, 2832V, 2844V, 2856V, 2868V, 2880V, 2892V, 2904V, 2916V, 2928V, 2940V, 2952V, 2964V, 2976V, 2988V, 3000V, 3012V, 3024V, 3036V, 3048V, 3060V, 3072V, 3084V, 3096V, 3108V, 3120V, 3132V, 3144V, 3156V, 3168V, 3180V, 3192V, 3204V, 3216V, 3228V, 3240V, 3252V, 3264V, 3276V, 3288V, 3300V, 3312V, 3324V, 3336V, 3348V, 3360V, 3372V, 3384V, 3396V, 3408V, 3420V, 3432V, 3444V, 3456V, 3468V, 3480V, 3492V, 3504V, 3516V, 3528V, 3540V, 3552V, 3564V, 3576V, 3588V, 3600V, 3612V, 3624V, 3636V, 3648V, 3660V, 3672V, 3684V, 3696V, 3708V, 3720V, 3732V, 3744V, 3756V, 3768V, 3780V, 3792V, 3804V, 3816V, 3828V, 3840V, 3852V, 3864V, 3876V, 3888V, 3900V, 3912V, 3924V, 3936V, 3948V, 3960V, 3972V, 3984V, 3996V, 4008V, 4020V, 4032V, 4044V, 4056V, 4068V, 4080V, 4092V, 4104V, 4116V, 4128V, 4140V, 4152V, 4164V, 4176V, 4188V, 4200V, 4212V, 4224V, 4236V, 4248V, 4260V, 4272V, 4284V, 4296V, 4308V, 4320V, 4332V, 4344V, 4356V, 4368V, 4380V, 4392V, 4404V, 4416V, 4428V, 4440V, 4452V, 4464V, 4476V, 4488V, 4500V, 4512V, 4524V, 4536V, 4548V, 4560V, 4572V, 4584V, 4596V, 4608V, 4620V, 4632V, 4644V, 4656V, 4668V, 4680V, 4692V, 4704V, 4716V, 4728V, 4740V, 4752V, 4764V, 4776V, 4788V, 4800V, 4812V, 4824V, 4836V, 4848V, 4860V, 4872V, 4884V, 4896V, 4908V, 4920V, 4932V, 4944V, 4956V, 4968V, 4980V, 4992V, 5004V, 5016V, 5028V, 5040V, 5052V, 5064V, 5076V, 5088V, 5100V, 5112V, 5124V, 5136V, 5148V, 5160V, 5172V, 5184V, 5196V, 5208V, 5220V, 5232V, 5244V, 5256V, 5268V, 5280V, 5292V, 5304V, 5316V, 5328V, 5340V, 5352V, 5364V, 5376V, 5388V, 5400V, 5412V, 5424V, 5436V, 5448V, 5460V, 5472V, 5484V, 5496V, 5508V, 5520V, 5532V, 5544V, 5556V, 5568V, 5580V, 5592V, 5604V, 5616V, 5628V, 5640V, 5652V, 5664V, 5676V, 5688V, 5700V, 5712V, 5724V, 5736V, 5748V, 5760V, 5772V, 5784V, 5796V, 5808V, 5820V, 5832V, 5844V, 5856V, 5868V, 5880V, 5892V, 5904V, 5916V, 5928V, 5940V, 5952V, 5964V, 5976V, 5988V, 6000V, 6012V, 6024V, 6036V, 6048V, 6060V, 6072V, 6084V, 6096V, 6108V, 6120V, 6132V, 6144V, 6156V, 6168V, 6180V, 6192V, 6204V, 6216V, 6228V, 6240V, 6252V, 6264V, 6276V, 6288V, 6300V, 6312V, 6324V, 6336V, 6348V, 6360V, 6372V, 6384V, 6396V, 6408V, 6420V, 6432V, 6444V, 6456V, 6468V, 6480V, 6492V, 6504V, 6516V, 6528V, 6540V, 6552V, 6564V, 6576V, 6588V, 6600V, 6612V, 6624V, 6636V, 6648V, 6660V, 6672V, 6684V, 6696V, 6708V, 6720V, 6732V, 6744V, 6756V, 6768V, 6780V, 6792V, 6804V, 6816V, 6828V, 6840V, 6852V, 6864V, 6876V, 6888V, 6900V, 6912V, 6924V, 6936V, 6948V, 6960V, 6972V, 6984V, 6996V, 7008V, 7020V, 7032V, 7044V, 7056V, 7068V, 7080V, 7092V, 7104V, 7116V, 7128V, 7140V, 7152V, 7164V, 7176V, 7188V, 7200V, 7212V, 7224V, 7236V, 7248V, 7260V, 7272V, 7284V, 7296V, 7308V, 7320V, 7332V, 7344V, 7356V, 7368V, 7380V, 7392V, 7404V, 7416V, 7428V, 7440V, 7452V, 7464V, 7476V, 7488V, 7500V, 7512V, 7524V, 7536V, 7548V, 7560V, 7572V, 7584V, 7596V, 7608V, 7620V, 7632V, 7644V, 7656V, 7668V, 7680V, 7692V, 7704V, 7716V, 7728V, 7740V, 7752V, 7764V, 7776V, 7788V, 7800V, 7812V, 7824V, 7836V, 7848V, 7860V, 7872V, 7884V, 7896V, 7908V, 7920V, 7932V, 7944V, 7956V, 7968V, 7980V, 7992V, 8004V, 8016V, 8028V, 8040V, 8052V, 8064V, 8076V, 8088V, 8100V, 8112V, 8124V, 8136V, 8148V, 8160V, 8172V, 8184V, 8196V, 8208V, 8220V, 8232V, 8244V, 8256V, 8268V, 8280V, 8292V, 8304V, 8316V, 8328V, 8340V, 8352V, 8364V, 8376V, 8388V, 8400V, 8412V, 8424V, 8436V, 8448V, 8460V, 8472V, 8484V, 8496V, 8508V, 8520V, 8532V, 8544V, 8556V, 8568V, 8580V, 8592V, 8604V, 8616V, 8628V, 8640V, 8652V, 8664V, 8676V, 8688V, 8700V, 8712V, 8724V, 8736V, 8748V, 8760V, 8772V, 8784V, 8796V, 8808V, 8820V, 8832V, 8844V, 8856V, 8868V, 8880V, 8892V, 8904V, 8916V, 8928V, 8940V, 8952V, 8964V, 8976V, 8988V, 9000V, 9012V, 9024V, 9036V, 9048V, 9060V, 9072V, 9084V, 9096V, 9108V, 9120V, 9132V, 9144V, 9156V, 9168V, 9180V, 9192V, 9204V, 9216V, 9228V, 9240V, 9252V, 9264V, 9276V, 9288V, 9300V, 9312V, 9324V, 9336V, 9348V, 9360V, 9372V, 9384V, 9396V, 9408V, 9420V, 9432V, 9444V, 9456V, 9468V, 9480V, 9492V, 9504V, 9516V, 9528V, 9540V, 9552V, 9564V, 9576V, 9588V, 9600V, 9612V, 9624V, 9636V, 9648V, 9660V, 9672V, 9684V, 9696V, 9708V, 9720V, 9732V, 9744V, 9756V, 9768V, 9780V, 9792V, 9804V, 9816V, 9828V, 9840V, 9852V, 9864V, 9876V, 9888V, 9900V, 9912V, 9924V, 9936V, 9948V, 9960V, 9972V, 9984V, 9996V, 10008V, 10020V, 10032V, 10044V, 10056V, 10068V, 10080V, 10092V, 10104V, 10116V, 10128V, 10140V, 10152V, 10164V, 10176V, 10188V, 10200V, 10212V, 10224V, 10236V, 10248V, 10260V, 10272V, 10284V, 10296V, 10308V, 10320V, 10332V, 10344V, 10356V, 10368V, 10380V, 10392V, 10404V, 10416V, 10428V, 10440V, 10452V, 10464V, 10476V, 10488V, 10500V, 10512V, 10524V, 10536V, 10548V, 10560V, 10572V, 10584V, 10596V, 10608V, 10620V, 10632V, 10644V, 10656V, 10668V, 10680V, 10692V, 10704V, 10716V, 10728V, 10740V, 10752V, 10764V, 10776V, 10788V, 10800V, 10812V, 10824V, 10836V, 10848V, 10860V, 10872V, 10884V, 10896V, 10908V, 10920V, 10932V, 10944V, 10956V, 10968V, 10980V, 10992V, 11004V, 11016V, 11028V, 11040V, 11052V, 11064V, 11076V, 11088V, 11100V, 11112V, 11124V, 11136V, 11148V, 11160V, 11172V, 11184V, 11196V, 11208V, 11220V, 11232V, 11244V, 11256V, 11268V, 11280V, 11292V, 11304V, 11316V, 11328V, 11340V, 11352V, 11364V, 11376V, 11388V, 11400V, 11412V, 11424V, 11436V, 11448V, 11460V, 11472V, 11484V, 11496V, 11508V, 11520V, 11532V, 11544V, 11556V, 11568V, 11580V, 11592V, 11604V, 11616V, 11628V, 11640V, 11652V, 11664V, 11676V, 11688V, 11700V, 11712V, 11724V, 11736V, 11748V, 11760V, 11772V, 11784V, 11796V, 11808V, 11820V, 11832V, 11844V, 11856V, 11868V, 11880V, 11892V, 11904V, 11916V, 11928V, 11940V, 11952V, 11964V, 11976V, 11988V, 12000V, 12012V, 12024V, 12036V, 12048V, 12060V, 12072V, 12084V, 12096V, 12108V, 12120V, 12132V, 12144V, 12156V, 12168V, 12180V, 12192V, 12204V, 12216V, 12228V, 12240V, 12252V, 12264V, 12276V, 12288V, 12300V, 12312V, 12324V, 12336V, 12348V, 12360V, 12372V, 12384V, 12396V, 12408V, 12420V, 12432V, 12444V, 12456V, 12468V, 12480V, 12492V, 12504V, 12516V, 12528V, 12540V, 12552V, 12564V, 12576V, 12588V, 12600V, 12612V, 12624V, 12636V, 12648V, 12660V, 12672V, 12684V, 12696V, 12708V, 12720V, 12732V, 12744V, 12756V, 12768V, 12780V, 12792V, 12804V, 12816V, 12828V, 12840V, 12852V, 12864V, 12876V, 12888V, 12900V, 12912V, 12924V, 12936V, 12948V, 12960V, 12972V, 12984V, 12996V, 13008V, 13020V, 13032V, 13044V, 13056V, 13068V, 13080V, 13092V, 13104V, 13116V, 13128V, 13140V, 13152V, 13164V, 13176V, 13188V, 13200V, 13212V, 13224V, 13236V, 13248V, 13260V, 13272V, 13284V, 13296V, 13308V, 13320V, 13332V, 13344V, 13356V, 13368V, 13380V, 13392V, 13404V, 13416V, 13428V, 13440V, 13452V, 13464V, 13476V, 13488V, 13500V, 13512V, 13524V, 13536V, 13548V, 13560V, 13572V, 13584V, 13596V, 13608V, 13620V, 13632V, 13644V, 13656V, 13668V, 13680V, 13692V, 13704V, 13716V, 13728V, 13740V, 13752V, 13764V, 13776V, 13788V, 13800V, 13812V, 13824V, 13836V, 13848V, 13860V, 13872V, 13884V, 13896V, 13908V, 13920V, 13932V, 13944V, 13956V, 13968V, 13980V, 13992V, 14004V, 14016V, 14028V, 14040V, 14052V, 14064V, 14076V, 14088V, 14100V, 14112V, 14124V, 14136V, 14148V, 14160V, 14172V, 14184V, 14196V, 14208V, 14220V, 14232V, 14244V, 14256V, 14268V, 14280V, 14292V, 14304V, 14316V, 14328V, 14340V, 14352V, 14364V, 14376V, 14388V, 14400V, 14412V, 14424V, 14436V, 14448V, 14460V, 14472V, 14484V, 14496V, 14508V, 14520V, 14532V, 14544V, 14556V, 14568V, 14580V, 14592V, 14604V, 14616V, 14628V, 14640V, 14652V, 14664V, 14676V, 14688V, 14700V, 14712V, 14724V, 14736V, 14748V, 14760V, 14772V, 14784V, 14796V, 14808V, 14820V, 14832V, 14844V, 14856V, 14868V, 14880V, 14892V, 14904V, 14916V, 14928V, 14940V, 14952V, 14964V, 14976V, 14988V, 15000V, 15012V, 15024V, 15036V, 15048V, 15060V, 15072V, 15084V, 15096V, 15108V, 15120V, 15132V, 15144V, 15156V, 15168V, 15180V, 15192V, 15204V, 15216V, 15228V, 15240V, 15252V, 15264V, 15276V, 15288V, 15300V, 15312V, 15324V, 15336V, 15348V, 15360V, 15372V, 15384V, 15396V, 15408V, 15420V, 15432V, 15444V, 15456V, 15468V, 15480V, 15492V, 15504V, 15516V, 15528V, 15540V, 15552V, 15564V, 15576V, 15588V, 15600V, 15612V, 15624V, 15636V, 15648V, 15660V, 15672V, 15684V, 15696V, 15708V, 15720V, 15732V, 15744V, 15756V, 15768V, 15780V, 15792V, 15804V, 15816V, 15828V, 15840V, 15852V, 15864V, 15876V, 15888V, 15900V, 15912V, 15924V, 15936V, 15948V, 15960V, 15972V, 15984V, 15996V, 16008V, 16020V, 16032V, 16044V, 16056V, 16068V, 16080V, 16092V, 16104V, 16116V, 16128V, 16140V, 16152V, 16164V, 16176V, 16188V, 16200V, 16212V, 16224V, 16236V, 16248V, 16260V, 16272V, 16284V, 16296V, 16308V, 16320V, 16332V, 16344V, 16356V, 16368V, 16380V, 16392V, 16404V, 16416V, 16428V, 16440V, 16452V, 16464V, 16476V, 16488V, 16500V, 16512V, 16524V, 16536V, 16548V, 16560V, 16572V, 16584V, 16596V, 16608V, 16620V, 16632V, 16644V, 16656V, 16668V, 16680V, 16692V, 16704V, 16716V, 16728V, 16740V, 16752V, 16764V, 16776V, 16788V, 16800V, 16812V, 16824V, 16836V, 16848V, 16860V, 16872V, 16884V, 16896V, 16908V, 16920V, 16932V, 16944V, 16956V, 16968V, 16980V, 16992V, 17004V, 17016V, 17028V, 17040V, 17052V, 17064V, 17076V, 17088V, 17100V, 17112V, 17124V, 17136V, 17148V, 17160V, 17172V, 17184V, 17196V, 17208V, 17220V, 17232V, 17244V, 17256V, 17268V, 17280V, 17292V, 17304V, 17316V, 17328V, 17340V, 17352V, 17364V, 17376V, 17388V, 17400V, 17412V, 17424V, 17436V, 17448V, 17460V, 17472V, 17484V, 17496V, 17508V, 17520V, 17532V, 17544V, 17556V, 17568V, 17580V, 17592V, 17604V, 17616V, 17628V, 17640V, 17652V, 17664V, 17676V, 17688V, 17700V, 17712V, 17724V, 17736V, 17748V, 17760V, 17772V, 17784V, 17796V, 17808V, 17820V, 17832V, 17844V, 17856V, 17868V, 17880V, 17892V, 17904V, 17916V, 17928V, 17940V, 17952V, 17964V, 17976V, 17988V, 18000V, 18012V, 18024V, 18036V, 18048V, 18060V, 18072V, 18084V, 18096V, 18108V, 18120V, 18132V,

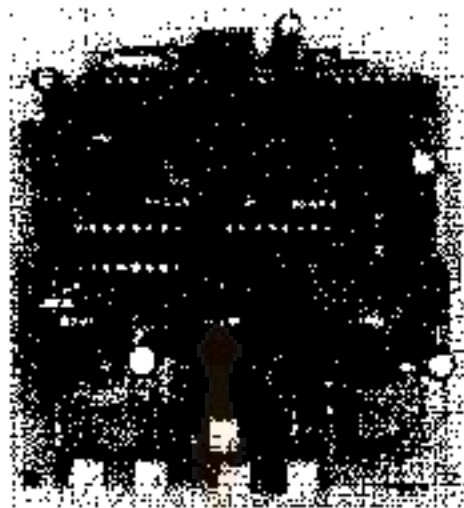
ภาคผนวก ก
ภาพถ่ายชั้นงาน



รูปที่ ก.1 ส่วนกเขตของวงรีกำลัง



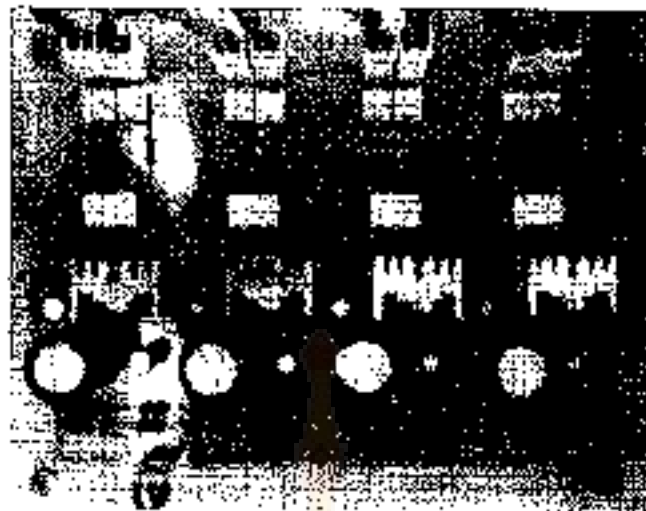
รูปที่ ก.2 ชิ้นงานของวงรีกำลัง



รูปที่ 10.5 มุมอาคารสี่มุมจากด้านหลัง



รูปที่ 10.4 มุมจากมุมกำแพงเดนมาร์กและชุดสร้างสี่มุมจากด้าน



รูปที่ 15 โรงพรีมาเขต

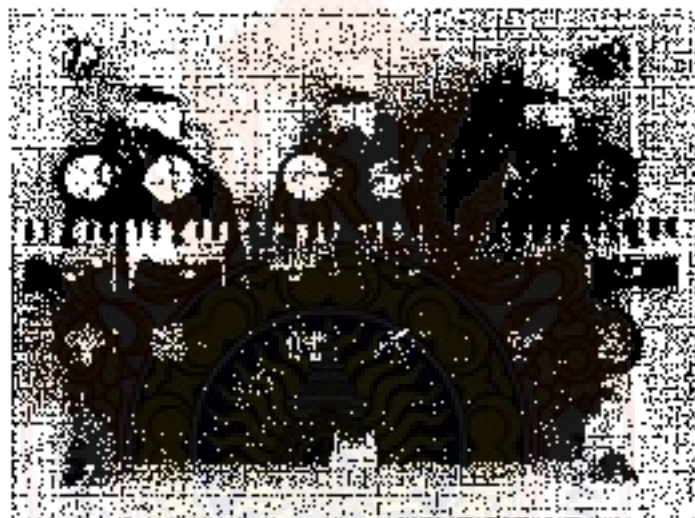


รูปที่ 16 มณฑลนครราชสีมา

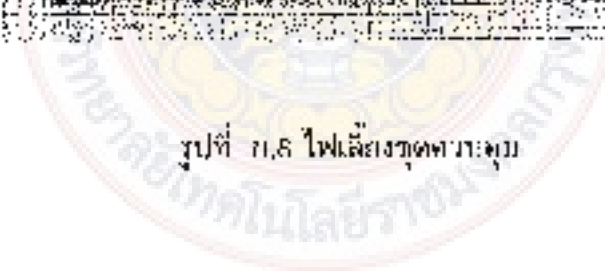




รูปที่ 7 วงจรควบคุมรถ ลิฟท์และลำแสงเดิน



รูปที่ 8.6 ไฟเลี้ยงชุดควบคุม



โปรแกรมควบคุมอุณหภูมิทำงาน

```
#include <pio4011.h>
#include "stdio.h" // Used "sprintf" function
#include <string.h>
#include <stdlib.h>
#include <math.h>
/*****~*****~*****~*****~*****~*****~*****/
_IOSC(CSW_FSCN OFF & FRC PLL1G); // Fosc=16x7.5MHz, Fcy=30MHz
_IWD1(WDT_OFF); // Watchdog timer off
/*****~*****~*****~*****~*****~*****~*****/
#define TRIS_F TRISF
#define MCP_SCK _LATF4
#define MCP_SE _LATF1
#define MCP_CS LATF0
/*****~*****~*****~*****~*****~*****~*****/
//Define parameter
#define epsilon 0.1
#define dl 0.01
#define MAX 255.0
#define MIN -255.0
#define Kp 1.0
#define Ki 0.025
#define setpoint volt 60.0
float OUTPUT_VOLT = 0.0;
/*****~*****~*****~*****~*****~*****~*****/
// Character LCD Interface Pins
#define TRIS_DATA_PIN_4 TRISBbits.TRISB0 // Direction D4
#define TRIS_DATA_PIN_5 TRISBbits.TRISB1 // Direction D5
#define TRIS_DATA_PIN_6 TRISBbits.TRISB2 // Direction D6
#define TRIS_DATA_PIN_7 TRISBbits.TRISB3 // Direction D7
#define TRIS_RS TRISBbits.TRISB4 // Direction RS
#define TRIS_RW TRISBbits.TRISB8 // Direction RW
#define TRIS_E TRISBbits.TRISB5 // Direction E

#define DATA_PIN_4 LATBbits.LATB0 // MD1 = D4 LCD
#define DATA_PIN_5 LATBbits.LATB1 // MD2 = D5 LCD
#define DATA_PIN_6 LATBbits.LATB2 // MD3 = D6 LCD
#define DATA_PIN_7 LATBbits.LATB3 // MD4 = D7 LCD
#define RS_PIN LATBbits.LATB4 // RD5 = RS_LCD
#define RW_PIN LATBbits.LATB8 // RD4 = RW_LCD
#define E_PIN LATBbits.LATB5 // RD13 = E_LCD

#define READ_PIN_BUSY PORTBbits.RB3 // Read LCD Busy Pin

/* Display ON/OFF Control */
#define ON 0x0F // Display on
#define OFF 0x0B // Display off
#define CURSOR_ON 0x0F // Cursor on
#define CURSOR_OFF 0x0B // Cursor off
#define BLINK_ON 0x0F // Cursor Blink
#define BLINK_OFF 0x0B // Cursor No Blink
/* Cursor or Display Shift */
#define SHIFT_CUR_LEFT 0x13 // Cursor shifts to the left
#define SHIFT_CUR_RIGHT 0x17 // Cursor shifts to the right
#define SHIFT_DISP_LEFT 0x1B // Display shifts to the left
#define SHIFT_DISP_RIGHT 0x1F // Display shifts to the right
```

```

char lcd_buf[16]; // "sprintf" LCD Buffer
/* Function Prototypes */
void Initial_4bitLCD(void); // Initial LCD Interface
void SetCursor(unsigned char); // Set Cursor Address
void WriteCmdLCD(unsigned char); // Write Command
void WriteDataLCD(unsigned char); // Write Data
void Delay_tw_LCD(void); // Enable Pulse Delay
char Read_BusyLCD(void); // Read LCD Busy
void print_LCD(void); // Print String to LCD
void Delay(unsigned long int); // Delay Time Function
/*****/
// Function prototypes
void configure_pins();
unsigned int read_analog_channel(int n);
void SetResistor(unsigned char value);
unsigned char phase=0;
unsigned char value=0;
unsigned int i = 0;
unsigned char data_ = 0;
float VOL_ = 0;
long Volt = 0;
float Volt_ = 0;
float Volt_1 = 0;
unsigned int A=0;

/*****/
float Pical(float setpoint,float actual_position)
{
    static float pre_error = 0;
    static float integral = 0;
    float error;
    float derivative;
    float output;
    error = setpoint - actual_position;
    if((error<0.05)&&(error>0.05)) error = 0;
    //In case of error too small then stop integration
    if(abs(error) > epsilon)
    {
        integral = integral + error*dt;
    }
    output = Kp*error+ Ki*integral;
    if(output > MAX)
    {
        output = MAX;
    }
    else if(output < MIN)
    {
        output = MIN;
    }
    pre_error = error;
    return output;
}
/*****/
void SetResistor(unsigned char value)
{
    unsigned char i,Cmd=0xDC;
    MCP_CS = 0;
    for (i=0; i<=7; i++)
    {

```

```

        data = (Cmd&&0x80);
        if(data ==0x80) MCP_SI = 1;
        else if(data ==0x00) MCP_SI = 0;
        Cmd <<= 1;
        MCP_SCK = 1;
        Delay(4000); //4000
        MCP_SCK = 0;
    }
    for (i=0; i<=7; i++)
    {
        data_ = (value&&0x80);
        if(data_==0x80) MCP_SI = 1;
        else if(data_==0x00) MCP_SI = 0;
        value <<= 1;
        MCP_SCK = 1;
        Delay(4000);
        MCP_SCK = 0;
    }
    MCP_CS = 3;
}
/*****+++++*****Read volt*****+/
void Read_volt(void)
{
    Volt = 0;
    Volt_ = 0;
    Volt_1 = 0;
    Volt_ = 0;
    unsigned int v=0;
    unsigned int i=0;
    for(A=0;A<10;A++)
    {
        for(i=0;i<1000;i++)
        {
            v = read_analog_channel(1);
            Volt = Volt+v;
            v = 0;
            Delay(2);
        }
        Volt_1 = Volt*0.001;
        Volt_ = Volt_1/volt_1;
        Volt = 0;
        volt_1 = 0;
    }
    VOLT = (Volt_+0.1)*0.0/9500; //====>>> 00V
    Volt = 0;
}

/*****+++++*****soft start*****+/
void soft_start(void)
{
    unsigned int round;
    Read_volt();
    OUTPUT_VOLT = 101; //====>>>ILref = 1.0V
    i = 255-(unsigned int)OUTPUT_VOLT;
    phase = i;
    //SetResistor(i);
    SetResistor(phase);
    SetCursor(0x00); // Start Cursor Line 0
    sprintf(log_buf, " Soft Start ");
}

```

```

print_LCD();
setCursor(0x40); // Start Cursor Line 2
sprintf(lcd_buf, " Please Wait ");
print_LCD();
for(round=100;round>0;round--)Delay(50000);
for(round=30,round>0;round--) //=====>>>set_delay_time 1
{
Read_volt();
SetResistor(phase);
SetCursor(0x00); // Start Cursor Line 1
sprintf(lcd_buf, "Volt:%3.1f V. ",VOLT);
print_LCD();
SetCursor(0x40); // Start Cursor Line-2
sprintf(lcd_buf, "Iref: %2.3f V ",(255-i)* 0.009900200);
print_LCD();
Delay(1000); //----->>>set_delay_time_2
}
SetCursor(0x00); // Start Cursor Line 1
sprintf(lcd_buf, " Program P1 ");
print_LCD();
SetCursor(0x40); // Start Cursor Line-2
sprintf(lcd_buf, " Status:Ready ");
print_LCD();
for(round=100;round>0;round--)Delay(50000);
}
/*****
int main(void)
{
/* Start of PLL Config Fcy = 40MIPS */
//CLKDIV 0= 0x0100; // PLLPRF[4..0] = 00000 (M=2)
//CLKDIV 0= 0xFF3F; // PLLPOST[1:0] = 00 (N2=2)
//PLLFD0 = 0x26; // PLLDIV[8..0] = 000000110(M=10)
//while(!USCCONbits.LOCK); // Wait PLL to lock
//OSCCONbits.CLOCK = 1; // Disable PLL Modify
/* End of PLL Config Fcy = 40MIPS */
Initial_Chil_LCD(), // Initial LCD 4 Bit Interface
// Set up which pins are which
configure_pins();
// Loop Print Message to LCD16 x 2 //
LCD_T = 0x00;
/*****
printf_start();
/*****
while(1)

// loop continue
{
Read_volt();
/*****
//float Pical(float setpoint,float actual position)
//i = 255-(unsigned int)Pical(setpoint_volt,VOLT);
OUTPUT_VOLT = OUTPUT_VOLT+Pical(setpoint_volt,VOLT);
if(OUTPUT_VOLT<0) OUTPUT_VOLT=0;
if(OUTPUT_VOLT>255) OUTPUT_VOLT=255;
i = 255-(unsigned int)OUTPUT_VOLT;
if(i<=42) i = 42, //=====>>>Volt. Max 255 213(2.1V)-42
Phase = 1,
/*****
SetResistor(phase);

```

```

SetCursor(0x00); // Start Cursor Line 1
sprintf(lcd_buf,"VOLT:%2.1f V. ",VOLT);
print_LCD();
SetCursor(0x08); // Start Cursor Line 2
sprintf(lcd_buf,"Iref: %2.3f V ",(255-i)*0.009861400); // Iref(2.1/255)
print_LCD();
Delay(10);
}
}
/*****Initial 4Bit LCD*****/
void Initial_4bitLCD(void)
{
    TRIS_DATA_PIN_4 = 0; // Set Port Direction = Output
    TRIS_DATA_PIN_5 = 0;
    TRIS_DATA_PIN_6 = 0;
    TRIS_DATA_PIN_7 = 0;
    TRIS_RS = 0;
    TRIS_RW = 0;
    TRIS_E = 0;
    DATA_PIN_4 = 1; // Start 4 Bit Initial
    DATA_PIN_5 = 1;
    DATA_PIN_6 = 0;
    DATA_PIN_7 = 0;
    RS_PIN = 0; // Instruction Select
    RW_PIN = 0; // Write Select
    E_PIN = 0; // Disable LCD Read/Write
    Delay(600000); // Power-On Delay (minimum of 15ms)
    DATA_PIN_4 = 1; // Start 4 Bit Initial
    DATA_PIN_5 = 1;
    DATA_PIN_6 = 0;
    DATA_PIN_7 = 0;
    RS_PIN = 0; // Instruction Select
    RW_PIN = 0; // Write Select
    E_PIN = 1; // Strobe High Nibble
    Delay_1W_LCD(); // Enable Pulse Delay
    E_PIN = 0;
    // Wait 4.1µs
    Delay(164000); // Wait 4.1 µs
    DATA_PIN_4 = 1; // Start 4 Bit Initial
    DATA_PIN_5 = 1;
    DATA_PIN_6 = 0;
    DATA_PIN_7 = 0;
    RS_PIN = 0; // Instruction Select
    RW_PIN = 0; // Write Select
    E_PIN = 1; // Strobe High Nibble
    Delay_1W_LCD(); // Enable Pulse Delay
    E_PIN = 0;
    Delay(4000); // Wait 100µs
    WriteCmdLCD(0x32); // Start Function Set 4Bit LCD Interface
    WriteCmdLCD(0x28); // Function Set (DL=0 4 Bit, H=1 2 Line, F=0 5X)
    WriteCmdLCD(0x0C); // Display on/off control (Entry Display,Cursor
off,Cursor not Blink)
    WriteCmdLCD(0x04); // Entry Mode Set (I/D=1 Increment,S=0 Cursor Shift)
    WriteCmdLCD(0x01); // Clear Display (Clear Display,Set 00 RAM Address=0)
}
/*****Set Cursor Address LCD*****/
void SetCursor(unsigned char address)
{
    RS_PIN = 0; // Select Instruction

```

```

RW_PIN = 0; // Write Select
DATA_PIN_7 = 1; // D07 Must be 1 for Setting DDRm ADDR
DATA_PIN_6 = ((address & 0x40)>>6);
DATA_PIN_5 = ((address & 0x20)>>5);
DATA_PIN_4 = ((address & 0x10)>>4);
E_PIN = 1; // Strobe High Nibble
Delay_tW_LCD(); // Enable Pulse Delay
E_PIN = 0;
Delay_tW_LCD(); // Enable Pulse Delay
RS_PIN = 0; // Select Instruction
RW_PIN = 0; // Write Select
DATA_PIN_7 = ((address & 0x08)>>3);
DATA_PIN_6 = ((address & 0x04)>>2);
DATA_PIN_5 = ((address & 0x02)>>1);
DATA_PIN_4 = ((address & 0x01)>>0);
E_PIN = 1; // Strobe Low Nibble
Delay_tW_LCD(); // Enable Pulse Delay
L_PIN = 0;
while(Read_BusyLCD()); // Wait LCD Ready
}
/***** Write Command to LCD *****/
void WriteCmdLCD(unsigned char cmd)
{
    RS_PIN = 0; // Select Instruction
    RW_PIN = 0; // Write Select
    DATA_PIN_7 = ((cmd & 0x80)>>7);
    DATA_PIN_6 = ((cmd & 0x40)>>6);
    DATA_PIN_5 = ((cmd & 0x20)>>5);
    DATA_PIN_4 = ((cmd & 0x10)>>4);
    E_PIN = 1; // Strobe High Nibble
    Delay_tW_LCD(); // Enable Pulse Delay
    L_PIN = 0;
    Delay_tW_LCD(); // Enable Pulse Delay
    RS_PIN = 0; // Select Instruction
    RW_PIN = 0; // Write Select
    DATA_PIN_7 = ((cmd & 0x08)>>3);
    DATA_PIN_6 = ((cmd & 0x04)>>2);
    DATA_PIN_5 = ((cmd & 0x02)>>1);
    DATA_PIN_4 = ((cmd & 0x01)>>0);
    E_PIN = 1; // Strobe Low Nibble
    Delay_tW_LCD(); // Enable Pulse Delay
    L_PIN = 0;
    while(Read_BusyLCD()); // Wait LCD Ready
}
/***** Write Data to LCD *****/
void WriteDataLCD(unsigned char data)
{
    RS_PIN = 1; // Select Data
    RW_PIN = 0; // Write Select
    DATA_PIN_7 = ((data & 0x80)>>7);
    DATA_PIN_6 = ((data & 0x40)>>6);
    DATA_PIN_5 = ((data & 0x20)>>5);
    DATA_PIN_4 = ((data & 0x10)>>4);
    E_PIN = 1; // Strobe High Nibble
    Delay_tW_LCD(); // Enable Pulse Delay
    L_PIN = 0;
    Delay_tW_LCD(); // Enable Pulse Delay
    RS_PIN = 1; // Select Data
    RW_PIN = 0; // Write Select

```

```

DATA_PIN_7 = ((data & 0x08)>>3);
DATA_PIN_6 = ((data & 0x04)>>2);
DATA_PIN_5 = ((data & 0x02)>>1);
DATA_PIN_4 = (data & 0x01);
E_PIN = 1; // Strobe Low Nibble
Delay_TW_LCD(); // enable Pulse Delay
E_PIN = 0;
while(Read_Busy_LCD()); // Wait LCD Ready
}
/* *****Pulse Delay Write_LCD ***** */
void Delay_TW_LCD(void) // Enable Pulse Delay
{
    int i;
    for(i=0,i<500;i++); // Wait 100us
}
/* *****Wait LCD Ready***** */
char Read_Busy_LCD(void)
{
    TRIS_DATA_PIN_7 = 1; // Set Port Direction = Input
    RA_PIN = 1; // Read function Select
    RS_PIN = 0; // Instruction Select
    Delay_TW_LCD(); // Enable Pulse Delay
    E_PIN = 1; // Enable Read
    Delay_TW_LCD(); // Enable Pulse Delay
    if(RA_PIN_BUSY) // verify Busy flag
    {
        TRIS_DATA_PIN_7 = 0; // Set Port Direction = Output
        E_PIN = 0; // Disable Read
        return 1;
    }
    else
    {
        TRIS_DATA_PIN_7 = 0; // Set Port Direction = Output
        E_PIN = 0; // Disable Read
        return 0;
    }
}
/* *****Print String to LCD ***** */
void print_LCD(void)
{
    char *p; // Pointer Buffer
    p = lcd_buf; // LCD Buffer
    do // Get char & Print Until null
    {
        WriteData_LCD(*p); // Write char to LCD
        p++; // Next char
    }
    while(*p != '\0'); // End of ASCII (null)
    return;
}
/* ***** */
/* Delay Time function */
/* 1-4294957296 */
/* ***** */
void Delay(unsigned long int count)
{
    while(count > 0) {count--;} // Loop Decrease Counter
}
/* *****configure_pins***** */

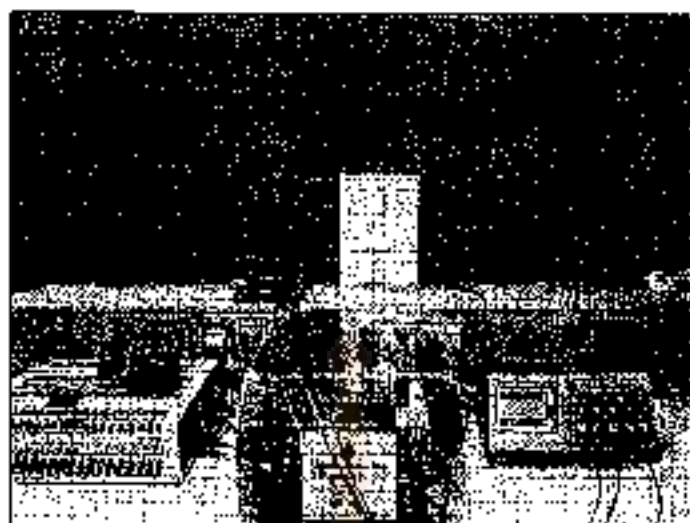
```

```

void configure_pins()
{
    // Configure analog inputs
    P1DIR = 0x8888; // Port B all inputs //0x8888
    ADPCFG = 0xFF00; // Lowest 8 PORTB pins are analog inputs
    ANCON1 = 0; // Manually clear SAMP to end sampling, start
conversion
    ADCON2 = 0; // Voltage reference from AVDD and AVSS
    ADCON3 = 0x8005; // Manual Sample, ADCS-2 -> Tadj = 3*Tcy
    ADCON1bits.ACQF = 1; // Turn ADC ON
}
/*****Read_Analog*****/
unsigned int read_analog_channel(int channel)
{
    ANXIF5 = channel; // Select the requested channel
    ADCON1bits.SAMP = 1; // start sampling
    __delay12(30); // 1us delay @ 30 MIPS
    ADCON1bits.SAMP = 0; // start converting
    while (!ADCON1bits.DONE); // Should take 12 * Tadj = 1.2us
    return ADCBUF0;
}

```





รูปที่ ๑. ๑ อาคารตึกชมรมจรรยาบรรณวิชาชีพ วิทยาลัยเทคโนโลยีราชมงคลรัตนโกสินทร์



ภาพที่ ๒. ๒ ด้านหน้าและด้านหลังของห้องปฏิบัติการวิชาชีพ วิทยาลัยเทคโนโลยีราชมงคลรัตนโกสินทร์

ภาคผนวก ข

ประวัติสำนักวิจัย

ประวัติผู้วิจัยหลัก

- 1 ชื่อ และ นามสกุล นายสมชาย คุ้มทวีชัย
Mr. Santaphon Koomsop
- 2 หมายเลขบัตรประชาชน 3-1017-01699-82-0
- 3 ตำแหน่งปัจจุบัน อาจารย์ระดับ 6
สาขาที่ทำการวิจัย สาขาวิศวกรรมไฟฟ้า
- 4 สถานที่ติดต่อ
ที่ทำงานปัจจุบัน สาขาวิชาวิศวกรรมไฟฟ้า คณะวิศวกรรมศาสตร์
มหาวิทยาลัยเทคโนโลยีราชมงคลกรุงเทพ เลขาที่ 2 ถนนราชมงคล
แขวงทุ่งมหาเมฆ เขตสาทร กรุงเทพฯ รหัสไปรษณีย์ 10120
โทรศัพท์ 0 2286 9629
ที่อยู่ปัจจุบัน 42-115 ซอยนิมิตต์,ตม 6/1 หมู่บ้านพนาสนร์ 4
แขวงมีนบุรี เขตมีนบุรี กรุงเทพฯ 10510.
E-mail santaphon.k@rmutk.ac.th

5. ประวัติการศึกษา

ระดับ การศึกษา	อักษรย่อ ปริญญา	วิชาเอก	สถานที่ศึกษา	ปีที่ สำเร็จ	ประเทศ
ปริญญาโท	วศ.ม.	วิศวกรรมไฟฟ้า	มหาวิทยาลัยเทคโนโลยีราชมงคลธัญบุรี	2554	ไทย
ปริญญาตรี	วศ.บ.	วิศวกรรมไฟฟ้า	มหาวิทยาลัยเทคโนโลยีราชมงคล กรุงเทพ	2544	ไทย

6 สาขาวิชาการที่มีความชำนาญพิเศษ วิทยาไฟฟ้ากำลัง หลังงานทดลอง

7.1 ประสบการณ์ที่เกี่ยวข้องกับการนำผลของงานวิจัยทั้งภายในและภายนอกประเทศ โดยระบุ
ผลงานเฉพาะในการทำวิจัยว่าเป็นผู้คิดค้นการแผนงานวิจัย หัวหน้าโครงการวิจัย หรือผู้ร่วมวิจัย
ในแต่ละโครงการวิจัย

7.1 ผู้อำนวยความสะดวกแผนงานวิจัย: ชื่อแผนงานวิจัย -

7.2 หัวหน้าโครงการวิจัย: ชื่อโครงการวิจัย

- เพื่อวิจัยผลกระทบสิ่งแวดล้อมด้วยมอเตอร์เหนี่ยวนำที่มีการควบคุมแบบ Real-time (งบประมาณ
2553) หัวหน้าโครงการและเจ้าโครงการวิจัยหลัก

- "เครื่องประมวลผลด้วยไมโครคอนโทรลเลอร์คอมพิวเตอร์สำหรับแบบจำลองแบบสี่เฟสในโหมดและแบบกรวยหกเฟส" (ปีงบประมาณ 2554) หัวหน้าโครงการและจบโครงการเรียบร้อยแล้ว

7.3 งานวิจัยที่ดำเนินการแล้ว: ชื่อผลงานวิจัย: การศึกษาการแยกแยะ และแหล่งทุน:

- "Space Vector Pulse Width Modulation for Three Phases Inverter with Real-Time Control", วิจัย ตรีศกัณธ์, สรรพต คุ่มทรัพย์, เจริญ ภิโยจันน์, EECON21, มหาวิทยาลัยเทคโนโลยีพระจอมเกล้าธนบุรี

- "Real-Time Wind Turbine Emulator for Testing Wind Energy Conversion Systems" , Kumsup, S. Tarasantisuk, C. , EnergyCON 2010. pp7-9

- "ชุดดีซีซีดีซีคอนเวอร์เตอร์แบบสามระดับที่มีการควบคุมแรงดันคงที่ด้วยตัวคูณแบบเฟส นำหน้า-เฟสล่าหลัง" EECON34 สรรพต คุ่มทรัพย์ และกาญจน์ภัทร ศาตราสันต์สุธา, มหาวิทยาลัยสยาม



ประวัติผู้วิจัยร่วม

- 1 ชื่อและ นามสกุล อาจารย์ชาญฤทธิ์ ธาราสันต์สุข
Mr. Chanit Tarasantisuk
- 2 หมายเลขบัตรประชาชน 3-2010 00133 45 4
- 3 ตำแหน่งปัจจุบัน อาจารย์พนักงานมหาวิทยาลัย
สาขาที่ทำการวิจัย สาขาวิศวกรรมไฟฟ้า

4 สถานที่ติดต่อ

ที่ทำงานปัจจุบัน สาขาวิชาวิศวกรรมไฟฟ้า คณะวิศวกรรมศาสตร์
มหาวิทยาลัยเทคโนโลยีราชมงคลกรุงเทพ เลขที่ 2 ถนนนางลิ้นจี่
แขวงทุ่งมหาเมฆ เขตสาทร กรุงเทพฯ รหัสไปรษณีย์ 10120
โทรศัพท์ 0 2286 9629

ที่อยู่ปัจจุบัน 116/95 ซอย B3 อาคาร IPN รามคำแหง 43/1 แขวง/เขต วังทองหลาง
กรุงเทพฯ 10310 E-mail chanit.t@rmutk.ac.th

5. ประวัติการศึกษา

ระดับการศึกษา	อักษรย่อ	วิชาเอก	สถานศึกษา	ปีที่สำเร็จ	ประเทศ
ปริญญาโท	อ.ศ.บ.	วิศวกรรมไฟฟ้า	สถาบันเทคโนโลยีพระจอมเกล้าเจ้าคุณทหารลาดกระบัง	2546	ไทย
ปริญญาตรี	ท.บ.บ.	วิศวกรรมไฟฟ้า	สถาบันเทคโนโลยีพระจอมเกล้าพระนครเหนือ	2543	ไทย

6 สาขาวิชาการศึกษาที่มีความชำนาญพิเศษ ระเบียบควบคุมอิเล็กทรอนิกส์กำลัง พลังงานทดแทน

7. ประสบการณ์ที่เกี่ยวข้องกับการวิจัยทั้งภายในและภายนอกประเทศ โดยระบุสถานภาพในการทำวิจัยว่าเป็นผู้อำนวยการแผนงานวิจัย หัวหน้าโครงการวิจัย หรือผู้ร่วมวิจัยในแต่ละข้อเสนอโครงการวิจัย

7.1 ผู้อำนวยการแผนงานวิจัย: ชื่อแผนงานวิจัย

7.2 หัวหน้าโครงการวิจัย: ชื่อโครงการวิจัย

- เครื่องจำลองทั้ง หุ่นข. ตัวแบบเดสก์ท็อปที่เกี่ยวกับการควบคุมแบบ Real time (ปีงบประมาณ 2553) ร่วมวิจัยและขอโครงการวิจัยวิจัย
- ชุดฝึกอบรมเชิงปฏิบัติด้านอิเล็กทรอนิกส์กำลังด้วย DSP (TMS320F2812) ที่มีการควบคุมแบบ Real-time (ปีงบประมาณ 2553) หัวข้อโครงการและขอโครงการวิจัยวิจัย
- การพัฒนาแหล่งจ่ายพลังงานไฟฟ้าแบบโวลติจด์สำหรับจ่ายแอสตอมลิตีเล็คทอนิกส์ (ปีงบประมาณ 2554) หัวข้อโครงการและขอโครงการวิจัยวิจัย
- เครื่องทำสายเคเบิลด้วยวิธีการอาร์กไฟฟ้าแบบพกพา (ปีงบประมาณ 2554) หัวข้อโครงการและขอโครงการวิจัยวิจัย
- เครื่องประจุแบบเดสก์ท็อปสำหรับตัวประกอบกำลังสูงสำหรับเขา ดเดสก์แบบดีเทียมไฮดรอนและแบบพลาสมา (ปีงบประมาณ 2554) ร่วมวิจัยและขอโครงการวิจัยวิจัย
- ระบบผลิตไฟฟ้าด้วยกังหันลมที่มีกำลังไฟฟ้าสาม-เฟสด้วย กัลตราคาปาร์เตอร์ (ปีงบประมาณ 2554) หัวข้อโครงการและขอโครงการวิจัยวิจัย

7.3 งานวิจัยที่ทำเสร็จแล้ว: ชื่อผลงานวิจัย ปีที่พิมพ์ การเผยแพร่ และแหล่งทุน

- "Identification and control of brushless DC motor using on-line trained artificial neural networks", Tipsuwanporn, V.; Piyarat, W.; Tarasantisuk, C., PCC2002, Japan.
- "Enhanced control design of single phase AC-DC converter using power balance calculator" Tipsuwanporn, V., Tarasantisuk C., Piyarat W., Power and Energy System conference, (ASTED)
- "A Matlab/Simulink tool for power converters teaching - a power factor correction approach". Tipsuwanporn, V.; Tarasantisuk, C.; Phanphairoje, S., PEDS2003, Singapore
- "A Matlab/Simu-link Tool for Enhancing Efficient Education of Power Electronics Corresponding to the ETH Power Converter Laboratory", C. Tarasantisuk, S. Tinysriut and V.Tipsuwanporn, IECON2004, Korea.
- "Representations of Robustly Stabilizing Controller Structure for Distributed Control Architectures with Plant Uncertainties" K. Witheephanich, W. Piyarat and C. Tarasantisuk, IECON2004, Korea
- "Controller Design for a Networked Control System with Plant Uncertainties"; K. Witheephanich, W. Piyarat and C. Tarasantisuk, EFCOM27, (Best Paper), Khonkhan University

"The Experimental Setup of DC Motor Speed and Position Control with LabVIEW Programming" C. Tarasantisuk, EECON29, มหาวิทยาลัยเทคโนโลยีพระจอมเกล้าธนบุรี

"Position Control of DC Motor using Sliding Mode Control" วรณัฐ วัฒน และ โสภณัน และชาญฤทธิ์ ชาราสันติสุข, EECON31, มหาวิทยาลัยศรีนครินทรวิโรฒ

"Z-source Inverter for Renewable Energy Applications" พิชญ เทพสาทร วรณัฐ วัฒน และ ชาญฤทธิ์ ชาราสันติสุข, EECON31, มหาวิทยาลัยศรีนครินทรวิโรฒ

"เครื่องประจุแบตเตอรี่กำลังประยกต์กำลังสูงแบบสองภาค" พิชญ เทพสาทร ชาญฤทธิ์ ชาราสันติสุข สุวิทย์ เต็มภา และเอกพันธ์ ทวีชัยสมบัติ, EECON33 เชียงใหม่

"การประยุกต์ใช้งานชุดไมโครคอนโทรลเลอร์เป็นอุปกรณ์ขับพลังงานร่วมกับเซลล์แสงอาทิตย์", ชาญฤทธิ์ ชาราสันติสุข, สุเทพ บุญดี และทวีศักดิ์ พันธ์พันธ์, EECON33, เชียงใหม่

"การวิจัยจากกังหันลมด้วยมอเตอร์เหนี่ยวนำสำหรับอาคารทดสอบระบบผลิตไฟฟ้าจากกังหันลม" ชาญฤทธิ์ ชาราสันติสุข, การประชุมเครือข่ายพลังงานแห่งประเทศไทย ครั้งที่ 6, มหาวิทยาลัยศรีนครินทรวิโรฒ, 6-7 พ.ค. 2553

"Real-Time Wind Turbine Emulator for Testing Wind Energy Conversion Systems", Kumsup S., Tarasantisuk C., EnergyCON 2010, pp.7-9

"บุลต์ดีซีบูตดีซีคอนเวอร์เตอร์ระบบสามระดับที่มีการควบคุมแรงดันคงที่ด้วยสวิตช์เซมิคอนดักเตอร์นำเฟสดีซี" EECON34, อรรถพล อรุณวรรณ, ชาญฤทธิ์ ชาราสันติสุข, มหาวิทยาลัยสยาม

"การนำคอนโทรลหนึ่งเฟสแบบเชื่อมต่อกับระบบจ่ายไฟด้วย dsPIC30F4011" EENET2012, เอกพล อรุณวรรณ, ชาญฤทธิ์ ชาราสันติสุข

"บุลต์ดีซีบูตดีซีคอนเวอร์เตอร์แบบสามระดับ 4 โวลต์ด้วยเทคนิคอินเวอร์ชัน" EENET2012, อรรถพล อรุณวรรณ, อานัฐ เวียงรัมย์ และชาญฤทธิ์ ชาราสันติสุข

"การแปลงอินเวอร์เตอร์กระแสสลับเป็นไฟฟ้ กระแสของแบบสามเฟสที่ควบคุมกระแสด้วยวิธีอัลเดอริฟิเคชันสำหรับประยุกต์ใช้งานกับกังหันลม", E-NETTR, ชาญฤทธิ์ ชาราสันติสุข และทองอินทร์ สุระทา

"การควบคุมกระแสแบบสัดส่วนการกำบังแบบสำหรับอินเวอร์ชันหนึ่งเฟสแบบต่อเก็บระบบจ่ายหน่วยไฟฟ้ากำลังด้วยไมโครคอนโทรลเลอร์ TMS320F2808" EECON35, เอกพล อรุณวรรณ และชาญฤทธิ์ ชาราสันติสุข, มหาวิทยาลัยบูรพา

7.4 วิทยาการอบรมเรื่อง

-Control systems Laboratory with Real time control

-Power Electronics and Drives Laboratory with Matlab/Simulink

7.5 มีนาคมอบรมหลักสูตร

Department of Energy Technology, Aalborg University, เมืองอัลบอร์ก ประเทศเดนมาร์ก ในหลักสูตรดังต่อไปนี้

1. Power Electronics for Renewable Energy Systems – in theory and practice ระหว่างวันที่ 3-5 พฤษภาคม พ.ศ. 2554

2. Micro grids in theory and practice ระหว่างวันที่ 17-19 พฤษภาคม พ.ศ. 2554

3. Photovoltaic Power Systems - in theory and practice ระหว่างวันที่ 23-26 พฤษภาคม พ.ศ.2554



- 1 ชื่อ และ นามสกุล นายบุญชูวัย เจริญผล
Mr. Boonchuwai Jarjanpor
- 2 หมายเลขบัตรประชาชน 3-7201-00681-14-7
- 3 ตำแหน่งปัจจุบัน อาจารย์ระดับ 7
สาขาที่สอน ภาษาอังกฤษ สาขานวัตกรรมไฟฟ้า
- 4 สถานที่ติดต่อ
ที่ทำงานปัจจุบัน สาขาวิชานวัตกรรมไฟฟ้า คณะวิศวกรรมศาสตร์
มหาวิทยาลัยเทคโนโลยีราชมงคลธัญบุรี เลขที่ 2 ถนนพหลโยธิน
แขวงทุ่งมหาเมฆ เขตสาทร กรุงเทพฯ รหัสไปรษณีย์ 10120
โทรศัพท์ 0 2286 9629
- ที่อยู่ปัจจุบัน 52/2 หมู่ 9 ต. เขาคะดก อ.เดิมบางนางบวช จ.สุพรรณบุรี 72120
E-mail boonchuwai.j@yahoo.com

5. ประวัติการศึกษา

ระดับ การศึกษา	คณะหรือ ปริญญา	วิชาเอก	สถานศึกษา	ปีที่ สำเร็จ	ประเทศ
ปริญญาโท	ค.ม	วิศวกรรมไฟฟ้า	สถาบันเทคโนโลยีราชมงคลธัญบุรี นครราชสีมา	2545	ไทย
ปริญญาตรี	ค.บ	วิศวกรรมไฟฟ้า	มหาวิทยาลัยเทคโนโลยีราชมงคลธัญบุรี	2540	ไทย

- 6 สาขาวิชาหรือที่มีคุณวุฒิพิเศษ วิทยานิพนธ์, คู่มืออิเล็กทรอนิกส์กำลัง พลังงาน
ทดแทน

7. ประสบการณ์ที่เกี่ยวข้องกับการบริหารงานวิจัยทั้งภายในและภายนอกประเทศ

7.1 ผู้ชำนาญการแผนงานวิจัย, รับผิดชอบงานวิจัย.

7.2 หัวหน้าโครงการวิจัย: ชื่อโครงการวิจัย

- เวิร์ลจำลองกังหันลมด้วยมอดเดิร์นเหนี่ยวนำที่มีการควบคุมแบบ Real-time

(วิจัยประมาณ 2563) ร่วมวิจัย

ภาคผนวก ค

รายงานสรุปการเงิน

เลขที่โครงการ Z656A16062004

โครงการส่งเสริมการวิจัยโพลีผสมศึกษาและพัฒนามหาวิทยาลัยแห่งชาติ
สำนักงานคณะกรรมการการอุดมศึกษา

มหาวิทยาลัยเทคโนโลยีราชมงคลกรุงเทพ

ชื่อโครงการ โพลีโกลาศึกษาศึกษานวัตกรรม

ชื่อหัวหน้าโครงการวิจัยผู้ริบทุน นายสาธิตพล คัมภ์ทรัพย์ นายชาญฤทธิ์ มาลาพันธ์สุธ
และ นายบุญช่วย เจริญผล

ระยะเวลาในช่วงตั้งแต่วันที่ ๑ มิถุนายน ปี ๒๕๕๕ ถึง ๓๑ ธันวาคม ปี ๒๕๕๕

ระยะเวลาดำเนินการ ๑ ปี ๖ เดือนตั้งแต่วันที่ ๑ ตุลาคม ปี ๒๕๕๖ ถึง ๓๑ ธันวาคม ปี ๒๕๕๗
รายการ

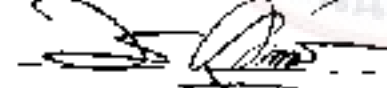
หมวด ตามสัญญา	รายละเอียด	รายจ่ายสะสม		รวมรายการ สะสมถึง ปัจจุบัน	งบประมาณที่ตั้ง ไว้	คงเหลือเงิน
		จากขบวนครั้ง ก่อน	ปัจจุบัน			
1.	ค่าตอบแทน	45,700.00	37,000.00	27,780.00	82,780.00	0
2.	ค่าจ้าง				7,000.00	17,000.00
4.	ค่าวัสดุ	139,024.18	60,200.81	201,801.07	222,855.00	11,102.07
5.	ค่าวัสดุอื่น	34,370.00	10,000.00	45,000.00	45,000.00	0
6.	ค่าวัสดุ ไม้	14,361.00		14,361.00		0
รวม		234,165.18	107,200.81	341,102.07	370,000.00	4,100.00

จำนวนเงินที่ได้รับและจำนวนเงินคงเหลือ

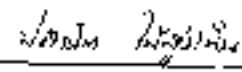
งวดที่ 1 222,000.00 บาท วันที่ 14 มิถุนายน ๒๕๕๕

งวดที่ 2 148,000.00 บาท วันที่ 31 มิถุนายน

รวม 370,000.00 บาท



รองหัวหน้าโครงการวิจัยผู้ริบทุน



รองอธิการบดีฝ่ายโครงการ